L'UNIVERSITE SCIENTIFIQUE ET MEDICALE ET L'INSTITUT NATIONAL POLYTECHNIQUE DE GRENOBLE

pour obtenir le grade

DOCTEUR ES-SCIENCES PHYSIQUES

par

Dimitri SAMARAS

SUJET

ETUDE STRUCTURALE ET MAGNETIQUE DE FERRITES SERIE NOUVELLE MIXTES D'ALCALINOTERREUX ET DE TERRE RARE DE FORMULE ALn₂ Fe₂ O₇

Soutenue le 30 JANVIER 1976 devant la commission d'Examen

L. NEEL MM.

Président

G. AUBERT

E.F. BERTAUT

J. CHAPPERT

Examinateurs



UNIVERSITE SCIENTIFIQUE ET MEDICALE DE GRENOBLE

M. Michel SOUTIF : Président M. Gabriel CAU : Vice-président

MEMBRES DU CORPS ENSEIGNANT DE L'U.S.M.G.

PROFESSEURS TITULAIRES

ANGLES D'AURIAC Paul ARNAUD Paul AUBERT Guy AYANT Yves Mme BARBIER Marie-Jeanne BARBIER Jean-Claude BARBIER Reynold BARJON Robert BARNOUD Fernand BARRA Jean-René BARRIE Joseph BEAUDOING André BERNARD Alain Mme BERTRANDIAS Françoise BEZES Henri BLAMBERT Maurice BOLLIET Louis BONNET Georges BONNET Jean-Louis BONNET-EYMARD Joseph BOUCHERLE André BOUCHEZ Robert BOUSSARD Jean-Claude BRAVARD Yves CABANEL Guy CALAS François CARLIER Georges CARRAZ Gilbert CAU Gabriel CAUQUIS Georges CHABAUTY Claude CHARACHON Robert CHATEAU Robert CHIBON Pierre COEUR André CONTAMIN Robert COUDERC Pierre CRAYA Antoine Mme DEBELMAS Anne-Marie DEBELMAS Jacques DEGRANGE Charles DELORMAS Pierre DEPORTES Charles DESRE Pierre DESSAUX Georges

DODU Jacques

DUCROS Pierre

DUGOIS Pierre

FAU René

DOLIQUE Jean-Michel DREYFUS Bernard

Mécanique des fluides Chimie Physique Physique approfondie Electrochimie Physique expérimentale Géologie appliquée Physique nucléaire Biosynthèse de la cellulose Statistiques Clinique chirurgicale Clinique de Pédiatrie et Puériculture Mathématiques Pures Mathématiques Pures Pathologie chirurgicale Mathématiques Pures Informatique (IUT B) Electrotechnique Clinique ophtalmologique Pathologie médicale Chimie et Toxicologie Physique nucléaire Mathématiques Appliquées Géographie Clinique rhumatologique et hydrologie Anatomie Biologie végétale Biologie animale et pharmacodynamie Médecine légale et Toxicologie Chimie organique Mathématiques Pures Clinique Oto-Rhino-Larvngologique Thérapeutique (Neurologie) Biologie animale Pharmacie chimique et chimie analytique Clinique gynécologique Anatomie Pathologique Mécanique Matière médicale Géologia générale Zoologie Pneumo-Phtisiologie Chimie minérale Métallurgie Physiologie animale Mécanique appliquée Physique des plasmas Thermodynamique Cristallographie Clinique de Dermatologie et Syphiligraphie

Clinique neuro-psychiatrique

- 2 -

GAGNAIRE Didier Chimie physique GALLISSOT François Mathématiques Pures Mathématiques Pures GALVANI Octave Analyse numérique GASTINEL Noël GAVEND Michel Pharmacologie GEINDRE Michel Electroradiologie GERBER Robert Mathématiques Pures GERMAIN Jean-Pierre Mécanique GIRAUD Pierre Géologie JANIN Bernard Géographle KAHANE André Physique générale KLEIN Joseph Mathématiques Pures KOSZUL Jean-Louis Mathématiques Pures KRAVTCHENKO Julien Mécanique Mathématiques Appliquées KUNTZMANN Jean LACAZE Albert Thermodynamique LACHARME Jean Biologie végétale LAJZEROWICZ Joseph Physique LATREILLE René Chirurgie générale LATURAZE Jean Biochimie pharmaceutique LAURENT Pierre Mathématiques Appliquées LEDRU Jean Clinique médicale B LLIBOUTRY Louis Géophysique LONGEQUEUE Jean-Pierre Physique nucléaire LOUP Jean Géographie Mathématiques Pures Mle LUTZ Elisabeth MALGRANGE Bernard Mathématiques Pures MALINAS Yves Clinique obstétricale MARTIN-NOEL Pierre Seméiologie médicale MAZARE Yves Clinique médicale A MICHEL Robert Minéralogie et Pétrographie MICOUD Max Clinique maladies infectieuses MOURIQUAND Claude Histologie MOUSSA André Chimie nucléaire MULLER Jean Michel Thérapeutique (néphrologie) NEEL Louis Physique du Solide OZENDA Paul Botanique Mathématiques Pures PAYAN Jean-Jacques PEBAY-PEYROULA Jean-Claude Physique RASSAT André Chimie systématique Thermodynamique RENARD Michel RINALDI Renaud Physique DE ROUGEMONT Jacques Neuro-chirurgie Microbiologie et Hygiène SEIGNEURIN Raymond SENGEL Philippe Zoologie SIBILLE Robert Construction mécanique SOUTIF Michel Physique générale TANCHE Maurice Physiologie TRAYNARD Philippe Chimie générale VAILLANT François Zoologie VALENTIN Jacques Physique Nucléaire VAUQUOIS Bernard Calcul électronique VERAIN Alice Mme Pharmacie galénique VERAIN André Physique Μ. VEYRET Paul Géographie VIGNAIS Pierre Biochimie médicale YOCCOZ Jean Physique nucléaire théorique

PROFESSEURS ASSOCIES

MM. CHEEKE John
COPPENS Philip
CORCOS GILLES
CRABBE Pierre
GILLESPIE John
ROCKAFELLAR Raiph

Thermodynamique
Physique
Mécanique
CERMO
L.S.N.
Mathématiques appliquées

PROFESSEURS SANS CHAIRE

MIE AGNIUS-DELORD Claudine ALARY Josette MM. AMBROISE-THOMAS Pierre BELORIZKY Elie

BENZAKEN Claude BERTRANDIAS Jean-Paul BIAREZ Jean-Pierre

BILLET Jean
Mme BONNIER Jane

1. BOUCHET Yves
BRUGEL Lucien
CONTE René
DEPASSEL Roger
GAUTHIER Yves
GAUTRON René
GIDON Paul
GLENAT René

GROULADE Joseph HACQUES Gérard HOLLARD Daniel HUGONOT Robert IDELMAN Simon JOLY Jean-René

JULLIEN Pierre
Mme KAHANE Josette
MM. KUHN Gérard
LOISEAUX Jean
LUU-DUC-Cuong
MAYNARD Roger

PELMONT Jean
PERRIAUX Jean-Jacques
PFISTER Jean-Cloude

MIe PIERY Yvette MM. RAYNAUD Hervé REBECQ Jacques REVOL Michel

REYMOND Jean-Charles RICHARD Lucien

Mme RINAUDO Marguerite MM. ROBERT André

SARRAZIN Roger SARROT-REYNAULD Jean SIROT Louis

Mme SOUTIF Jeanne MM. VIALON Pierre VAN CUTSEM Bernard Physique pharmaceutique Chimie analytique

Parasitologie Physique

Mathématiques appliquées Mathématiques appliquées

Mécanique Géographie Chimie générale

Anatomie Energétique Physique

Mécanique des Fluides Sciences biologiques

Chimie

Géologie et Minéralogie

Chimie organique Blochimie médicale Calcul numérique

Hématologie Hygiène et Méd.Préventive Physiologie animale Mathématiques pures Mathématiques appliquées

Physique Physique

Physique nucléaire Chimie Organique Physique du solide

Biochimie

Géologie et minéralogie Physique du solide Physiologie animale

M.I.A.G.

Biologie (CUS)

Urologie

Chirurgie générale Biologie végétale Chimie macromoléculaire Chimie papetière

Anatomie et chirurgie

Géclogle

Chirurgie générale Physique générale

Géologie

Dermatologie

Neurochirurgie

Chimie organique

Pharmacodynamique

Psychiatrie adultes

Mathématiques (CUS)

Mathématiques (IUT B)

Géographie

Chimie

Mathématiques appliquées

MAITRES DE CONFERENCES ET MAITRES DE CONFERENCES AGREGES

MM. AMBLARD Pierre ARMAND Gilbert ARMAND Yves BARGE Michel BEGUIN Claude

Mme BERIEL Héiéne
M. BOUCHARLAT Jacques

Mme BOUCHE Liane

BRODEAU François BUISSON Roger BUTEL Jean CHAMBAZ Edmond

CHAMPETIER Jean CHARDON Michel CHERADAME Hervé

CHIAVERINA Jean

Physique Orthopédie Biochimie médicale Anatomie et organogénèse

> Géographie Chimie papetière

Biologie appliquée (EFP)

- 4 -

MM. COHEN-ADDAD Jean-Pierre COLOMB Maurice CORDONNIER Daniel COULOMB Max CROUZET Guy CYROT Michel DELOBEL Claude DENIS Bernard DOUCE Roland DUSSAUD René Mme ETERRADOSSI Jacqueline FAURE Jacques FONTAINE Jean-Marc GAUTIER Robert GENSAC Pierre GIDON Maurice GRIFFITHS Michaël

GRIFFIHS Michael
GROS Yves
GUITTON Jacques
HICTER Pierre
IVANES Marcel
JALBERT Pierre
KOLODIE Lucien
KRAKOWIAK Sacha
Mme LAJZEROWICZ Jeannine

VM. LEROY Philippe MACHE Régis MAGNIN Robert MARECHAL Jean MARTIN-BOUYER Michel MICHOULIER Jean

Mme MINIER Colette
MM. NEGRE Robert
NEMOZ Alain
PARAMELLE Bernard
PECCOUD François
PEFFEN René
PERRET Jean
PHELIP Xavier
RACHAIL Michel
RACINET Claude
RAMBAUD Pierre

Mme RENAUDET Jacqueline MM. ROBERT Jean Bernard ROMIER Guy

SHOM Jean Claude STIEGLITZ Pau! STOEBNER Pierre VROUSOS Constantin Spectrométrie physique Biochimie médicale

Néphrologie Radiologie Radiologie

Physique du solide

M.I.A.G. Cardiologie

Physiologie végétale Mathématiques (CUS)

Physiologie Médecine légale Mathématiques Pures Chirurgie générale

Botanique Géologie

Mathématiques Appliquées

Physique (stag.)

Chimie Chimie Electricité Histologie Hématologie

Mathématiques appliquées

Physique Mathématiques

Physiologie végétale

Hygiène et Médecine préventive

Mécanique Chimie (CUS)

Physique (I.U.T. "A")

Physique
Mécanique
Thermodynamique
Pneumologie
Analyse (IUT B)
Métallurgie
Neurologie
Rhumatologie
Médecine interne

Gynécologie et obstétrique

Pédiatrie
Bactériclogie
Chimie-Physique
Mathématiques (IUT B)
Chimie Générale
Anesthésiologie
Anatomie pathologique
Radiologie

MAITRES DE CONFERENCES ASSOCIES

MM. COLE Antony FORELL César MOORSAN! Kishin

Sciences nucléaires

Mécanique Physique

CHARGES DE FONCTIONS DE MAITRES DE CONFERENCES

MM. BOST Michel

CONTAMIN Charles FAURE Gilbert MALLION Jean Michel ROCHAT Jacques Pédiatrie

Chirurgie thoracique et cardio-vasculaire

Urologie

Médecine du travail Hygiène et hydrologie

INSTITUT NATIONAL POLYTECHNIQUE DE GRENOBLE

Président :

M. Louis NEEL

Vice-Présidents : MM. Jean BENOIT

Lucien BONNETAIN

PROFESSEURS TITULAIRES

MM. BENOIT Jean BESSON Jean

BLOCH Daniel BONNETAIN Lucien

BONNIER Etienne

BRISSONNEAU Fierre BUYLE-BODIN Maurice

COUMES André FELICI Noël

LESPINARD Georges

MOREAU René

PARIAUD Jean-Charles

PAUTHENET René PERRET René

POLOUJADOFF Michel

SILBER Robert

Radioélectricité Electrochimie Physique du solide Chimie Minérale

Electrochimie et Electrométallurgie

Physique du solide Electronique Radioélectricité Electrostatique

Mécanique Mécanique

Chimie-Physique Physique du solide Servomécanisme Electrotechnique Mécanique des Fluides

PPDFESSEURS ASSOCIES

MM. RA3INS Michaël ROUXEL Rolland

Automatique Automatique

PROFESSEURS SANS CHAIRE

MM. BLIMAN Samuel

COHEN Joseph DURAND Francis

FOULARD Claude LANCIA Roland

VEILLON Gérard

ZADWORM François

Electronique Electrotechnique Métallurgie Autoritique

Electronique

Informatique fondamentale et appliquée

Electronique

MAITRES DE CONFERENCES

MM. BOUDOURIS Georges

BOUVARD Maurice

CHARTIER Germain

GUYOT Pierre IVANES Marcel

JOUBERT Jean-Claude LACQUME Jean-Louis

MORET Roger

ROBERT François

SABONNATTIRE Jean-Claude

Mme SAUCIER Gabrièle

Radioélectricité Génie mécanique Electronique Chimie Minérale Electrotuchnique Physique du solide

Géophysique

Electratechnique Nucléaire

Analysa numérique

Informatique fondamentale et appliquée Informatique fondamentale et appliquée

CHARGE DE FONCTIONS DE MAITRE DE CONFERENCES

MM. ANCEAU François PIERRARP Jean-Marie Mothématiques Appliquées Hydraulique

CHERCHEURS DU C.N.R.S.

M. FRUCHART Robert

M. ANSARA İbrahim

M. DRIOLE Jean

M. MATHIEU Jean-Claude

M. MUNIER Jacques

Directeur de recherche

Maître de recherche Maître de recherche Maître de recherche Maître de recherche Le présent travail a été effectué au Laboratoire des Rayons X du Centre National de la Recherche Scientifique de Grenoble, et au Laboratoire de Diffraction Neutronique du Centre d'Etudes Nucléaires de Grenoble.

J'exprime ma respectueuse gratitude à Monsieur le Professeur Néel, Membre de l'Institut, Prix Nobel de Physique, pour m'avoir fait l'honneur de présider cette commission d'examen.

Que Monsieur Bertaut, Directeur Scientifique au C. N. R. S., trouve ici l'expression de ma profonde reconnaissance pour m'avoir accueilli dans son Laboratoire. Je le remercie de ses conseils et de la confiance qu'il m'a toujours témoignée.

Je suis très sensible à l'honneur que me fait Monsieur le Professeur Aubert en acceptant d'être Membre de ce Jury.

Je remercie vivement Monsieur Joubert, Maître de Conférences, de son aide, ses encouragements et de la confiance qu'il m'a toujours témoignée.

La présence dans ce Jury de Monsieur Chappert, Responsable du Groupe d'Interactions Hyperfines du Centre d'Etudes Nucléaires de Grenoble, m'est particulièrement agréable. Je suis heureux de le remercier pour les discussions amicales, très enrichissantes pour moi, que nous avons eues.

Monsieur Le Flem, Maître de Recherches au C. N. R. S., a bien voulu accepter de faire partie de ce Jury de Thèse. Je l'en remercie bien sincèrement.

Je n'oublierai pas Messieurs Buisson, Chevalier, Collomb et Tchéou ; je les remercie pour leur collaboration efficace et fructueuse.

J'ai trouvé auprès de mes camarades, chercheurs et techniciens, une aide amicale très précieuse. Qu'ils soient assurés de ma reconnaissance et trouvent ici l'expression de mes vi $\mathfrak f$ s remerciements.

Mademoiselle Chabre a assumé avec beaucoup de goût, de soin et de compétence, la présentation et la dactylographie de ce mémoire; je veux lui exprimer ici toute ma gratitude.

Madame Trévisson s'est acquittée avec compétence de l'impression de ce mémoire ; je l'en remercie sincèrement.

TABLE DES MATIERES

INTRODUCTION	1
CHAPITRE I - SYNTHÈSES - CARACTÉRISTIQUES CRISTALLOGRAPHIQUE	JES 7
I - SYNTHÈSE DES MATÉRIAUX POLYCRISTALLINS	7
A - SYNTHÈSE DIRECTE	7
B - réactions d'échange	8
II - CARACTÉRISTIQUES CRISTALLINES	7 7 8 8 12
III - PRÉPARATION DE MONOCRISTAUX	
A - partie expérimentale	12
B - diagramme de phases SrO-NdFeO ₃ dans Bi ₂ O ₃	13
C - ÉTUDE DES PRODUITS OBTENUS	14
D - préparation de cristaux de SrNdFeO ₄	
ET SRND ₂ Fe ₂ O ₇	15
CHAPITRE II - STRUCTURES CRISTALLINES	17
I - DÉTERMINATION DES STRUCTURES	17
A - STRUCTURES DE SRTB ₂ Fe ₂ O ₇ ET BALA ₂ Fe ₂ O ₇	Δ,
DÉTERMINÉES SUR POUDRE	17
B - STRUCTURE DE SRND ₂ Fe ₂ O ₇ DÉTERMINÉE SUR	
MONOCRISTAL	25
II - DESCRIPTION ET DISCUSSION DES STRUCTURES	28
A - LES EMPILEMENTS DE BLOCS PEROVSKITE	28
B - discussion sur la structure des	
composés ALn ₂ Fe ₂ 0 ₇	3]
CUADITRE III ÉTURE REC PROPRIÉTÉS MACNÉTIQUES	43
CHAPITRE III - ÉTUDE DES PROPRIÉTÉS MAGNÉTIQUES	
I - MESURES DE SUSCEPTIBILITÉ	43
II - mesures d'aimantation sur SrTb ₂ Fe ₂ 0 ₇	51
III - DISCUSSION	54

CHAPITRE	<u>IV</u> -	STRUCTURES MAGNÉTIQUES	59
	I -	GÉNÉRALITÉS	59
	ΙΙ -	PRINCIPE DE LA THÉORIE MACROSCOPIQUE	60
	III -	structures magnétiques de SrTB ₂ Fe ₂ O ₇	60
		A - STRUCTURE MAGNÉTIQUE À 300 K	63
		B - STRUCTURE MAGNÉTIQUE À 4.2 K	64
	IV -	structures magnétiques de SrNd ₂ Fe ₂ O ₇	
		ET SRPR2FE207	66
		A - STRUCTURE MAGNÉTIQUE DE SRND ₂ Fe ₂ O ₇	cc
,		À 77 K ET 300 K	66
		B - STRUCTURE MAGNÉTIQUE DE SRND ₂ Fe ₂ O ₇ A 4.2 K	68
		•	00
•		C - structure magnétique de SrPr ₂ Fe ₂ O ₇ À 300 k et 4,2 k	69
	•	D - STRUCTURE MAGNÉTIQUE DE BALA ₂ FE ₂ O ₇	03
		À 4.2 K ET 77 K	71
		E - ANISOTROPIE DE L'ION FE3+	71
CHAPITRE	<u> </u>	RÉORIENTATION DES MOMENTS MAGNÉTIQUES	77
	Ī -	rotation des moments magnétiques dans BaLa ₂ Fe ₂ O ₇	. 77
		A - ÉTUDE PAR DIFFRACTION NEUTRONIQUE	77
		B - ÉTUDE DILATOMÉTRIQUE AUX RAYONS X	80
		C - considérations de symétrie	81
	•	D - modèle de la réorientation	81
	II -	rotation des moments magnétiques dans SrTb ₂ Fe ₂ O ₇	
		$ET\ SRNd_2Fe_2O_7$	83
		A - ÉTUDE PAR MESURES MAGNÉTIQUES SUR	0.7
		MONOCRISTAL DE SRND2FE207	83
		B - ÉTUDE PAR DIFFRACTION NEUTRONIQUE À	87
		température variable de SrTb ₂ Fe ₂ 0 ₇	0/
CUADITDE	VI	ÉTUDE DES RÉORIENTATIONS DES MOMENTS MAGNÉTIQUES	
CHAFTINE	<u>V 1</u>	PAR SPECTROSCOPIE MÖSSBAUER	93
	.		93
	1 -	EFFET MÖSSBAUER ET STRUCTURES HYPERFINES DU ^{5/} FE	رو 94
		A - DÉPLACEMENT ISOMÉRIQUE	94
		B - INTERACTION QUADRUPOLAIRE C - STRUCTURE MAGNÉTIQUE HYPERFINE	95
		D - COEXISTENCE D'INTERACTION QUADRUPOLAIRE	ارر
		FIFCTRIQUE FT DIPOLAIRE MAGNÉTIQUE	96
		FIFU.IKINDE FI DIFULAIRE MADNETIWUE	JU

II - ÉTUDE DE LA RÉORIENTATION SUR MONOCRISTAL DE SRND ₂ Fe ₂ O ₇ A - SPECTRE À L'ÉTAT PARAMAGNÉTIQUE B - RÉORIENTATION DES MOMENTS MAGNÉTIQUES III - ÉTUDE SUR DES ÉCHANTILLONS POLYCRISTALLINS A - SPECTRES À L'ÉTAT PARAMAGNÉTIQUE B - SPECTRES À LA TEMPÉRATURE AMBIANTE C - STRUCTURES MAGNÉTIQUES À 300 K D - RÉORIENTATION DES MOMENTS MAGNÉTIQUES E - ÉTUDE DE LA RÉORIENTATION EN FONCTION DE LA TEMPÉRATURE F - AUTRES MÉTHODES D'OBSERVATION DE LA	97 97 99 99 100 107 108 110
RÉORIENTATION CHAPITRE VII - LE CHAMP CRISTALLIN SUR LA TERRE RARE ET LES INTERACTIONS FER - TERRE RARE	114
I - LE CHAMP CRISTALLIN SUR LA TERRE RARE A - SrTb ₂ Fe ₂ O ₇ B - SrNd ₂ Fe ₂ O ₇ II - ordre du sous-réseau de la terre rare III - réorientation des moments magnétiques du fer A - modèle de réorientation	117 117 120 120 123 124
RESUME ET CONCLUSION	131

INTRODUCTION

Le but du présent travail a été la recherche de nouveaux matériaux magnétiques contenant des ions de terre rare et des ions de la première série de transition.

Nous nous sommes intéressés aux oxydes ternaires du système ${\rm Fe}_2{\rm O}_3$ - ${\rm Ln}_2{\rm O}_3$ -AO (où Ln représente un ion de terre rare et A un ion alcalinoterreux tel que Ba, Sr) et plus particulièrement à la bissectrice ${\rm LnFeO}_3$ -AO du système ternaire (figure 1).

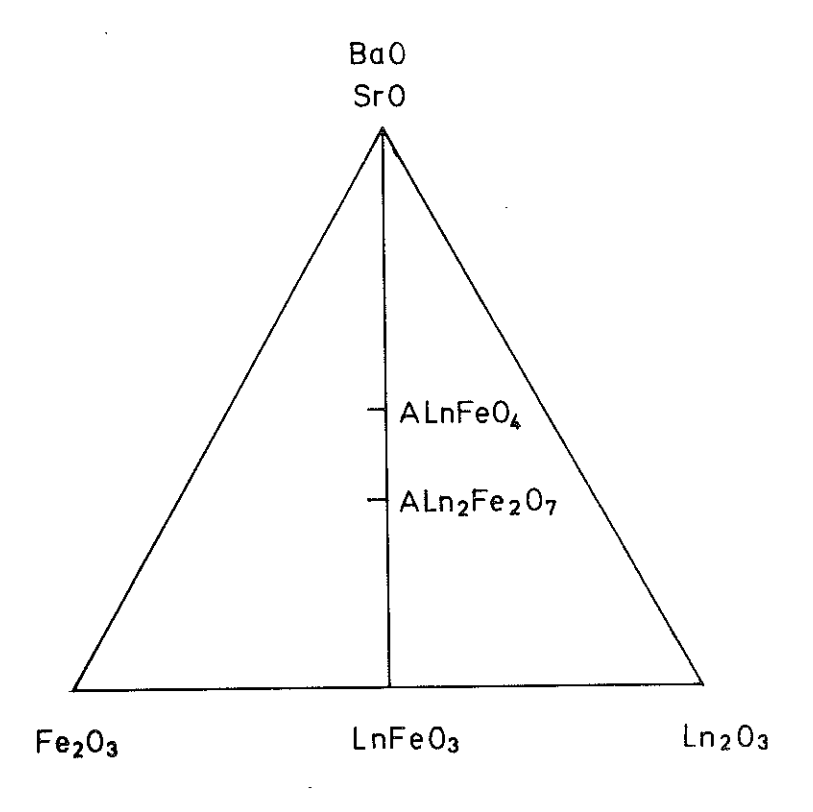


FIGURE 1

A l'une des extrémités de ce système pseudobinaire, on trouve les composés LnFeO₃, les orthoferrites de terre rare, possédant une structure de type pérovskite. Cette structure étant formée par une charpente d'ions oxygène et de gros cations formant un empilement cubique compact, il est possible de la combiner avec d'autres structures possédant le même empilement d'oxygènes et de cations : c'est le cas de la structure de type NaCl des oxydes d'alcalinoterreux BaO, SrO. On forme ainsi des composés à empilement de blocs pérovskite et de couches AO.

Les composés ${\rm LnBO_3}$ (où B est un ion de la première série de transition) ont suscité de très nombreuses études, cristallochimiques ⁽¹⁾ et magnétiques ⁽²⁻¹¹⁾.

La structure pérovskite accepte de nombreuses déformations par rapport à la symétrie cubique : quadratique $\operatorname{BaTiO_3}^{(12)}$, rhomboédrique $\operatorname{LaCoO_3}^{(13)}$, orthorhombique $\operatorname{LnFeO_3}^{(14)}$, monoclinique $\operatorname{LaCrO_3}^{(15)}$. Elle admet des jeux de valences respectives des gros cations et des ions B très variés. On rencontre dans cette structure des exemples de distorsions Jahn-Teller (B = Mn, Cu), ainsi que des exemples de passage progressif entre structure d'électrons localisés et structure de bandes $^{(16)}$ (B = V, Ti). Du point de vue magnétique, elle présente enfin des couplages très variés (B-B, Ln-Ln, B-Ln).

Les orthoferrites LnFeO $_3$ ont fait 1'objet de nombreuses études de leurs propriétés magnétiques aussi bien par leur intérêt théorique que technologique. Ils sont caractérisés par une configuration antiferromagnétique de spins avec une faible composante ferromagnétique (\sim 10 $^{-2}~\mu_B/Fe)$ et une température d'ordre élevée du fer. Des phénomènes très variés ont été observés : métamagnétisme, réorientations des moments magnétiques.

On peut représenter les composés du système ${\rm LnFeO_3}\text{-AO}$ par la formule générale : ${\rm AO-nLnFeO_3}\text{-}$

Pour n = 1, on a les composés $ALnFeO_4$ (17) qui possèdent la structure type K_2NiF_4 et présentent un ordre bidimensionnel du sous-réseau du fer ⁽¹⁸⁾.

Nos recherches ont porté sur le second membre de cette série (n = 2) : $ALn_2Fe_2O_7$, plus riche en orthoferrite que les composés précédents.

Dans l'exposé qui suit, nous adoptons le plan suivant :

Dans le chapitre I, nous exposons les méthodes qui permettent de mettre en évidence ces composés sous forme de poudres et de monocristaux.

Le chapitre II est consacré à l'étude de leur structure cristallographique.

L'étude des propriétés magnétiques constitue une deuxième partie.

Le chapitre III est consacré à l'étude des composés par des mesures magnétiques (susceptibilité, aimantation).

Dans le chapitre IV, nous étudions leurs structures magnétiques au moyen de la diffraction neutronique.

Ensuite nous exposons les résultats de nos observations sur les réorientations des moments magnétiques à l'aide de la diffraction neutronique, dilatométrie aux rayons X, mesures magnétiques sur monocristaux (chapitre V) et spectrométrie Mössbauer (chapitre VI).

Enfin, nous discutons les réorientations des moments magnétiques observées, dans le chapitre VII.



RÉFÉRENCES

- 1 M. MAREZIO, J.P. REMEIKA, P.D. DERNIER Acta Cryst., B 26, 2008 (1970)
- 2 R.M. BOZORTH, H.J. WILLIAMS, D.E. WALSH Phys. Rev., 103, 572 (1956)
- 3 W.C. KOEHLER, E.O. WOLLAN, M.K. WILKINSON Phys. Rev., 118, 58 (1960)
- 4 E.A. TUROV, V.A. NAISH

 Trans. Phys. Metals and Metallogr., U.R.S.S., 9, 10 (1960)

 11, 161 et 321 (1961)
- 5 D. TREVES
 Phys. Rev., 125, 1843 (1962)
- 6 E.F. BERTAUT Treatise of Magnetism, vol. III, Ed. Rado & Suhl, Academic Press, N.Y. (1963)
- 7 R. ALEONARD, J. MARESCHAL, R. PAUTHENET, J.P. REBOUILLAT, M. ZARUBICA C.R. Acad. Sci., 262, 799 (1966)
- 8 M. EIBSCHÜTZ, S. STRIKMAN, D. TREVES Phys. Rev., <u>156</u>, 562 (1967)
- 9 J. MARESCHAL Thèse, Grenoble (1968)
- 10 J. SIVARDIERE Thèse, Grenoble (1970)
- 11 R.M. HORNREICH, I. YAEGER
 Int. J. Magnetism, 4, 71 (1973)

- 12 J.G. DICKSON, L. KATZ, R. WARD
 J. Am. Chem. Soc., 83, 3026 (1961)
- 13 F. ASKHAM, I. FRANKUCHEN, R. WARD J. Am. Chem. Soc., 72, 3799 (1950)
- 14 S. GELLER
 J. Chem. Phys., <u>24</u>, 1236 (1956)
- 15 A. RUGGIERO, R. FERRO Gazz. Chim. Ital., <u>85</u>, 892 (1955)
- 16 J.B. GOODENOUGH
 J. Appl. Phys., <u>37</u>, 1415 (1966)
 - 17 J.C. JOUBERT, A. COLLOMB, D. ELMALEH, G. LE FLEM, G. OLLIVIER J. Sol. State Chem., 2, 343 (1970)
 - 18 G. OLLIVIER
 Thèse, Grenoble (1974)

CHAPITRE I

SYNTHÈSES - CARACTÉRISTIQUES CRISTALLOGRAPHIQUES

I - SYNTHÈSE DES MATÉRIAUX POLYCRISTALLINS

Plusieurs méthodes de préparation, par réaction à l'état solide, ont été essayées pour l'obtention des composés sous forme polycristalline.

A - SYNTHÈSE DIRECTE À PARTIR DES OXYDES FE₂O₃-Ln₂O₃ ET DU CARBONATE CORRESPONDANT SRCO₂ (BaCo₂)

Les composants ont été mélangés intimement (par broyage sous alcool éthylique) en quantité stoechiométrique ou avec un léger excès de ${\rm SrCO}_3$, pour compenser la volatilité de SrO à haute température et éviter la formation de l'orthoferrite. Les meilleurs résultats ont été obtenus pour des excès de carbonate de l'ordre de 5 %.

Le mélange a été porté rapidement à la température de 1350°C, ceci pour éviter la formation de l'orthoferrite aux environs de 1000°-1200°C. La réaction des oxydes de fer et de terre rare est en effet rapide et peut intervenir avant la décomposition complète du carbonate en oxyde.

Les frittages ont été effectués à l'air libre ou sous courant d'argon, pendant 4 à 5 jours et entrecoupés de plusieurs broyages.

Cette méthode, qui a donné les produits les plus purs et les mieux cristallisés, a encore l'avantage d'être plus simple que les autres méthodes.

Le remplacement du carbonate de strontium par du nitrate n'améliore pas la qualité des produits obtenus.

B - RÉACTIONS D'ÉCHANGE

Elles ont été essayées dans un tube en Pt scellé, suivant les deux schémas réactionnels :

$$SrCl_2 + 2LnLiO_2 + Fe_2O_3 \rightarrow 2LiC1 + SrLn_2Fe_2O_7$$

$$SrCl_2 + LnOC1 + LnNaO_2 + 2FeNaO_2 \rightarrow 3NaC1 + SrLn_2Fe_2O_7$$

Ces deux méthodes ont fourni, par réaction dans un flux de chlorure alcalin, quelques cristaux, mais de dimensions trop petites pour être exploitables.

A l'aide de ces différentes méthodes, nous avons obtenu, avec Sr, les composés pour la série des terres rares allant du La au Tb ; avec Ba pour les terres rares du La au Gd. Cependant, seuls les composés du strontium, ainsi que le composé BaLa $_2$ Fe $_2$ O $_7$, ont été obtenus suffisamment purs pour pouvoir faire l'objet d'une étude de leurs propriétés physiques. Les autres composés de Ba contiemment des traces d'impuretés : soit de l'orthoferrite LnFeO $_3$, soit une phase pérovskite cubique de formule Ba $_X$ Ln $_{1-x}$ FeO $_{3-\delta}$, dont nous parlerons dans le paragraphe consacré à la préparation des monocristaux.

II - CARACTÉRISTIQUES CRISTALLINES

Les paramètres cristallins ont été déterminés à partir de clichés sur chambre à focalisation de circonférence 360 mm, à la radiation $K\alpha_1$ du fer, isolée à l'aide d'un monochromateur à cristal de quartz courbé.

Dans la plupart des composés, les clichés ont été indexés dans une maille quadratique de dimensions a $\simeq 5,5$ Å = a $_0$ $\sqrt{2}$ (a $_0$ = 3,9 Å étant le paramètre de maille de la pérovskite), c $\simeq 20$ Å. Le nombre d'unités de formule par maille est Z = 4. Seuls les composés ${\rm SrLa}_2{\rm Fe}_2{\rm O}_7$, ${\rm BaLa}_2{\rm Fe}_2{\rm O}_7$ et ${\rm BaNd}_2{\rm Fe}_2{\rm O}_7$ ont pu être indexés dans une maille quadratique de base celle de la pérovskite, avec Z = 2.

Dans le tableau I-1 sont consignés les paramètres des mailles des différents composés mis en évidence. On constate que le paramètre α ne varie pratiquement pas avec le rayon ionique de la terre rare, tandis que le paramètre c augmente régulièrement, résultat qui est caractéristique d'une structure en couches.

La loi de contraction des lanthanides n'est pas rigoureusement suivie. Ce phénomène pourrait être expliqué par une substitution, en faible quantité, d'ions terre rare par des ions alcalinoterreux, compensée soit par une faible quantité de Fe⁴⁺ soit par une défectuosité en oxygène.

Dans les tableaux I-2 et I-3, nous donnons à titre d'exemple les indexations systématiques des composés ${\rm BaLa_2Fe_2O_7}$ et ${\rm SrTb_2Fe_2O_7}$. Dans ce dernier, on observe la prépondérance des raies du type "h, k, l, de même parité" (indexables dans une maille de base pérovskite), sur les raies de surstructure. En négligeant ces dernières, tous les diagrammes présentent une très forte analogie avec celui de ${\rm Sr_3Ti_2O_7}^{(2)}$.

TABLEAU I-1

Paramètres de mailles des composés SrLn₂Fe₂O₇ et BaLn₂Fe₂O₇

Composés	a(A)	c (Å)	c/a	Z	v(ų)
SrLa ₂ Fe ₂ O ₇	3,9096 ± 0,0006	20,454 ± 0,003	3,700	2	625,4
SrNd ₂ Fe ₂ O ₇	5,5102 ± 0,0007	20,161 ± 0,003	3,659	4	612,1
SrSm ₂ Fe ₂ O ₇	5,5122 ± 0,0006	20,020 ± 0,002	3,631	4	608,3
SrEu ₂ Fe ₂ O ₇	5,4978 ± 0,0005	19,860 ± 0,002	3,612	4	600,3
SrGd ₂ Fe ₂ O ₇	5,5088 ± 0,0005	19,796 ± 0,002	3,594	4	600,7
SrTb ₂ Fe ₂ O ₇	5,5065 ± 0,0004	19,659 ± 0,002	3,570	4	596,6
BaLa ₂ Fe ₂ O ₇	3,9335 ± 0,0005	20,853 ± 0,003	3,748	2	645,3
BaNd ₂ Fe ₂ O ₇	3,9400 ± 0,0005	20,415 ± 0,003	3,665	2	633,7
BaSm ₂ Fe ₂ O ₇	5,5191 ± 0,0009	20,117 ± 0,004	3,619	4	621,6
BaEu ₂ Fe ₂ O ₇	5,5561 ± 0,0004	19,995 ± 0,002	3,599	4	618,3
BaGd ₂ Fe ₂ O ₇	5,5560 ± 0,0004	19,891 ± 0,002	3,580	4	614,0

Le groupe d'espace pour les composés $SrLa_2Fe_2O_7$, $BaLa_2Fe_2O_7$ et $BaNd_2Fe_2O_7$ a été déterminé au moyen des clichés de poudre sur chambre à focalisation. Les extinctions observées $h+k+1\neq 2n$ conduisent aux groupes d'espace I4/mmm, $I\bar{4}2m$, $I\bar{4}m2$, I4mm, I422, I4/m, $I\bar{4}$ et I4.

Dans une note antérieure $^{(1)}$, nous avions suggéré la possibilité d'une maille non centrée pour les composés ${\rm BaLa_2Fe_2O_7}$ et ${\rm BaNd_2Fe_2O_7}$ et leur

isomorphie possible avec les autres composés de la série ; en effet, la faible différence entre les pouvoirs diffusants des ions Ba^{2+} , La^{3+} et Nd^{3+} pourrait rendre les raies de surstructure extrêmement faibles. La mise en évidence entre temps du composé $\mathrm{SrLa_2Fe_2O_7}$, isomorphe des précédents, dans lequel il existe une grande différence entre les pouvoirs diffusants de Sr^{2+} et La^{3+} , exclut cette hypothèse.

 $\frac{\text{TABLEAU I-2}}{\text{Diffractogramme de BaLa}_2\text{Fe}_2\text{O}_7} \text{ effectué sur chambre à focalisation} \\ \frac{\lambda \text{Fe} K\alpha_1}{\lambda} = 1,93597 \text{ } \frac{\text{Å}}{\lambda}$

h k 1	I	d _{obs} .	d _{cal} .
1 0 1	М	3,87	3,86
0 0 6	M-W	3,48	3,47
1 0 3 .	M-W	3,42	3,42
1 0 5	VS	2,86	2,86
. 110	VS-S	2,78	2,78
1 1 4	W	2,45	2,45
1 0 7	M-W	2,373	2,373
1 1 6	М	2,169	2,170
0 0 10	M-W	2,084	2,084
1 0 9	W	1,993	1,995
2 0 0	S	1,963	1,965
1 1 8	VW	1,900	1,901
2 1 1	VW	1 , 757	1,757
0 0 12	VW	1,737	1,737
2 0 6	W	1,711	1,710
1 0 11	W	1,707	1,707
1 1 10	M-W	1,668	1,667
2 1 5	M-S	1 , 619	1,620
2 1 7	W	1,515	1,514
1 1 12	· W	1,472	1,472
2 0 10	M–W	1,430	1,430
2 1 9	VW	1,400	1,400

Pour les autres composés de la série, le groupe d'espace a été déterminé au moyen de clichés en chambre de précession d'un monocristal de $SrNd_2Fe_2O_7$. Les extinctions observées (h 0 1 : h + 1 \neq 2n), permettent de retenir comme seuls groupes d'espace possibles : $P4_2/mnm$, $P4_2nm$ et P4n2. Le test de piézoélectricité s'étant avéré négatif, nous ne pouvons pas éliminer le groupe centrosymétrique.

 $\frac{\text{TABLEAU I-3}}{\text{Diffractogramme de SrTb}_2\text{Fe}_2\text{O}_7} \text{ effectué sur chambre à focalisation} \\ \lambda \text{FeK}\alpha_1 = 1,93597 \text{ } \mathring{\text{A}}$

r							
h k l	I	d _{obs} .	d _{cal.}	h k l	I	d _{ohs} .	d cal.
0 0 2	M	9,83	9,83	3 0 1	VW	1,828	1 , 828
1 0 1	W	5,30	5,30	2 2 4	VW	1,809	1,810
0 0 4	W	4,92	4,92	3 0 3	M-W	1,768	1,768
1 0 3	M-W	4,21	4,21	2 1 8	VW	1,739	1,739
1 1 1	M-S	3,82	3,82	3 1 1	M-W	1,734	1,734
1 1 3	M-S	3,35	3,35	3 1 2	VW	1,714	1,714
006	M	3,28	3,28	1 0 11	VW	1,699	1,670
1 0 5	W	3,20	3,20	3 1 3	MW	1,682	1,683
1 1 5	VS	2,77	2,77	2 2 6	M-W	1,673	1,674
2 0 0	VS-S	2,75	2,75	3 0 5	M-W	1,663	1,663
2 0 2	M-W	2,65	2,65	0 0 12	W	1,638	1,638
1 0 7	W	2,50	2,50	1 1 11	M	1,624	1,624
2 1 0	M	2,462	2,462	2 2 7	M	1,600	1,600
0 0 8	W	2,457	2,457	3 1 5	S	1,593	1,592
2 0 4	M-W	2,401	2,402	3 0 7	VW	1,536	1,536
2 1 3	M-W	2,303	2,305	3 2 0	W	1,527	1,527
117	M-W	2,277	2,278	2 2 8	VW	, 1,525	1,526
206	S	2,109	2,108	3 2 3	W	1,488	1,487
2 1 5	W	2,086	2,087	3 1 7	W	1,481	1,480
216	M	1 , 977	1,979	3 2 5	M-W	1,424	1,424
0 0 10		',~''	1,976	1 1 13	VW	1,410	1,410
220	S	1,946	1,947	2 0 12	M-W	1,408	1,408
1 1 9	M	1,904	1,905	309	. VW	1,405	1,405
2 0 8	M	1,833	1,833	0 0 14		.,,,,,,	1,404

III - PRÉPARATION DE MONOCRISTAUX (3)

La fusion des produits ${\rm SrLn_2Fe_2O_7}$ est incongruente : 1'examen aux rayons X du produit après fusion indique la présence soit de ${\rm Sr_XLn_{1-x}FeO_{3-\delta}}$ si la fusion a eu lieu à 1'air, soit de ${\rm SrFeO_{2,5}}$ si elle a eu lieu dans le vide ou sous argon.

Nous avons donc entrepris la préparation de monocristaux en utilisant la méthode du flux. Le solvant choisi a été ${\rm Bi}_2{\rm O}_3$. L'étude a été faite sur le composé du néodyme.

Par dissolution de $SrNd_2Fe_2O_7$ dans ce solvant et refroidissement lent de la solution on n'obtient pas le produit de départ mais l'orthoferrite $NdFeO_3$. Nous avons donc été amenés à étudier le diagramme de phases $SrO-NdFeO_3$ dans Bi_2O_3 .

<u>A - PARTIE EXPÉRIMENTALE</u>

Les techniques expérimentales utilisées ont été la "croissance cristalline exploratoire" et l'analyse thermique différentielle. Toutes les expériences ont été effectuées à l'air.

Les produits de départ utilisés sont : $\mathrm{Bi}_2\mathrm{O}_3$ obtenu par décomposition du nitrate de bismuth hydraté, $\mathrm{Fe}_2\mathrm{O}_3$, $\mathrm{Nd}_2\mathrm{O}_3$ et nitrate de strontium anhydre. Le mélange en proportion voulue est placé dans un creuset de platine de 100 ml et porté à fusion dans un four tubulaire vertical à résistance de Pt. Par un hublot en haut du four nous pouvons surveiller la cristallisation.

En effet, les premiers cristaux apparaissent à la surface du bain grâce au gradient de température avec point froid en haut et ils y sont maintenus longtemps à cause de la grande densité du bain et de la tension superficielle. Les cristaux sont retirés du bain au moment choisi et ils sont refroidis lentement dans le four. Les cristaux ainsi obtenus sont analysés aux rayons X (chambre à focalisation) pour identification.

La mesure de la température de cristallisation se fait à l'aide de deux thermocouples Pt-PtRh 10 % dont un trempe dans le bain et l'autre dans un bloc d'alumine selon le principe de l'analyse thermique différentielle. Au moment de la cristallisation nous enregistrons un pic défini avec une précision de 10°C.

B - DIAGRAMME DE PHASES SRO-NDFEOZ DANS BI20Z

Les résultats de ces expériences sont représentés sur la figure I-1. Le diagramme de phases est considéré comme pseudoternaire entre SrO, NdFeO $_3$ et $\mathrm{Bi}_2\mathrm{O}_3$. Dans la partie du diagramme étudiée, nous avons mis en évidence 5 composés.

A faible concentration de SrO, nous obtenons l'orthoferrite NdFeO $_3$ à structure pérovskite déformée. Quand on augmente la concentration de SrO, on obtient des cristaux de $\mathrm{Sr_XNd}_{1-x}\mathrm{FeO}_{3-\delta}$ de structure pérovskite cubique ou orthorhombique. En se déplaçant vers les hautes températures de cristallisation (diminution de la proportion de $\mathrm{Bi_2O_3}$) ou en augmentant la quantité de SrO, nous obtenons d'abord le composé $\mathrm{SrNd_2Fe_2O_7}$ et finalement le composé $\mathrm{SrNdFeO_4}$ de structure type $\mathrm{K_2NiF_4}$. A basse température, une solution solide entre SrO, $\mathrm{Bi_2O_3}$ et $\mathrm{Nd_2O_3}$ cristallise, de formule voisine de $\mathrm{Sr(NdBi_2)O_5}$,5.

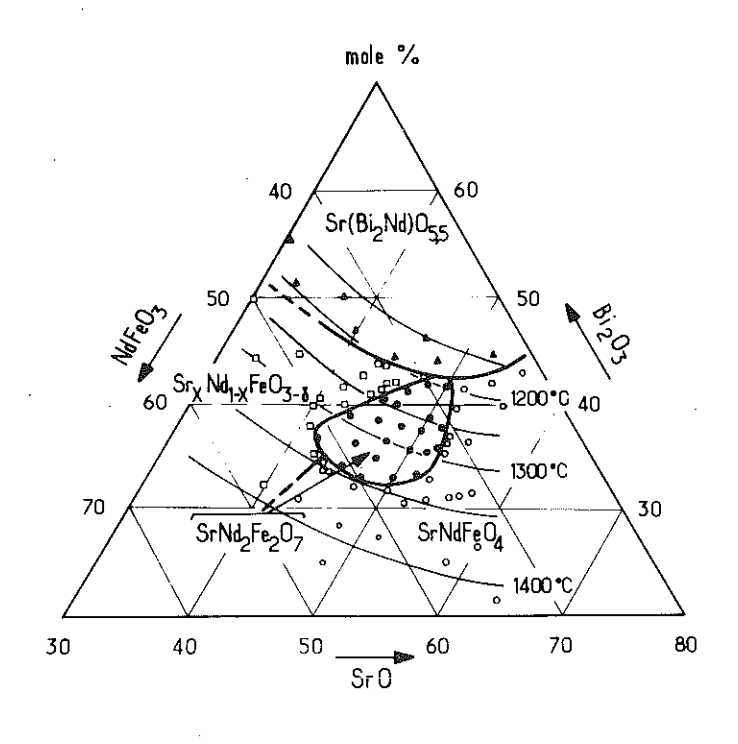


FIGURE I-1

Diagramme de phases du système SrO-NdFeO₃-Bi₂O₃

TABLEAU I-4

Composés	Caractéristiques des cristaux
Sr(Nd _x Bi _{3-x})0 _{5,5}	Plaquettes jaumes transparentes Rhomboédrique ; a = 3,96 Å, c = 28,13 Å
SrNdFeO ₄	Plaquettes noires Quadratique I4/mmm $^{(5)}$; a = 3,84 Å, c = 12,60 Å Structure type K_2NiF_4
SrNd ₂ Fe ₂ O ₇	Plaquettes noires Quadratique $P4_2/mnm$ (1); $a = 5,51$ Å, $c = 20,18$ Å Structure type $Sr_3Ti_2O_7$
Sr _x Nd _{1-x} FeO _{3-δ}	Cubes noirs Cubique ; a = 3,89 Å Structure pérovskite
NdFeO ₃	Cubes noirs Structures pérovskite déformée orthorhombique

C - ÉTUDE DES PRODUITS OBTENUS

Les composés obtenus ainsi que leurs caractéristiques cristallographiques sont consignés dans le tableau I-4.

Les cristaux de la solution solide entre oxydes de Sr, Bi et Nd sont isotypes du composé SrBi $_3^{0}$ 5,5 décrit par Sillen et al. ⁽⁴⁾.

L'analyse, par spectrométrie de masse à laser, du cristal étudié conduit à la formule ${\rm Sr}({\rm Nd}_{1,2}{\rm Bi}_{1,8}){\rm O}_{5,5}$

Pour les deux composés à structure à empilement de blocs pérovskite,

 ${\rm SrNdFeO_4}$ et ${\rm SrNd_2Fe_2O_7}$, les cristaux s'obtiennent sous forme de plaquettes carrées, avec l'axe \vec{c} de la structure quadratique perpendiculaire à la surface de la plaquette. Le côté du carré correspond à la direction de l'axe \vec{a} pour ${\rm SrNdFeO_4}$ et à la diagonale de la base quadratique pour ${\rm SrNd_2Fe_2O_7}$, ce qui, dans les deux cas, correspond à la direction des rangées d'octaèdres, ${\rm FeO_6}$ à l'intérieur du bloc pérovskite. Dans ces cristaux, la teneur en bismuth, dosée par spectrométrie de masse à laser, est de l'ordre de 0,5 %.

Le composé de formule $\mathrm{Sr_XNd}_{1-\mathrm{x}}\mathrm{FeO}_{3-\delta}$, de structure pérovskite cubique, est nouveau et correspond à la phase $\mathrm{Sr_XLa}_{1-\mathrm{x}}\mathrm{FeO}_3$ décrite par Yamamura et al. (6). Nous n'avons pas décelé de faible ferromagnétisme à la température ambiante, comme c'est le cas pour l'orthoferrite NdFeO_3 .

La ligne de séparation, sur le diagramme de phases, des deux composés à structure pérovskite, $\mathrm{Sr_XNd}_{1-\mathrm{X}}\mathrm{FeO}_{3-\delta}$ et NdFeO_3 , n'a pu être déterminée. La solution solide $\mathrm{Sr_XNd}_{1-\mathrm{X}}\mathrm{FeO}_{3-\delta}$, pour des faibles quantités de Sr, possède aussi une maille orthorhombique comme NdFeO_3 . De ce fait, l'identification, sur chambre à focalisation, d'une phase à symétrie orthorhombique n'est pas sans ambiguîté.

D - PRÉPARATION DES CRISTAUX DE SRNDFEO, ET SRND2FE207

Si l'obtention de gros cristaux (\sim 1 cm 3) de ${\rm Sr_xNd_{1-x}FeO_{3-\delta}}$ se révèle facile, il n'en est pas de même pour les deux composés à empilement de blocs pérovskite.

Dans la partie du diagramme qui correspond à ces deux produits, cristallise en même temps une solution solide inconnue entre $\mathrm{Bi}_2\mathrm{O}_3$ et Sr0, qui, d'après l'analyse par spectrométrie de masse, correspond grossièrement à la formule $\mathrm{Bi}_2\mathrm{Sr}_4\mathrm{O}_7$. Ce produit, déliquescent, se dégrade au cours du temps à la température ambiante, ce qui rend son étude très difficile. De plus, les cristaux sont maclés. Les diagrammes de rayons X semblent indiquer une structure monoclinique, pseudohexagonale.

En réalité, le bain dans lequel les cristaux se forment n'est pas $\mathrm{Bi}_2\mathrm{O}_3$ pur, mais il a une composition intermédiaire entre $\mathrm{Bi}_3\mathrm{Sr}\mathrm{O}_5$, $\mathrm{Bi}_2\mathrm{Sr}_4\mathrm{O}_7$ et $\mathrm{Bi}_2\mathrm{O}_3$.

Nous nous sommes aperçu qu'après un long séjour à haute température,

les cristaux de $SrNdFeO_4$ et $SrNd_2Fe_2O_7$ se formaient plus facilement. Nous n'avons pu établir si ce fait était dû à une ségrégation des liquides composant le bain (avec un liquide moins riche en Bi_2O_3 près de la surface) ou à une évaporation du flux apauvrissant la surface du bain en Bi_2O_3 .

D'autre part, nous avons remarqué que la quantité de cristaux de ${\rm Bi}_2{\rm Sr}_4{\rm O}_7$ était plus faible quand la cristallisation avait lieu à haute température et que de ce fait les cristaux des produits recherchés étaient plus épais.

En utilisant ces remarques, nous avons obtenu des cristaux d'une taille de 1 cm 2 x 1,5 mm pour ${\rm SrNdFeO_4}$ et de 2 cm 2 x 0,7 mm pour ${\rm SrNd_2Fe_2O_7}.$

Au cours de ces expériences, la vitesse de descente de température était de 0,5°/heure et le gradient de 5°/cm avec le point froid en surface.

Les cristaux ainsi obtenus ont été testés pour leur qualité par diffraction neutronique avec une longueur d'onde de 1,1 Å. Nous avons étudié la réflexion (110) (200 pour $\mathrm{SrNd}_2\mathrm{Fe}_2\mathrm{O}_7$) par ω -scan. Les cristaux de $\mathrm{Sr}_x\mathrm{Nd}_{1-x}\mathrm{FeO}_{3-\delta}$ et de $\mathrm{SrNd}_2\mathrm{Fe}_2\mathrm{O}_7$ donnent une réflexion de profil gaussien et de largeur à mihauteur de 0°38 et 0°31 respectivement, indiquant une mosaîque acceptable pour l'étude à laquelle ils sont destinés (mesures magnétiques, spectrométrie Mössbauer). A titre indicatif, nous signalons que la largeur à mihauteur d'un monocristal de Ge de très bonne qualité, mesurée dans les mêmes conditions, était de 0°10. Par contre, les deux échantillons de $\mathrm{SrNdFeO}_4$ étudiés donnent des réflexions très larges (3° à 4°) et d'un profil assez éloigné d'une gaussienne indiquant une mosaîque très importante.

Les quelques essais d'obtention de monocristaux dans un flux de PbO ont donné des cristaux de taille nettement inférieure à celle des cristaux obtenus dans le flux de $\mathrm{Bi}_2\mathrm{O}_3$: nous n'avons jamais pu dépasser une épaisseur de 0,05 mm. Drofenik et al. (7), qui ont étudié ce flux plus en détail,arrivent à une épaisseur de 0,4 mm.

RÉFÉRENCES

- 1 J.C. JOUBERT, D. SAMARAS, A. COLLOMB, G. LE FLEM, A. DAOUDI Mat. Res. Bull., 6, 341 (1971)
- 2 S.N. RUDDLESDEN, P. POPPER Acta Cryst., <u>11</u>, 54 (1958)
- 3 D. SAMARAS, G. BUISSON J. Crystal Growth, 32 (1976) sous presse
- 4 L.G. SILLEN, B. AURIVILIUS Z. Krist., <u>101</u>, 483 (1939)
- 5 J.C. JOUBERT, A. COLLOMB, D. ELMALEH, G. LE FLEM, A. DAOUDI, G. OLLIVIER J. Sol. St. Chem., 2, 343 (1970)
- 6 H. YAMAMURA, R. KIRIYAMA
 Bull. Chem. Soc. Japan, <u>45</u>, 2702 (1972)
- 7 M. DROFENIK, D. COLAR, L. GOLIC
 J. Cryst., Growth, <u>20</u>, 75 (1973)



CHAPITRE II

STRUCTURES CRISTALLINES

I - DÉTERMINATION DES STRUCTURES

A - STRUCTURES DE SRTB2FE2O7 ET BALA2FE2O7 DÉTERMINÉES SUR POUDRES (1)

Pour la détermination de ces structures, nous avons utilisé des données recueillies sur poudres au moyen d'un diffractomètre C.G.R.-Théta 60 automatisé selon la technique développée dans le Laboratoire des Rayons X par Messieurs de Bergevin et Brunel. Cette technique consiste en un défilement pas à pas du compteur proportionnel, avec mesure du nombre de photons diffractés à chaque point, pendant un temps prédéterminé et enregistrement sur bande perforée. Les intervalles angulaires à exploiter et le pas de déplacement dans chacun de ces intervalles sont introduits au lecteur du goniomètre sur ruban perforé.

Les diffractogrammes ont été effectués aux radiations $K\alpha_1$ du fer et du cobalt isolées à l'aide d'un monochromateur à cristal de quartz courbé, avec des pas de déplacement de $0.01^{\circ}0$ et des temps de comptage de 1 minute par point.

Les intensités mesurées ont été obtenues avec une précision de l'ordre de 5 % pour les reflexions les plus faibles. Pour les reflexions moyennes et fortes, la précision était supérieure à 1 %. Nous n'avons pas observé d'effets d'orientation des cristallites. Les différents diagrammes effectués en mélangeant nos poudres avec une solution d'amidon ou un diluant organique donnent les mêmes intensités, à la précision des mesures près, que ceux pour lesquels aucune précaution particulière n'a été prise.

Nous avons ainsi pu recueillir un nombre suffisant d'observations.

Nous avons mesuré l'intensité de 44 réflexions correspondant à 52 triplets h k 1 pour $\operatorname{BaLa_2Fe_2O_7}$ et de 70 réflexions correspondant à 98 triplets h k 1 pour $\operatorname{SrTb_2Fe_2O_7}$. Ces deux composés ont été choisis pour une étude cristallographique parce qu'ils sont représentatifs des deux types structuraux rencontrés. Ils constituent les deux termes extrêmes de cette nouvelle série de composés et ils se prêtent par ailleurs à une étude en diffraction neutronique tant du point de vue structural que magnétique.

Partant du modèle de structure idéalisé tel qu'il a été décrit pour ${\rm Sr_3Ti_2O_7}$ par Ruddlesden et al. (2) et Lukaszewicz (3), nous avons placé les ions ${\rm Fe^{3+}}$ sur les positions occupées par les ions ${\rm Ti^{4+}}$. Comme paramètres de position de départ pour tous les atomes, nous avons pris ceux proposés par Lukaszewicz (3). Les atomes d'alcalinoterreux et de terre rare ont été placés sur les positions occupées par le strontium. Deux modèles de distribution ont été envisagés :

a - Modèle de distribution ordonnée :

I4/mmm $P4_2/mnm$

Ba : 2b Sr : 4f site à coordination 12 dans $Sr_3Ti_2O_7$

La: 4e Tb: 8j site à coordination 9

b - Modèle de distribution désordonnée : les ions alcalinoterreux et de terre rare sont considérés désordonnés sur les mêmes positions cristallographiques.

Les structures ont été affinées par une méthode de moindres carrés sur calculateur CAE 510 ; la fonction à minimiser est $f = \Sigma |w(I_{obs.} - I_{cal.})|$ (w étant le poids affecté à chaque triplet h k l). Pour le calcul des intensités nous avons utilisé les valeurs des facteurs de diffusion atomique f_o fournies par Thomas et Umeda f_o et pour les corrections de dispersion anormale, les parties réelle et imaginaire f_o et f_o calculées par Cooper f_o pour la radiation du cobalt et par Cromer f_o pour la radiation du fer. Nous avons introduit des facteurs de température estimés approximativement ; nous n'avons pas pu les affiner en raison du petit nombre d'observations.

Pour le composé $BaLa_2Fe_2O_7$, les intensités ont été pondérées de $\frac{1}{\sigma^2}$ (σ = écart type de la mesure). L'affinement de la structure au moyen des rayons X a conduit à un facteur de confiance R = 6,8 %. Les atomes Ba et La étant indiscernables aux rayons X en raison de leur voisinage dans le tableau périodique, la question de distribution de ces atomes a été étudiée au moyen d'un diagramme

de diffraction neutronique, où les longueurs de Fermi sont très différentes $(b(La) = 0.83 \times 10^{-12} \text{ cm}$; $b(Ba) = 0.52 \times 10^{-12} \text{ cm}$). Seul le modèle de distribution désordonnée a donné satisfaction avec un facteur de confiance R = 3.9 %. Néanmoins, une distribution partiellement ordonnée avec (2 - x) Ba + x La en 2b et (4 - x) La + x Ba en 4e avec une faible valeur de x n'est pas exclue; seule une étude sur monocristal par diffraction neutronique permettrait de résoudre ce problème. Les atomes de Sr et La sont désordonnés aussi dans la structure de $\operatorname{SrLa}_2\operatorname{Al}_2O_7^{(29)}$. Il semble que la distribution désordonnée existe aussi pour les atomes Sr et La dans le cas du composé $\operatorname{SrLa}_2\operatorname{Fe}_2O_7^{(7)}$. Toutefois, comme les résultats sont basés sur une comparaison des intensités mesurées sur poudres avec celles calculées pour les positions atomiques de $\operatorname{Sr}_3\operatorname{Ti}_2O_7$, un affinement de la structure du composé en vue d'une confirmation de la distribution mérite d'être fait.

Dans le tableau II-1, sont consignés les paramètres de positions affinés pour BaLa₂Fe₂O₇. Il est à noter que les paramètres déterminés au moyen des neutrons sont sensiblement différents de ceux déterminés aux rayons X. Ceci peut être dû au fait que les deux diagrammes n'ont pas été effectués à la même température : celui de diffraction neutronique a été enregistré à 450°C, température à laquelle le fer se trouve à l'état paramagnétique et les raies magnétiques ne viennent pas perturber le diagramme nucléaire. Les tableaux II-2 et II-3 permettent d'établir une comparaison entre les intensités observées et calculées aux rayons X et aux neutrons.

TABLEAU II-1

PARAMETRES DES POSITIONS ATOMIQUES DE BaLa₂Fe₂O₇^a

	•	BaLa ₂ Fe ₂ O ₇		Sr ₃ Ti ₂ O ₂
Atome	Position	Z	Т	z
	2(b)			-
3(,,	$00\frac{1}{2}$	0.5	0.3	0.5
₹(Ba, 2La)	4(e)	0.3181 ± 0.0003		
3(,	00z	0.323 ± 0.004	0.3	0.312
Fe	4(e)	0.0967 ± 0.001		
	00z	0.103 ± 0.003	0.4	0.094
O_1	2(a)			
•	000	0.0	0.5	0.0
O_2	8(g)	0.107 ± 0.0005		
-	$0\frac{1}{2}z$	0.105 ± 0.003	0.5	0.094
O_3	4(e)	0.204 ± 0.004		
- 5	00z	0.216 ± 0.006	0.5	0.188

^a Commentaire: 1^{er} Paramètre: déterminé aux RX à la température ambiante. 2^e Paramètre: déterminé aux neutrons à 450°C.

 $\underline{TABLEAU\ I\ I-2}$ Comparaison des Intensites Observees et Calculees aux Rayons-X Pour le Compose $BaLa_2Fe_2O_7$

h k l	$p^a F_0 ^2$	$p F_c ^2$	h k l	$p F_{\rm o} ^2$	$p F_c ^2$
002	. 0	~0	301	*	50
004	0	~0	0.0.16)	4-4	
101	4	7	2.0.12	.174	. 177
006	41	60	226)	400	
103	22	29	2.1.11	480	520
105 .	610	577	3 0 3	*	18
110	429	408	3 0 5	303	314
112	0	4	310	424	417
008	0	5	3 1 2	*	3
114	51	41	228	*	15
107	. 98	74	3 1 4	*	29
116	383	343	307	*	35
0.0.10	147	145	2.0.14	*	64
109	37	55	2.1.13	*	` 4
200	578	514	1.1.16	130	160
202	0	~0	316)	(50	
118	66	62	1.0.17 }	658	677
204	0	1	0.0.18	*	7
2 1 1	134	115	2.2.10	246	268
0.0.12	60	47	309	*	23
206	192	175	3 1 8	*	63
1.0.11)	288	275	2.1.15	127	157
213]	200	213	3 2 1	127	157
1.1.10	280	263	2.0.16)	232	244
2 1 5	845	812	2.2.12)	232	244
208	0	~0	3.0.11 ነ	169	192
2 1 7	103	96	323]		
0.0.14	. 0	22	1.1.18	* .	5
1.0.13	0	3	3.1.10	294	312
1.1.12	166	185	1.0.19 լ	633	568
2.0.10	358	366	325 }	,	
219	***	67	0.0.20	*	3
220	382	342	3 2 7	*	57
222	*	~0	2,2.14	*	51
2 2 4	*	~0	3.0.13	*	2
1.1.14	*	22	3.1.12	175	236
1.0.15	*	42	2.1.17	516	499
			2.0.18	*	22

^a p: multiplicité de la réflexion.

TABLEAU II-3

Comparaison des Intensites Observees et Calculees aux neutrons pour le Compose $BaLa_2Fe_2O_7$

hkl	$p F_0 ^2$	$p F_c ^2$
002	2.0	1.7
004	35	41
101	44	29
006	4.4	3,5
$\begin{pmatrix} 1 & 0 & 5 \\ 1 & 1 & 0 \end{pmatrix}$	340	342
112	20	14
114	136	139
107	102	102
116	194	198
0,0,10	288	299

^b *: intensité non mesurable.

Pour le composé $\operatorname{SrTb}_2\operatorname{Fe}_2\operatorname{O}_7$, présentant une surstructure de celle de $\operatorname{Sr}_3\operatorname{Ti}_2\operatorname{O}_7$, il n'a pas été possible d'obtenir un affinement convergent en utilisant comme paramètres de départ ceux de la structure type. Les atomes étant manifestement trop écartés de leurs positions idéales, nous avons été obligés de déterminer approximativement les positions des atomes lourds en effectuant une projection de Fourier sur le plan (100) ⁽⁸⁾. Les atomes d'oxygène ont été placés de façon à respecter les coordinations de la structure type et à fournir des distances cations-oxygènes raisonnables. Plusieurs cycles d'affinement ont été entrepris avec des jeux appropriés de pondération des observations, ceci pour éviter que les raies fortes, raies de la structure fondamentale, attirent les paramètres vers les valeurs idéales de $\operatorname{Sr}_3\operatorname{Ti}_2\operatorname{O}_7$. Nous avons ainsi exclu du premier cycle les raies fortes ; pour le second les intensités ont toutes été pondérées de $\frac{1}{1}$ et pour le dernier, une pondération en $\frac{1}{\sigma^2}$ a été utilisée.

Seul le modèle de distribution ordonnée a conduit à un accord satisfaisant, les facteurs de confiance aux rayons X et aux neutrons étant respectivement de 7 % et 2 %.

Les tableaux II-4 et II-5 permettent d'établir une comparaison entre les intensités observées et calculées. Le tableau II-6 donne les positions cristallographiques occupées par les ions et les paramètres correspondants. Les distances interatomiques, calculées à partir des paramètres de position déterminées aux rayons X, sont consignées dans les tableaux II-7 et II-8.

 $\underline{TABLEAU\ II-4}$ Comparaison Entre Intensites Calculees et Observees aux Neutrons pour le Compose SrTb $_2$ Fe $_2$ O $_7$

h k l	$p F_{\mathrm{e}} ^2$	$p F_c ^2$	h k l	$p F_0 ^2$	$p F_c ^2$
002	3.6	3.8	116)	282	293
101	~0	3.1	107)	202	
004	107	103	008)		
103	1 1	15	204}	575	573
111	131	137	212)		
112	5	2.5	213)	540	542
113	~0	8.0	117∫	•	
006)	46	43	206	536	532
105)			118	230	332
114	37	35	·		
115)	1240	1250	$\begin{pmatrix} 0.0.10 \\ 2.2.0 \end{pmatrix}$		
200		1.6	221	4210	4250
202	20	16	222		
			119	1035	1044

 $\underline{TABLEAU\ II-5}$ Comparaison Entre Intensites Calculees et Observees aux Rayons-X pour le Compose $SrTb_2Fe_2O_7$

h k l	$p F_{\rm o} ^2$	$p F_c ^2$	h k l	$p F_{\rm o} ^2$	$p F_c ^2$
0 0 2	26	19	3 2 5	239	271
101	11	12	318	*	~0
004	25	13	1.1.13		0
103	19		2.0.12		
		28	3.0.9	601	556
110	0	1	0.0.14		
111	137	124			
112	0	1	236	962	913
113	273	286	2.2.10)		
006	246	174	400	744	795
1 0 5	· 36	39	402	364	436
114	0	2	319		
1 1 5	2000	1950	3 2 7	*	、 9
200	1270	1270	410	197	244
202	95	77	411)		244
107 γ	20	12	4 0 4	*	16
116	28	13	412	*	45
008)	1.60	4	1.1.14	*	~0
210	169	150 -	2.2.11	*	~0
2 1 1	Ö	14	4 1 3	*	10
204	53	41	3.1.10	*	~0
212	0	14	3 3 0	*	24
2 1 3	64	54	3 2 8	*	45
117	113	100	3 3 1	*	47.
214	0	~0	4 1 4	*	~0
206	809	818	2.1.13	*	~0 18
215	73	47	3 3 2	≱ k	7
118	. 6		3.0.11	90 -	
109	0	12 7	1.0.15	*	126
	U	,	3 3 3	*	~0
216	621	582	406		6
0.0.10			415	240 *	200
220	1565	1495	334	,	19
221	*	1	2.2.12		
222		20		510	506
119	448	438	329		
2 2 3	0	5	2.0.14)		
217	0	~0	3.1.11	890	930
208	325	334	1.1.15)		
301	525	551	416	400	430
2 2 4	0	24	3 3 5		
3 0 3	119	166	420	1663	1657
1.1.10	0	9	421		1007
2 2 5	0	3	0.0.16)		
218)			422	*	7
311 }	186	237	2.1.14	*	69
313	250	263	4 2 3	*	25
3 1 2	*	11	3 3 6	*	9
1.0.11	*	24	4 1 7	*	1
226	360	357	3.2.10	*	27
3 0 5	180	180	408	*	37
3 1 4	0	~0	424	*	10
0.0.12	101	95	2.2.18	*	3
219	*	~0	3.1.12	*	8
			3 3 7	*	40
1.1.11	749	695	425	*	19
227	846	840	418	*	18
2.0.10)			1.1.16	*	6
315	2281	2320	3.0.13	*	45
307	= 4	_	3.2.11)		
2.1.10	51	77	2.1.15	170	236
316)			426)		
				455	500
$\left\{ \begin{array}{c} 2 & 2 & 8 \\ 3 & 2 & 0 \end{array} \right\}$	186	150	338 }	433	500

Tubicaa II a (Sales)	Tableau	II-5	(suite)
----------------------	---------	------	---------

h k 1	$p F_o ^2$	$p F_c ^2$	h k l	$p F_a ^2$	$p F_c ^2$
3 2 1	*	90	4.1.9	230	243
1.1.12	0	10	2 2 14 Ĵ		
3 2 2	0	· 10	4.0.10	360	516
3 2 3	133	200	2,0.16	300	292
3 1 7	95	110	3.2.12	*	. 35
3 2 4	*	~0		*	120
1 0 13	*	~0	3 3 9		
229	串	~0	1.1.17	639	642
2 1 11	*	25	4,1,10	*	100
430			432	*	32
428	478	550	3.1.14	*	~0
431	470	550	0.0.18	*	7
5 0 1			2.2.15	*	~0

a *: intensité non mesurable.

TABLEAU II-6

Parametres des positions Atomiques de $SrTb_2Fe_2O_7^a$

			$SrTb_2Fe_2O_7$			
Atome Position	Position	X	z	T	х	z
Sr	4(f) x x 0	0.264 ± 0.002 0.263 ± 0.002	0.0	0.35	0.250	0,0
Tb	8(j) x x z	0.276 ± 0.001 0.276 ± 0.001	$\begin{array}{c} 0.1823 \pm 0.0003 \\ 0.1823 \pm 0.0003 \end{array}$	0.30	0.250	0.188
Fe	8(j) x x z	$\begin{array}{c} 0.248 \pm 0.004 \\ 0.250 \pm 0.002 \end{array}$	$\begin{array}{c} 0.4006 \pm 0.0009 \\ 0.4020 \pm 0.0005 \end{array}$	0.40	0.250	0.406
O_1	4(g) x x 0	0.784 ± 0.016 0.808 ± 0.010	0.0	0.50	0.750	0.0
O_2	8(j) x x z	0.207 ± 0.009 0.179 ± 0.004	$\begin{array}{c} 0.285 \pm 0.003 \\ 0.292 \pm 0.001 \end{array}$	0.50	0.250	0.312
O_3	8(h) 0 ½ z	0.0	$\begin{array}{c} 0.126 \pm 0.004 \\ 0.118 \pm 0.003 \end{array}$	0.50	0.0	0.094
O_4	4(e) 0 0 z	0.0	$\begin{array}{c} 0.108 \pm 0.009 \\ 0.118 \pm 0.003 \end{array}$	0,50	0.0	0.094
O_5	4(e) 0 0 z	0.0	0.408 ± 0.009 0.421 ± 0.002	0.50	0.0	0.406

⁴ 1er Paramètre: déterminé aux R.X. à la température ambiante. 2e Paramètre: détérminé aux neutrons à 450°C.

TABLEAU II-7

DISTANCES INTERATOMIQUES (en Å)
DANS LE COMPOSE BaLa₂Fe₂O₇

```
Coordination de l'ion en 2(b)
                     A-O_1: 2.78 \times 4
                     A-O_2: 2.93 \times 8
  Coordination de l'ion en 4(e)
                     A-O<sub>2</sub>: 2.52 \times 4
                     A-O_3: 2.80 \times 4
                     A-O_3: 2.37 \times 1
  Coordination de Fe3+
                     Fe-O_2: 1.97 \times 4
                     Fe–O<sub>1</sub>: 1.99 \times 1
                     Fe-O<sub>3</sub>: 2.25 \times 1
  Distances Fe-Fe
                     Fe-Fe(Oz): 4.03 \times 1
                             (Ox): 3.93 \times 4
                                                    dans le même
                                                    double bloc
                              (xx): 5.56 \times 4
                             (xxz): 5.62 \times 4
                                   : 6.97 × 4 entre blocs
                         TABLEAU II-8
               DISTANCES INTERATOMIQUES (en Å)
                   DANS LE COMPOSE SrTb<sub>2</sub>Fe<sub>2</sub>O<sub>7</sub>
Coordination de Sr2+
                   Sr–O<sub>1</sub>: 2.66 \times 2
                   Sr-O_1': 2.88 \times 2
                   Sr-O<sub>5</sub>: 2.58 \times 2
                   Sr-O_4: 2.96 × 2
                   Sr-O_3: 3.15 \times 4
Coordination de Tb3+
                  Tb–O<sub>2</sub>: 2.15 \times 1
                  Tb-O<sub>2</sub>: 2.45 \times 2
                  Tb-O<sub>5</sub>: 2.55 × 1
                  Tb-O<sub>3</sub>: 2.24 \times 2
                  Tb-O<sub>4</sub>: 2.64 \times 1
                  Tb-O''<sub>2</sub>: 3.20 \times 2
Coordination de Fe3+
```

Distances Fe-Fe

Fe-Fe(Oz): 3.87×1 (xx): 3.89×4 (Ox, xz): 5.50 - 8 dans le même double bloc

Fe-O₁: 1.97 × 1 Fe-O₃: 2.02 × 2 Fe-O₄: 1.96 × 1 Fe-O₅: 1.96 × 1 Fe-O₂: 2.28 × 1

: 6.56×4 entre blocs

B - STRUCTURE DE SRND FE 07 DÉTERMINÉE SUR MONOCRISTAL

Les mesures d'intensités ont été effectuées sur diffractomètre automatique à quatre cercles Hilger and Watts à la radiation MoK α . La procédure de collection des intensités a été décrite ailleurs $^{(9)}$. L'échantillon était une sphère de 0,072 mm orientée avec 1'axe [100] parallèle à 1'axe du diffractomètre. Toutes les réflexions contenues entre θ = 2° et θ = 35° ont été mesurées. Les réflexions avec une hauteur de pic inférieure à 10 fois le fond continu n'ont pas été retenues. Le nombre de réflexions utilisées dans 1'affinement a été de 243. Les facteurs de structure ont été déduits après corrections de Lorentz - polarisation et absorption.

L'affinement a été effectué à l'aide du programme LINEX écrit par P. Coppens, permettant l'affinement de l'extinction d'après ⁽¹⁰⁾. Les facteurs de diffusion ont été ceux de l'atome neutre fournis par Doyle et Turner ⁽¹¹⁾ et les coefficients de dispersion anormale ceux de Cromer et Liberman ⁽¹²⁾.

Les réflexions ont été pondérées de $w = \frac{1}{\sigma^2}$, avec :

$$\sigma = 0.5 \sqrt{1/pF^2 + \alpha^2 F^2}$$

où p est le poids statistique de la mesure d'intensité et α un paramètre empirique, qui a été choisi égal à 0,05.

Les valeurs initiales pour les paramètres de position et les facteurs isotropes de température ont été celles déterminées pour ${\rm SrTb}_2{\rm Fe}_2{\rm O}_7$. Dans un premier temps, les ions Sr et Nd ont été considérés ordonnés et occupant les sites 4f (xx0) et 8j (xxz) respectivement du groupe P4₂/mnm. Un affinement sur les taux d'occupation de ces sites a abouti à des valeurs supérieure à 1 pour Sr et inférieure à 1 pour Nd, ce qui équivaut à un désordre partiel de Sr et Nd (les courbes ${\rm f}_0$ + $\Delta {\rm f}^+(\Theta)$ pour Sr et Nd sont sensiblement homothétiques dans le domaine angulaire où nous avons collecté des intensités).

Enfin, les paramètres de position et de désordre entre Sr et Nd étant constants, les facteurs de température anisotropes ont été affinés pour les cations. Les oxygènes étant très légers par rapport aux cations, nous n'avons pu affiner leurs facteurs de température anisotropes. De plus, il existe de fortes corrélations entre le facteur d'échelle, paramètres de désordre, facteurs de tempéra-

ture et extinction ce qui limite la précision de l'affinement. Pour les cations, nous avons tenu compte du fait que dans la structure idéale de ${\rm Sr_3Ti_2O_7}$, ces ions occupent des sites à symétrie telle que les tenseurs des vibrations sont diagonaux. Seuls les termes diagonaux ont donc été affinés.

Les facteurs de confiance R et wR étaient de 0,034 et 0,027 respectivement. Les paramètres de position et thermiques finaux sont consignés dans le tableau II-9. Les distances interatomiques et leurs écarts types figurent dans le tableau II-10. Enfin, une comparaison des facteurs de structure observés et calculés est fournie en annexe.

La distribution des ions Sr^{2+} et Nd^{3+} sur les sites est :

4f : 0,8 Sr + 0,2 Nd ; 8j : (0,2 Sr + 0,8 Nd) x 2

Cette distribution entraîne une quantité de Sr>1 qui doit être compensée soit par un déficit d'oxygène de l'ordre de 1,5% (à comparer à $Sr_3^{Fe}2^0_{7-x}$) soit par la présence de 10 % de fer à l'état tétravalent. L'étude par effet Mössbauer (chapitre VI) montre la présence de Fe⁴⁺dans une proportion comparable (15%).

TABLEAU II-9

Paramètres de position et thermiques de SrNd₂Fe₂O₇

	х	Z	U* ₁₁	U ₃₃
Sr	0,2549(3)	0,0	0,0119(6)	0,0080(8)
Nd	0,2631(1)	0,18245(5)	0,0099(3)	0,0068(4)
Fe	0,2541(2)	0,4038(1)	0,0061(7)	0,0075(9)
0(1)	0,7855(15)	0,0	0,021(5)	
0(2)	0,2143(8)	0,2953(4)	0,021(4)	
0(3)	0,0	0,1027(5)	0,008(3)	
0(4)	0,0	0,1154(9)	0,009(4)	
0(5)	0,0	0,4107(8)	0,014(5)	
<u> </u>				

^{*}les paramètres thermiques des oxygènes sont les U isotropes.

TABLEAU II-10

Distances interatomiques (en A) dans SrNd₂Fe₂O₇

Coordination de 1'ion en 4f : 0,8 Sr + 0,2 Nd

Sr-O(1) : 2,581(12) x 2

 $Sr-O(1)': 2,946(12) \times 2$

Sr-O(3) : 2,828(7) x 4

Sr-0(4) : 2,596(13) x 2

Sr-0(5) : 3,107(14) x 2

Coordination de 1'ion en 8j : 0,8 Nd + 0,2 Sr

Nd-O(2) : 2,322(9) x 1

Nd-O(2)': 2,509(7) x 2

Nd-O(2)": 3,077(7) x 2

Nd-O(3) : 2,547(5) x 2

Nd-O(4) : 2,670(12) x 1

Nd-O(5): 2,426(10) x 1

Coordination de Fe³⁺

Fe-0(1) : 1,963(2)

Fe-O(3) : 1,950(1) x 2

Fe-O(4) : 1,988(3)

Fe-O(5): 1,967(4)

Fe-O(2) : 2,214(9)

II - DESCRIPTION ET DISCUSSION DES STRUCTURES

A - LES EMPILEMENTS DE BLOCS PÉROVSKITE

La structure pérovskite, que nous représentons par la formule ABX₃, est un empilement cubique compact d'atomes d'oxygène et de gros cations A, dans les interstices octaédriques duquel se placent les petits cations B. Les cations A ont un voisinage de 12 anions équidistants. Les octaèdres des cations B sont unis par leurs sommets et forment une charpente à trois dimensions.

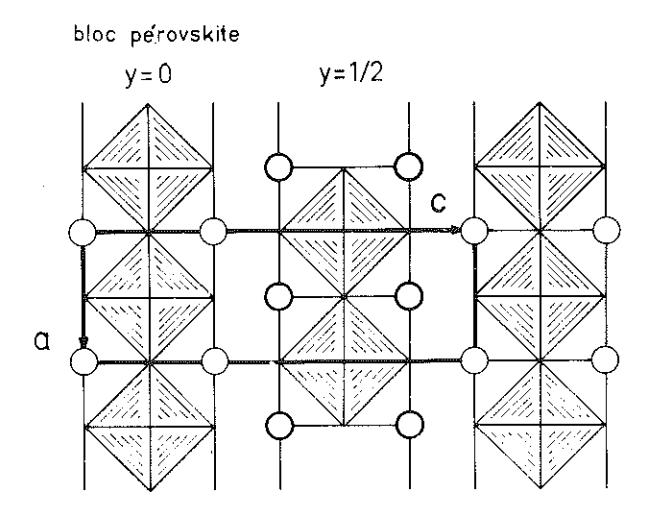
Nous pouvons aussi décrire la structure pérovskite comme une succession de couches bidimensionnelles de composition AX et BX_2 . Nous appelons "bloc bidimensionnel de type pérovskite" une succession de trois plans $\mathrm{AX-BX}_2$ -AX de composition $\mathrm{A_2BX}_4$ et d'épaisseur une maille pérovskite.

La structure type de $K_2 \text{NiF}_4$ est un empilement de tels blocs bidimensionnels pérovskite, translatés l'un par rapport à l'autre de $\vec{a}_0/2 + \vec{b}_0/2$, \vec{a}_0 et \vec{b}_0 étant les paramètres de périodicité dans la couche (figure II-1). Il en résulte une structure quadratique centrée où les couches sont perpendiculaires à la direction [001] (figure II-2).

Le glissement des blocs pérovskite amène des cations A en face des anions et donne ainsi naissance à une couche de raccordement de ces blocs dont la structure est du type NaCl.

Les gros cations A, se trouvant toujours sur un plan de raccordement, ont comme polyèdre de coordination, du côté du bloc bidimensionnel, la moitié du cuboctaèdre qu'ils ont dans la pérovskite, et du côté du plan de raccordement, la moitié de l'octaèdre de la structure NaCl; ils se trouvent ainsi dans un site à coordination 9.

La structure type $\mathrm{Sr_3Ti_2O_7}$ est un empilement comparable des blocs bidimensionnels ayant cette fois une épaisseur de deux mailles pérovskite. Il en résulte toujours une structure quadratique centrée. Pour les gros cations A, deux sites sont à envisager : ceux qui occupent le milieu du double bloc sont entourés de 12 voisins oxygène, comme dans la structure pérovskite, tandis que ceux qui font partie de la couche de raccordement ont un entourage de 9 voisins.



double bloc pérovskite

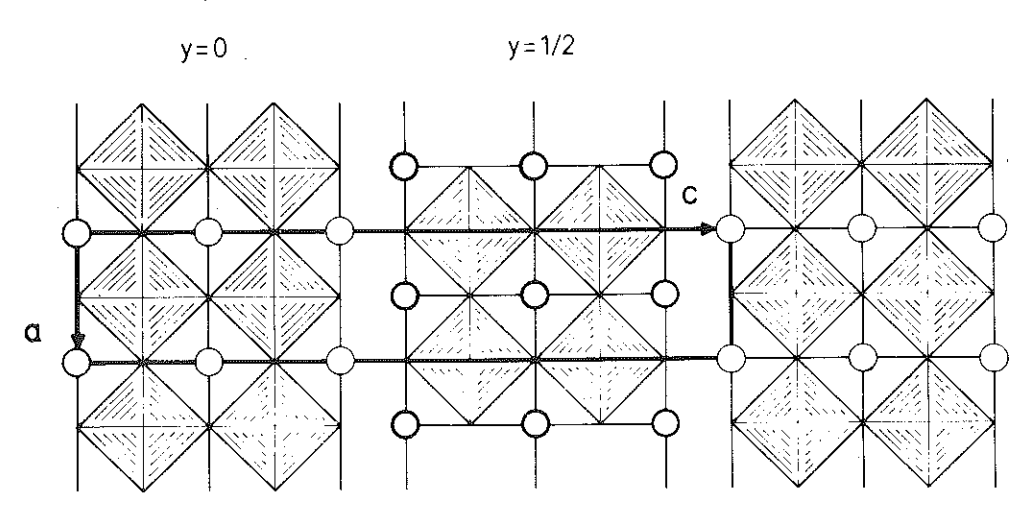


FIGURE II-1

 $\frac{\text{Empilements de simples et doubles blocs à structure pérovskite}}{\text{rencontrés respectivement dans les structures de type $\rm Sr_2TiO_4$ et $\rm Sr_3Ti_2O_7$}$ (y représente la cote des différents blocs dans la direction b)

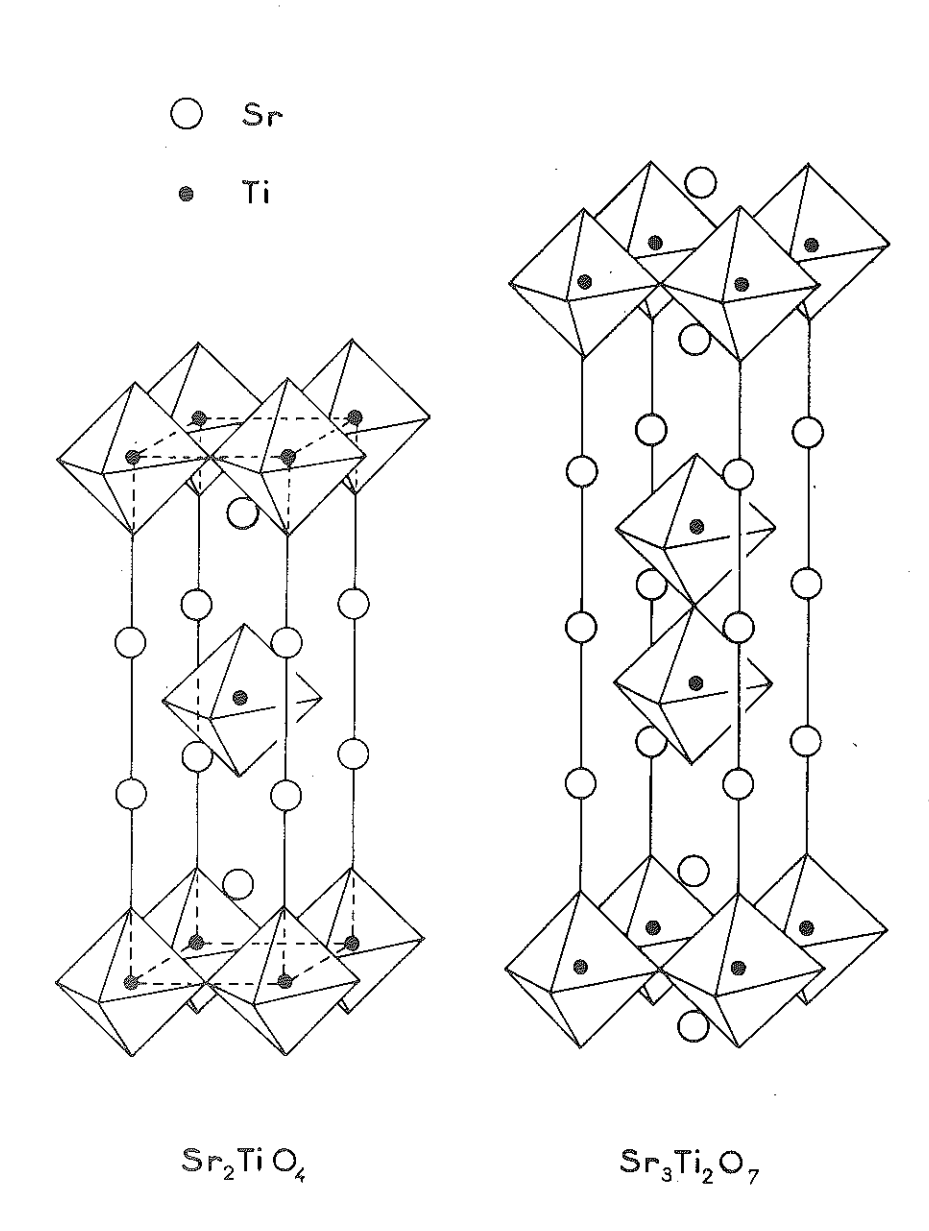


FIGURE II-2
Structures de type Sr₂TiO₄ et Sr₃Ti₂O₇

On rapporte aussi l'existence du composé ${\rm Sr_4Ti_3O_{10}}^{(2)}$, qui serait un empilement de blocs d'épaisseur trois mailles pérovskite.

Nous signalons aussi l'existence d'empilements de blocs bidimensionnels du type pérovskite taillés de façon différente. C'est le cas des composés $\text{BaZnF}_4^{(14)}$ et $\text{NaNbO}_2\text{F}_2^{(15)}$ où les blocs sont taillés suivant une diagonale de face de la maille pérovskite, avec formation de sites à coordination 8 dans le cas idéal, plus ou moins déformés dans les structures réelles. Le composé $\text{Ca}_2\text{Nb}_2\text{O}_7^{(16)}$ est un autre exemple d'empilement du même type avec des blocs d'épaisseur double des précédents.

B - DISCUSSION SUR LA STRUCTURE DES COMPOSÉS ALNOFEO

Les composés étudiés possèdent une structure très analogue à celle de ${\rm Sr_3Ti_2O_7}$. Ils présentent toutefois quelques différences significatives (figure II-3).

Le polyèdre de coordination de 1'ion ${\rm Fe}^{3+}$ n'est pas un octaèdre. En effet dans ${\rm SrNd}_2{\rm Fe}_2{\rm O}_7$, cet ion est entouré de 5 voisins oxygène sous forme de pyramide quadratique. Cependant, les quatre oxygènes de 1a base de cette pyramide ne sont pas situés rigoureusement au même plan ; il y a une tendance pour que la pyramide quadratique devienne une bipyramide triangulaire. Pour ${\rm BaLa}_2{\rm Fe}_2{\rm O}_7$, cette pyramide quadratique est parfaite (figure II-4) tandis que pour ${\rm SrTb}_2{\rm Fe}_2{\rm O}_7$, c'est une bipyramide triangulaire (figure II-5). La moyenne des 5 distances Fe-0 est de 1,964(2) Å pour ${\rm SrNd}_2{\rm Fe}_2{\rm O}_7$ (1,97 Å pour ${\rm BaLa}_2{\rm Fe}_2{\rm O}_7$ et 1,98 Å pour ${\rm SrTb}_2{\rm Fe}_2{\rm O}_7$) valeur intermédiaire entre les distances moyennes de 1,890 et 2,045 caractéristiques des entourages tétraédrique et octaédrique de ${\rm Fe}^{3+}$ d'après Shannon et Prewitt (17); elle est caractéristique d'un entourage à 5 voisins. Le sixième voisin est éloigné à une distance de 2,214 Å (2,28 pour ${\rm SrTb}_2{\rm Fe}_2{\rm O}_7$ et 2,25 pour ${\rm BaLa}_2{\rm Fe}_2{\rm O}_7$). On rencontre ce type de coordination à cinq voisins, sous forme de bipyramide, dans la structure de l'hexaferrite de baryum, pour le fer en position ${\rm 2b}$ (18).

La coordination du fer à cinq voisins, ainsi que la distribution des atomes de terre rare et d'alcalinoterreux ont été confirmées par l'étude en spectrométrie Mössbauer (chapitre VI). La valeur du couplage quadrupolaire ΔE dans l'état paramagnétique est de l'ordre de 0,6 à 0,7 mm/s ; ce sont des valeurs très grandes pour qu'un ion sphérique tel que Fe^{3+} se trouve dans un site à symétrie cubique.

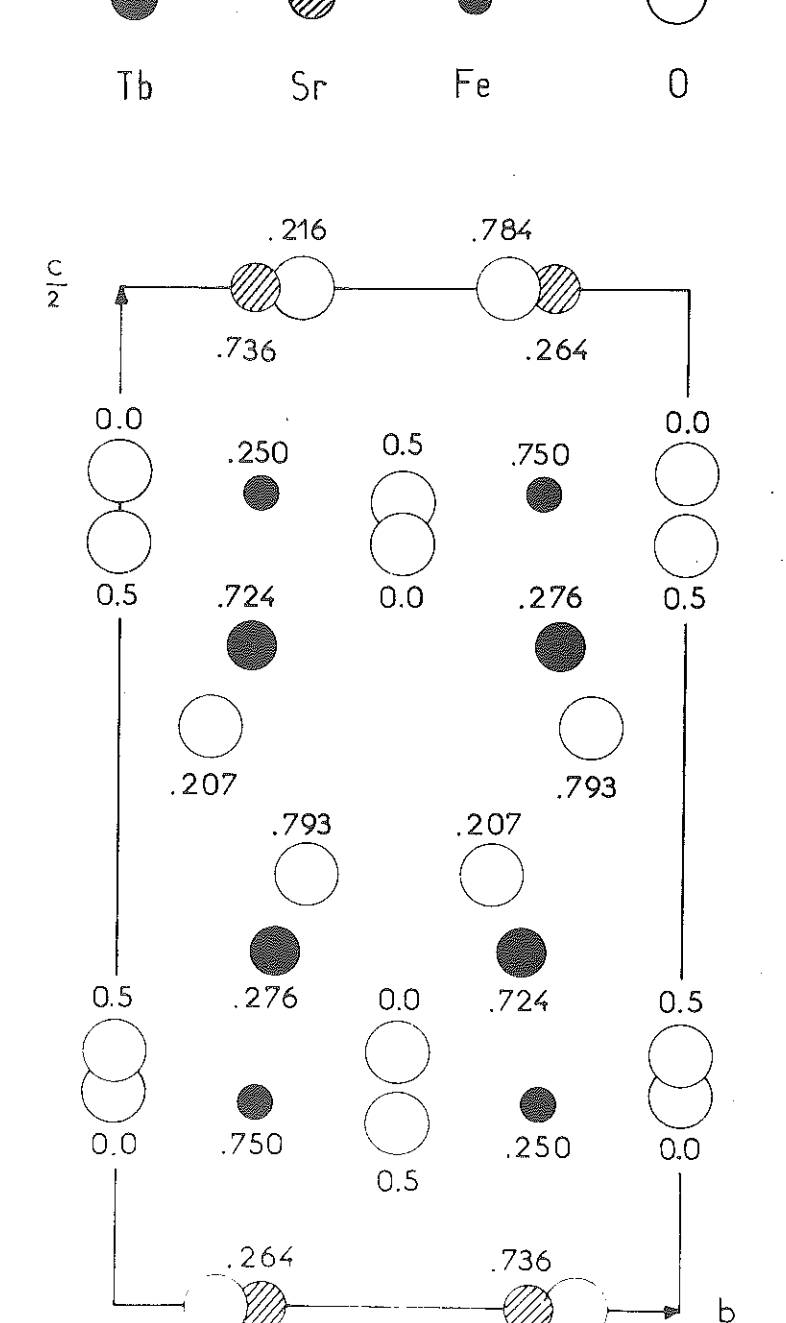


FIGURE II-3

Projection de la structure de SrTb₂Fe₂O₇ sur le plan (100)

. 216

.784

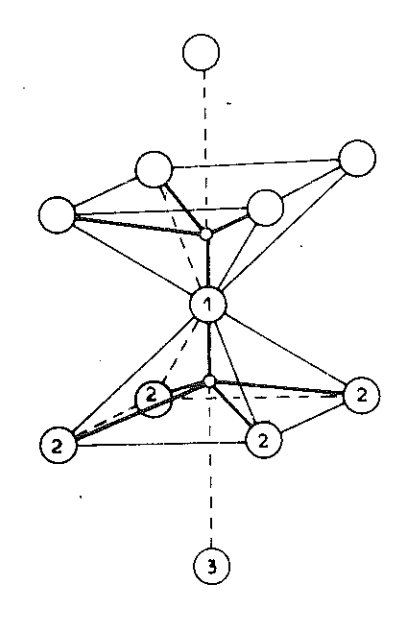


FIGURE II-4

Polyèdre de coordination de Fe³⁺ en forme de pyramide quadratique dans BaLa₂Fe₂O₇

En pointillé le sixième voisin O₃ éloigné

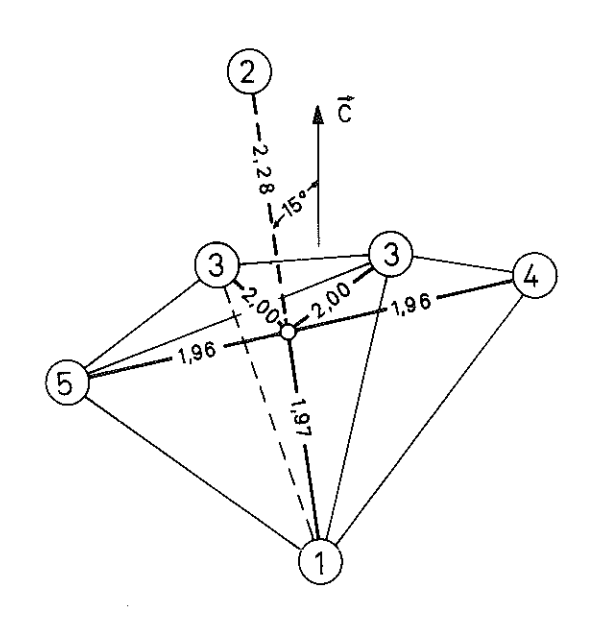


FIGURE II-5

Polyèdre de coordination de Fe³⁺ en forme de bipyramide dans SrTb₂Fe₂O₇ En pointillé le sixième voisin, O(2), éloigné La largeur des raies Mössbauer pour ${\rm SrTb}_2{\rm Fe}_2{\rm O}_7$ et pour tous les autres composés excepté ${\rm BaLa}_2{\rm Fe}_2{\rm O}_7$ et ${\rm SrNd}_2{\rm Fe}_2{\rm O}_7$ est presque égale à la largeur minimale naturelle. Par contre, pour les deux derniers, les raies sont larges. Ceci confirme l'ordre des atomes ${\rm Sr}$ et ${\rm Tb}$ et le désordre de ${\rm Ba}$ et ${\rm La}$ et de ${\rm Sr}$ et ${\rm Nd}$. Pour les autres composés, non étudiés aux rayons ${\rm X}$, on doit conclure que la terre rare et l'alcalinoterreux sont vraisemblablement ordonnés.

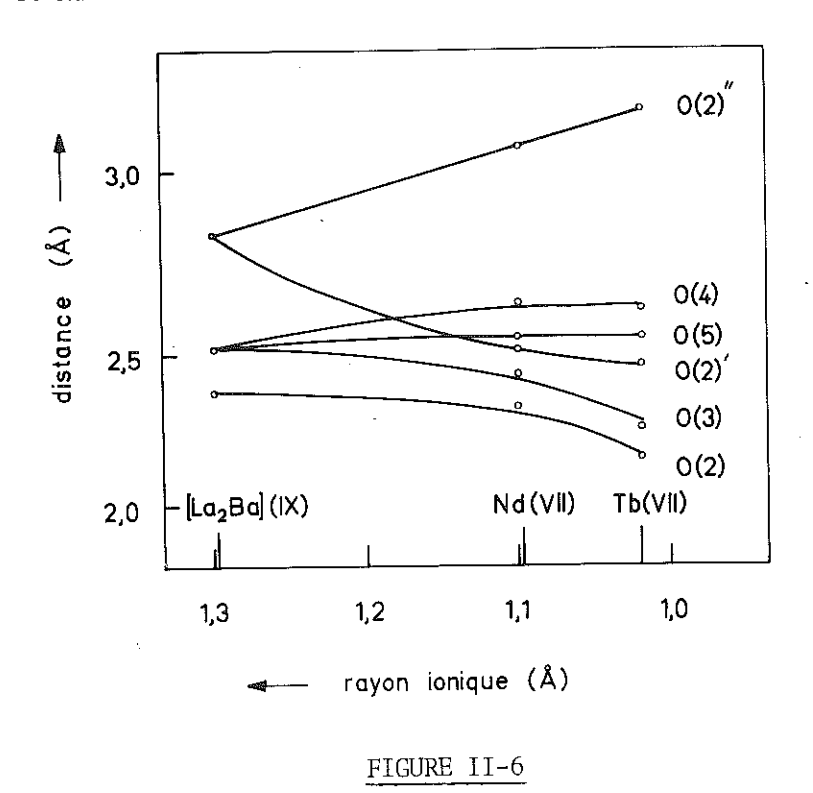
Dans tous les cas étudiés, bien qu'on soit en présence de deux types structuraux relativement distincts, le fer possède une coordination de 5 voisins. Tous les composés du type $\mathrm{Sr_3Ti_2O_7}$ mis en évidence jusqu'à ce jour, dont les structures restent d'ailleurs à déterminer en détail, contiennent à la place du Ti^{4+} des cations susceptibles d'accepter un voisinage octaédrique très déformé, comparable à celui que nous avons rencontré pour le fer.

On rencontre, dans la littérature, les composés $\mathrm{Sr_3(Ba_3)Zr_2O_7}^{(19)(20)}$, $\mathrm{Ba_3Sn_2O_7}^{(21)}$, $\mathrm{K_3Zn_2F_7}^{(22)}$, $\mathrm{K_3Mn_2F_7}^{(23)}$, $\mathrm{K_3Fe_2F_7}^{(24)}$. Par contre, pour les cations qui admettent difficilement des entourages octaédriques déformés, les composés correspondants sont très difficiles à préparer. Ainsi le composé $\mathrm{K_3Ni_2F_7}$ n'a été préparé qu'en utilisant une très forte pression de 65 Kbar (25); de même, le composé $\mathrm{Ca_3Mn_2O_7}^{(26)(27)}$ n'est pas stoechiométrique et n'a pu être préparé que sous forte pression d'oxygène. Nos essais de préparation de composés de formule $\mathrm{Ba(Sr)Ln_2Cr_2O_7}$ se sont avérés infructueux. Par contre, dans les composés $\mathrm{SrLn_2Al_2O_7}^{(21)}$ (Ln = La, Nd, Gd) qui ont été étudiés (28)(29), 1'ion Al³⁺ possède le même environnement que le fer dans $\mathrm{BaLa_2Fe_2O_7}$. Aussi, les composés correspondants avec les cations $\mathrm{V^{3+}}$, $\mathrm{Mn^{3+}}$, $\mathrm{Ga^{3+}}$ ont été mis en évidence (30); or ces cations sont bien connus pour accepter des voisinages octaédriques déformés ainsi que des voisinages pentacoordinés.

Les descriptions de la structure type de ${\rm Sr_3Ti_2O_7}^{(2)(3)}$ n'étant basées sur aucun calcul précis d'intensités, celle-ci mérite d'être affinée pour confirmation de l'entourage octaédrique du titane.

Dans la structure des composés $SrNd_2Fe_2O_7$ et $SrTb_2Fe_2O_7$, l'ion de terre rare ne forme plus avec les oxygènes un réseau carré, comme c'est le cas pour $BaLa_2Fe_2O_7$. Cette disposition l'éloigne de deux voisins O(2)'', qui se trouvent écartés à une distance de 3,077(7) Å (3,20 Å pour $SrTb_2Fe_2O_7$). La variation de la distance des huitième et neuvième voisins O''(2) en fonction du rayon du cation central (compte-tenu du désordre entre la terre rare et l'alcalinoterreux) est représentée sur la figure II-6. On remarque que cette distance varie en sens

inverse du rayon ionique de l'ion central, ce qui indique que l'on ne peut considérer ces oxygènes comme des premiers voisins que dans le composé BaLa₂Fe₂O₇. Les distances des 7 premiers voisins varient proportionnellement au rayon ou bien elles restent stables. La distance moyenne des 7 voisins dans SrNd₂Fe₂O₇ est de 2,50(1) Å qui est à comparer à la valeur de 2,49 Å calculée d'après le taux de désordre entre Sr et Nd trouvé lors de l'affinement.



Distances des voisins oxygènes de la terre rare en fonction de son rayon ionique

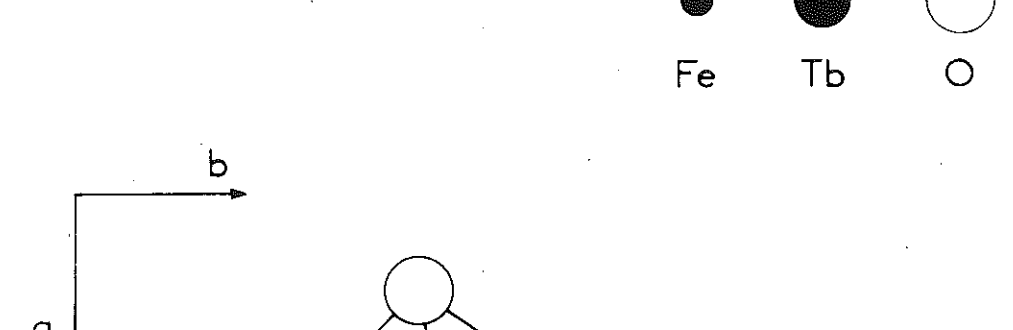
Le phénomène de diminution du nombre de premiers voisins en fonction du rayon de la terre rare est analogue à celui observé dans le cas des orthoferrites des terres rares (31 - 33). Marezio et al., par une étude des distances interatomiques, ont démontré que c'est surtout la coordination de la terre rare qui varie avec le rayon de celle-ci, la coordination du fer n'étant pas affectée. En effet, la coordination de la terre rare dans les orthoferrites est de 8 voisins pour la série du Nd au Tb. Entre Dy et Lu, les septième et huitième voisins ont tendance à s'éloigner, bien qu'ils puissent encore être considérés comme des premiers voisins. Le neuvième atome d'oxygène, qui est un second voisin pour les ions terres rares du Lu³⁺ au Nd³⁺, se rapproche brusquement à partir du Pr³⁺ et devient un premier voisin pour La³⁺. Il semble que le même phénomène existe aussi dans le cas des orthogallates (32), orthochromites (33)(34), orthovanadites (35)(36), et orthorhodites

Les voisins O(2)" qui sont rejetés du voisinage d'un ion néodyme se rapprochent d'un autre. Ainsi la distance moyenne des O(2) autour d'un néodyme est de 4 % plus courte que les autres distances Nd-O.

Le voisin O(2) qui s'éloigne de l'ion fer est précisément celui qui se rapproche de l'ion néodyme à une distance de 2,32 Å. La somme des distances de cet oxygène du néodyme et du fer est de 4,53 Å, très comparable à la somme des distances moyennes Nd-O et Fe-O qui est de 4,47 Å.

Des sept voisins de la terre rare, six sont disposés aux sommets d'un octaèdre déformé ; le septième, O(4), commun à deux polyèdres de coordination de terre rare, occupe aussi un des sommets de la bipyramide triangulaire de 1'ion Fe³⁺ (figure II-7). Ce type de coordination à 7 voisins ainsi que la liaison des octaèdres par un septième voisin faisant partie de la bipyramide triangulaire est aussi rencontré dans les structures de La $_2$ TiO $_5$ (39).

En ce qui concerne les facteurs de température anisotropes, on remarque que pour l'ion fer β_{11} < β_{33} , tandis que pour le néodyme, on a β_{11} > β_{33} . C'est une conséquence du fait que le voisin O(2), très rapproché de Nd et très éloigné de Fe, se situe sensiblement sur la même verticale que ces ions.



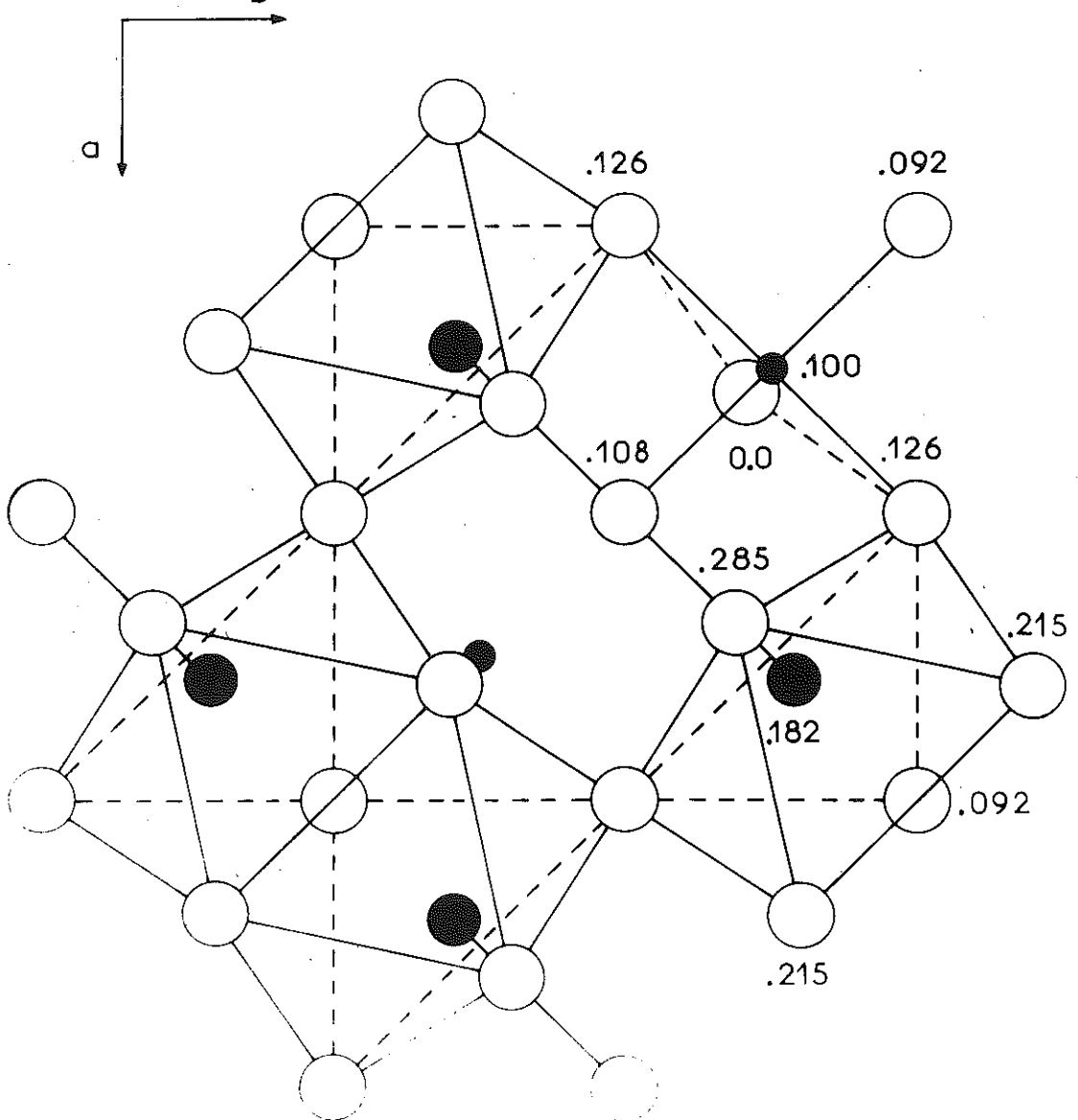


FIGURE II-7

Projection d'une partie de la structure de ${\rm SrTb_2Fe_2O_7}$ illustrant l'enchaînement des polyèdres de coordination de ${\rm Tb}^{3+}$



RÉFÉRENCES

- 1 D. SAMARAS, A. COLLOMB, J.C. JOUBERT J. Solid State Chem., 7, 337 (1973)
- 2 S.N. RUDDLESDEN, P. POPPER Acta Cryst., 11, 54 (1958)
- 3 K. LUKASZEWICZ Rocz. Chem., 33, 239 (1959)
- 4 L.H. THOMAS, K. UMEDA
 J. Chem. Phys., <u>26</u>, 293 (1957)
- 5 M.J. COOPER Acta Cryst., 16, 1067 (1963)
- 6 D.T. CROMER Acta Cryst., <u>18</u>, 17 (1965)
- 7 C. BRISI, P. ROLLANDO Lincei-Rend. Sc. Fis. Mat. Nat., <u>L</u>, 33 (1971)
- 8 D. SAMARAS
 Thèse 3e cycle, Grenoble (1972)
- 9 G. BASSI J. Appl. Cryst., <u>6</u>, 280 (1973)
- 10 P. BECKER, P. COPPENS Acta Cryst., <u>A 30</u>, 129 (1974)
- 11 P.A. DOYLE, P.S. TURNER Acta Cryst., <u>A 24</u>, 390 (1968)

- 12 D.T. CROMER, D. LIBERMAN
 J. Chem. Phys., 53, 1891 (1970)
- 13 P.K. GALLAGHER, C.R. KURKJIAN Inorg. Chem., <u>5</u>, 214 (1966)
- 14 H.G. von SCHNERING, P. BLECKMANN Naturwiss., <u>55</u>, 342 (1968)
- 15 S. ANDERSON, J. GALY Acta Cryst., <u>25</u>, 847 (1969)
- 16 J.K. BRANDON, H.D. MEGAW Phylos. Mag., <u>21</u>, 189 (1970)
 - 17 R.D. SHANNON, C.T. PREWITT
 Acta Cryst., B 25, 925 (1969)
 - 18 V. ADELSKJOLD

 Ark. Kemi Min. Geol., <u>12 A</u>, N° 29, 1 (1938)
 - 19 M. PEREZ Y JORBA, G. TILLOCA, R. COLLONGUES C.R. Acad. Sci., <u>260</u>, 170 (1965)
 - 20 P. APPENDIDO, G. RAMONDA Ann. Chim. (Roma), 61, 61 (1971)
- 21 P. APPENDIDO, G. RAMONDA Ann. Chim. (Roma), <u>61</u>, 54 (1971)
- 22 C. BRISI, P. ROLANDO Ric. Sci., 36, 48 (1965)
- 23 J.C. COUSSEINS

 Rev. Chim. Min., 1, 573 (1964)
- 24 R. DE PAPE Bull. Soc. Chim. fr., N° <u>12</u>, 3489 (1965)

- 25 J.A. KAFALAS, J.M. LONGO J. Solid State Chem., <u>4</u>, 55 (1972)
- 26 C. BRISI Ann. Chim. (Roma), <u>51</u>, 1399 (1961)
- 27 J.B. MacCHESNEY, J.F. POTTER, R.C. SHERWOOD, H.J. WILLIAMS J. Chem. Phys., <u>43</u>, 1907 (1965)
- 29 J. FAVA, G. LE FLEM
 Mat. Res. Bull., <u>10</u>, 75 (1975)
- 30 J.C. JOUBERT, M.N. DESCHIZEAUX (à paraître)
- 31 P. COPPENS, M. EIBSCHÜTZ Acta Cryst., <u>19</u>, 524 (1965)
- 32 M. MAREZIO, J.P. REMEIKA, P.D. DERNIER Acta Cryst., <u>B 26</u>, 2008 (1970)
- 33 M. MAREZIO, P. DERNIER

 Mat. Res. Bull., <u>6</u>, 23 (1971)
- 34 S. GELLER Acta Cryst., 10, 243 (1957)
- 35 S. QUEZEL-AMBRUNAZ, M. MARESCHAL Bull. Soc. fr. Minéral. Cristallogr., <u>86</u>, 204 (1963)
- 36 B. RENTER
 Bull. Soc. Chim. France, 1053 (1965)
- 37 R. CHAZALON, E.F. BERTAUT, D. TRAN QUI Bull. Soc. fr. Minéral. Cristallogr., <u>87</u>, 98 (1964)
- 38 M. GUILLEN, E.F. BERTAUT

 C.R. Acad. Sci. Paris, <u>262</u>, 962 (1966)
- 39 W.G. MUMME, A.D. WADSLEY
 Acta Cryst., <u>B 24</u>, 1327 (1968)



CHAPITRE III

ÉTUDE DES PROPRIÉTÉS MAGNÉTIQUES

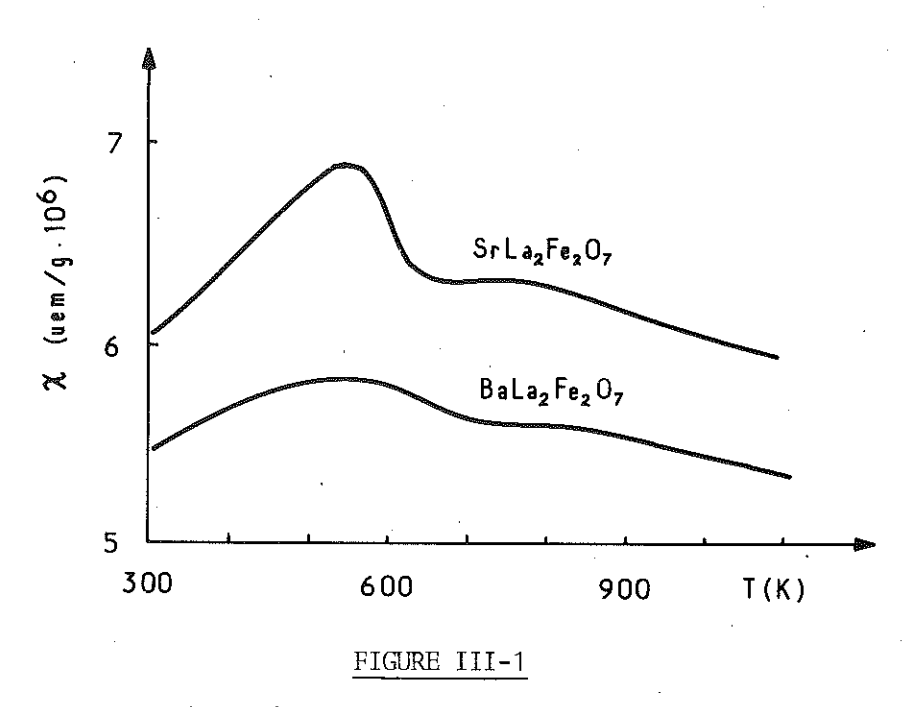
I - MESURES DE SUSCEPTIBILITÉ (1)

Les susceptibilités magnétiques ont été mesurées sur des balances de translation ou sur magnétomètre à échantillon vibrant entre la température de l'hélium liquide et 1200 K dans des champs de 5 et 10 KOe. Les mesures ont été corrigées du diamagnétisme.

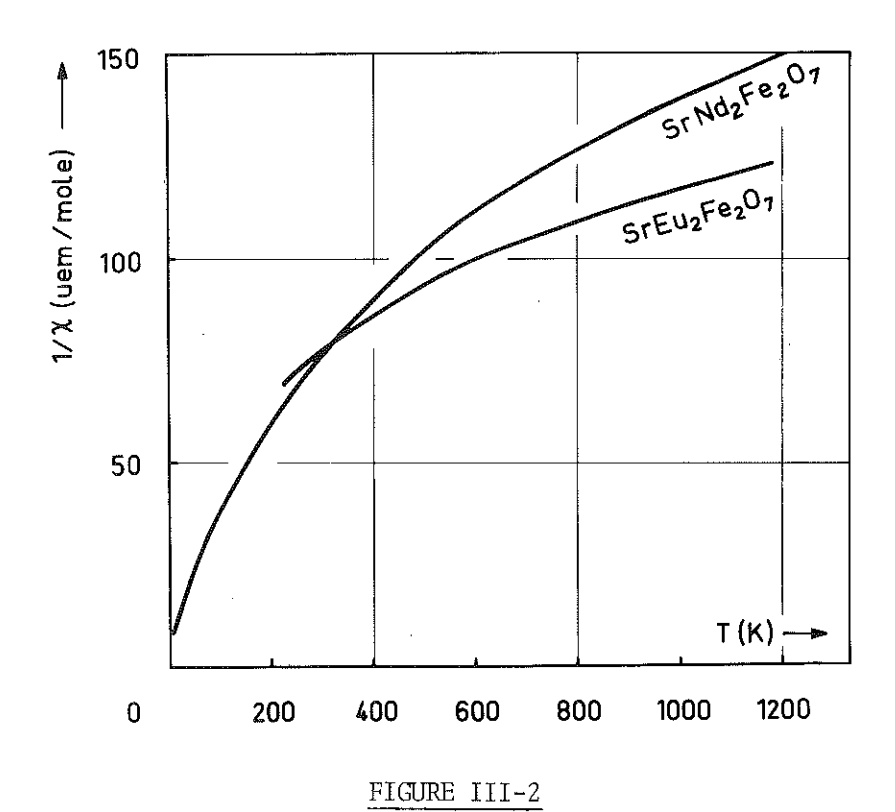
Quelques courbes de susceptibilité en fonction de la température sont montrées sur les figures III-1 à III-4.

Pour les composés contenant du lanthane, on observe un maximum de susceptibilité, caractéristique d'un ordre antiferromagnétique aux températures de 540 et 545 K respectivement pour ${\rm SrLa_2Fe_2O_7}$ et ${\rm BaLa_2Fe_2O_7}$. Dans la région paramagnétique, nous n'avons pas observé une loi de Curie-Weiss : un incident se produit aux environs de 650 K dont la cause pourrait être une impureté ou une oxydation partielle du composé (ces composés ont été préparés sous courant d'argon).

Pour les composés contenant une terre rare magnétique, les courbes $1/\chi(T)$ présentent en général un point anguleux, plus ou moins accentué à la température T_N . Cette température a été déterminée comme le point d'inflexion de la courbe de variation de la constante de Curie en fonction de la température (figure III-5). Les valeurs de T_N ainsi déterminées peuvent, dans certains cas, être assez imprécises.



Susceptibilité magnétique des composés SrLa₂Fe₂O₇ et BaLa₂Fe₂O₇ en fonction de la température



Inverse de la susceptibilité molaire en fonction de la température pour les composés SrNd₂Fe₂O₇ et SrEu₂Fe₂O₇

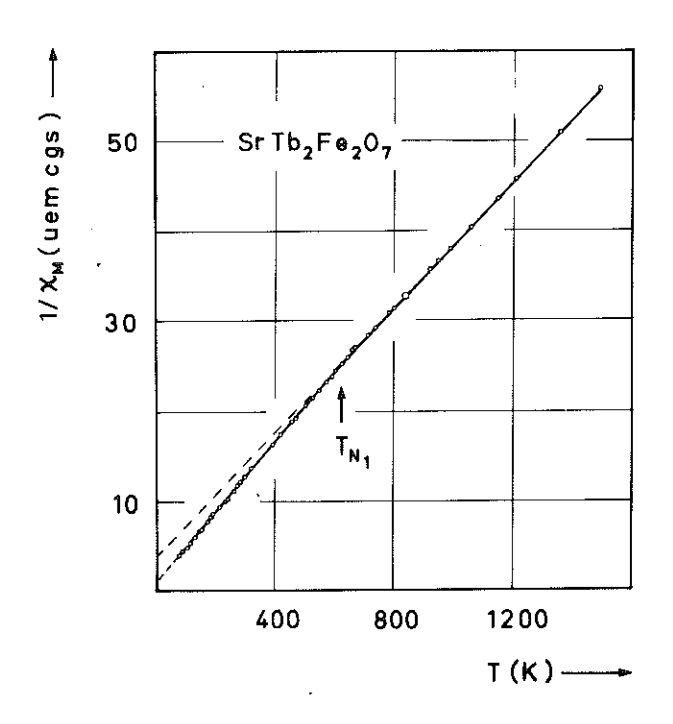


FIGURE III-3

Inverse de la susceptibilité molaire de SrTb₂Fe₂O₇ en fonction de la température

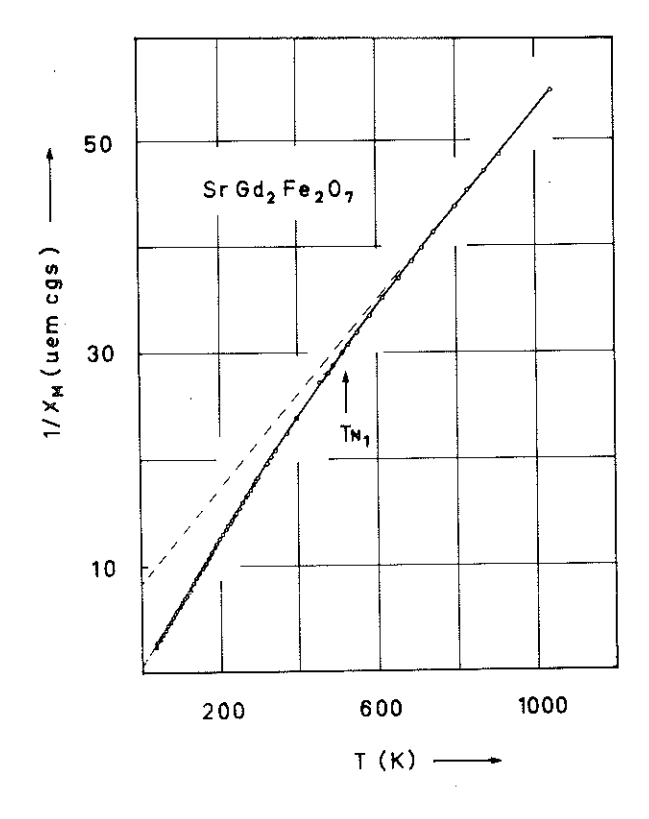
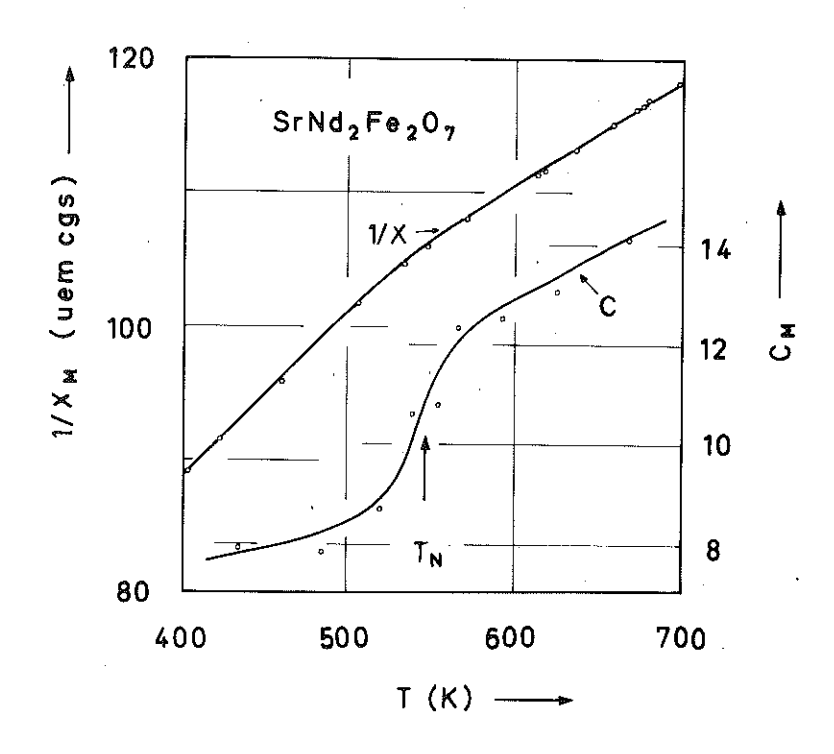


FIGURE III-4

Inverse de la susceptibilité molaire de SrGd₂Fe₂O₇ en fonction de la température



 $\frac{\text{FIGURE III-5}}{\text{Variation thermique de 1'inverse de susceptibilité}}$ et de la constante de Curie au voisinage de T_{N}

Au-dessus de la température de Néel, $1/\chi(T)$ est une droite pour Tb, une courbe très légèrement incurvée pour Gd et Pr, et une courbe à forte courbure pour Nd, Sm et Eu.

Pour les terres rares, Nd, Sm, Eu, 1a courbure de $1/\chi(T)$ dans 1e domaine paramagnétique peut s'expliquer par le paramagnétisme de Van Vleck provenant des termes supérieurs au terme de Hund (pour 1'ion 1ibre Eu³⁺, 1'écart énergétique entre le terme fondamental et le premier excité est de 320 K), ce qui se traduit par une variation thermique de 1a constante de Curie. La courbure très prononcée sur ${\rm SrEu}_2{\rm Fe}_2{\rm O}_7$ ne nous a pas permis de déterminer une constante de Curie. Pour Nd, Sm, nous avons pu déterminer graphiquement 1a constante de Curie dans 1'intervale des températures 600-700 K où $1/\chi(T)$ n'est pas très incurvée. Toutefois, 1a valeur de 1a constante de Curie ainsi déterminée est simplement indicative.

L'incurvation de $1/\chi(T)$ pour le composé ${\rm SrGd}_2{\rm Fe}_2{\rm O}_7$ est due aux lois du paramagnétisme des substances à deux ions. On démontre que dans ce cas, la susceptibilité paramagnétique suit une loi hyperbolique :

$$\frac{1}{\chi} = \frac{1}{\chi_0} + \frac{T}{C} - \frac{a}{T - \Theta} \tag{III-1}$$

Pour les valeurs de T suffisamment grandes, $\frac{1}{\chi}$ tend vers une droite. Sur notre courbe expérimentale $1/\chi(T)$, pour des températures d'environ 1000 K, cette droite n'est pas atteinte. Nous avons déterminé la constante de Curie en recherchant la coîncidence des valeurs expérimentales avec l'équation (III-1) selon une méthode graphique décrite ailleurs (2)(3). La coîncidence a été recherchée pour les T > 650 K où les valeurs de susceptibilité ne sont pas contaminées par l'ordre à courte distance. La constante de Curie ainsi déterminée est en très bon accord avec la valeur théorique calculée (tableau III-1).

TABLEAU	III-1

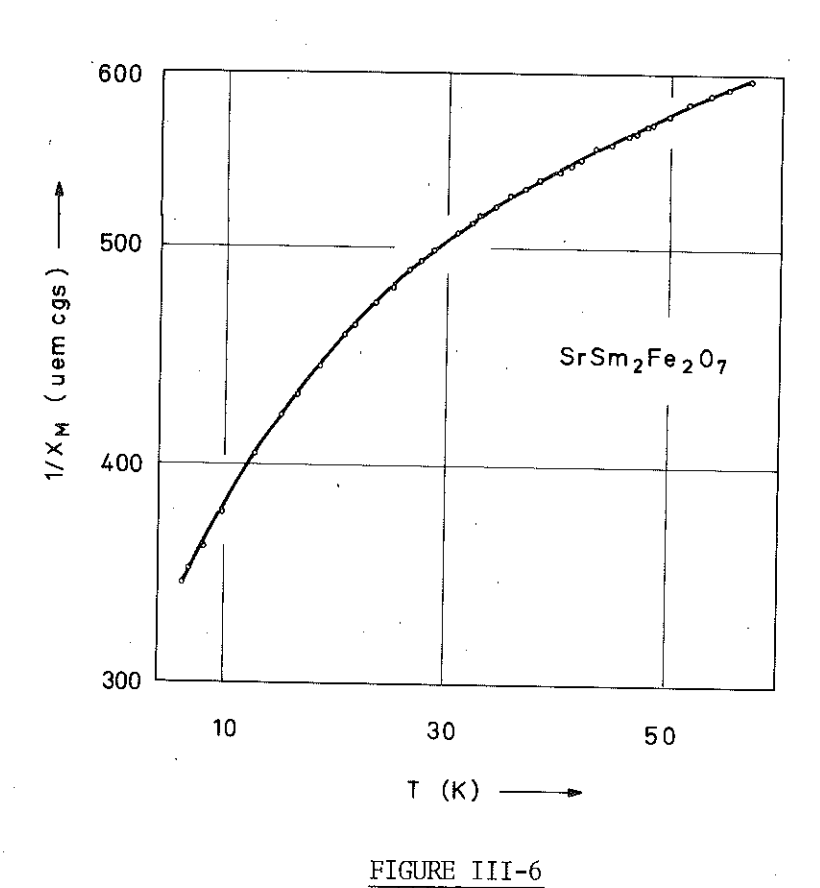
Composé	т ^b _{N1} (к)	_{p₁} (K)	C ₁ (uem/mole)	^Ө р2 (К)	C ₂ (uem/mole)	т _{N2} (К)
$\begin{array}{c} \operatorname{BaLa_2Fe_2O_7} \\ \operatorname{SrLa_2Fe_2O_7} \\ \operatorname{SrPr_2Fe_2O_7} \\ \operatorname{SrNd_2Fe_2O_7} \\ \operatorname{SrSm_2Fe_2O_7} \\ \operatorname{SrEu_2Fe_2O_7} \\ \operatorname{SrEu_2Fe_2O_7} \\ \operatorname{SrTb_2Fe_2O_7} \\ \operatorname{SrTb_2Fe_2O_7} \end{array}$	545 540 545 545 540 ∿540 ∿550 628	- -120 - - -130 -112	- 11,21(11,64 ^a) 12,00(12,30) 10,0 (10,92) - 24,05(24,52) 29,75(31,00)	- - 28 - - - - 15 - 13	$ \begin{array}{cccccccccccccccccccccccccccccccccccc$	- - . 14 - - 17

a) les nombres entre parenthèses des colonnes C_1 et C_2 sont les constantes de Curie théoriques calculées pour un ion Fe^{3+} en $^6\mathrm{S}_{5/2}$ et un ion Im^{3+} libre. b) $\mathrm{T}_{\mathrm{N}_1}$ et $\mathrm{T}_{\mathrm{N}_2}$ sont les températures d'ordre des sous-réseaux Fe^{3+} et Ln^{3+}

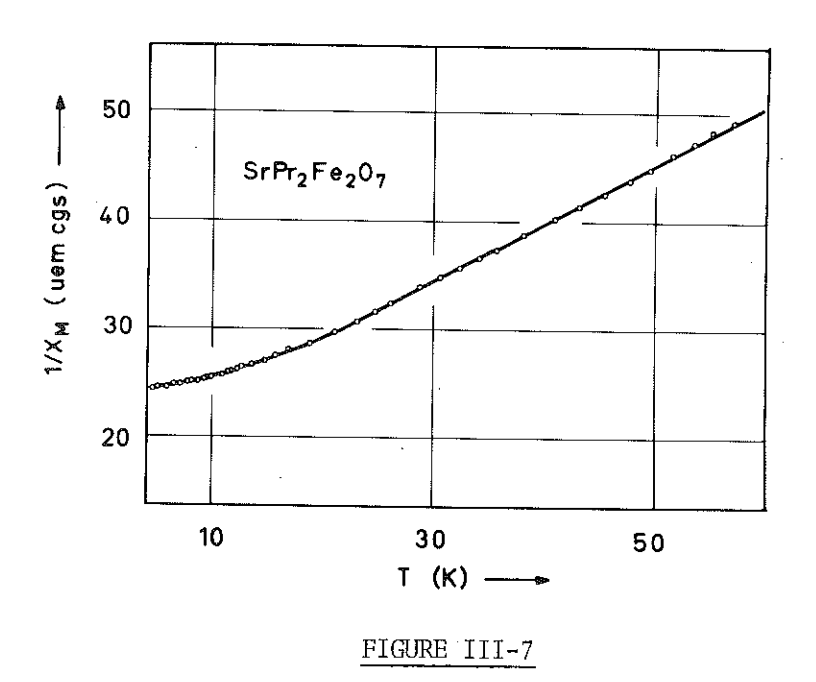
Cette constante est sensiblement égale à la somme des constantes de Curie du fer et de la terre rare.

Au-dessous de la température T_N , la courbe $1/\chi(T)$ est incurvée vers l'axe des T pour Nd, Sm, Eu (figure III-6) (à cause du paramagnétisme de Van Vleck). Elle est une droite pour Pr, Gd, Tb (figure III-7) dont la pente est comparable à celle correspondant à la constante de Curie de l'ion Ln³⁺.

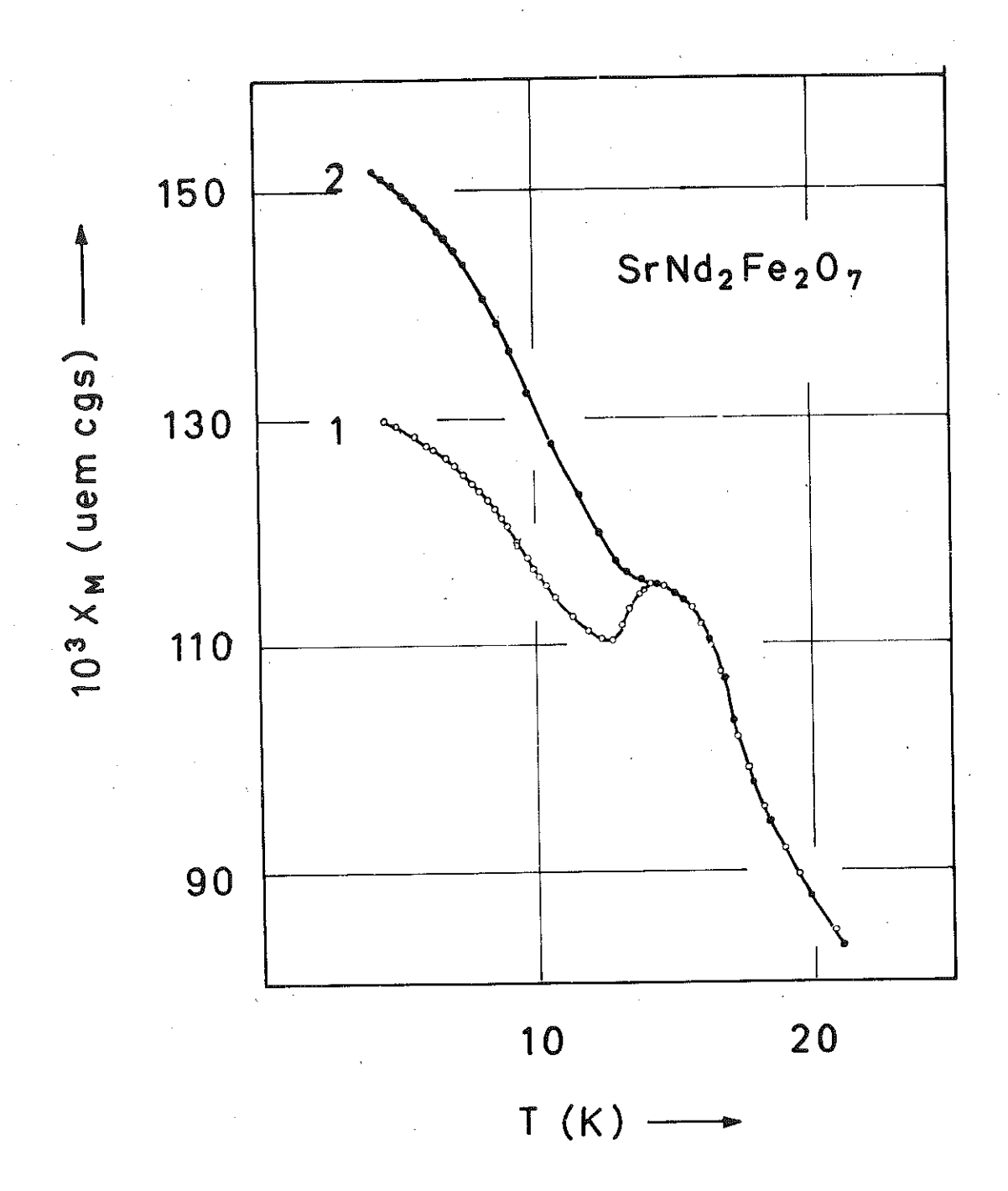
respectivement.



Inverse de la susceptibilité molaire de $SrSm_2Fe_2O_7$ en fonction de la température



Inverse de la susceptibilité molaire de SrPr₂Fe₂O₇ en fonction de la température



 $\frac{\text{FIGURE III-8}}{\text{Susceptibilité de SrNd}_2\text{Fe}_2\text{O}_7} \text{ en fonction de 1a température sous champ de 10 KOe}$

- 1. Première montée en température
- 2. Echantillon refroidi sous champ de 10 KOe depuis 21 K $\,$

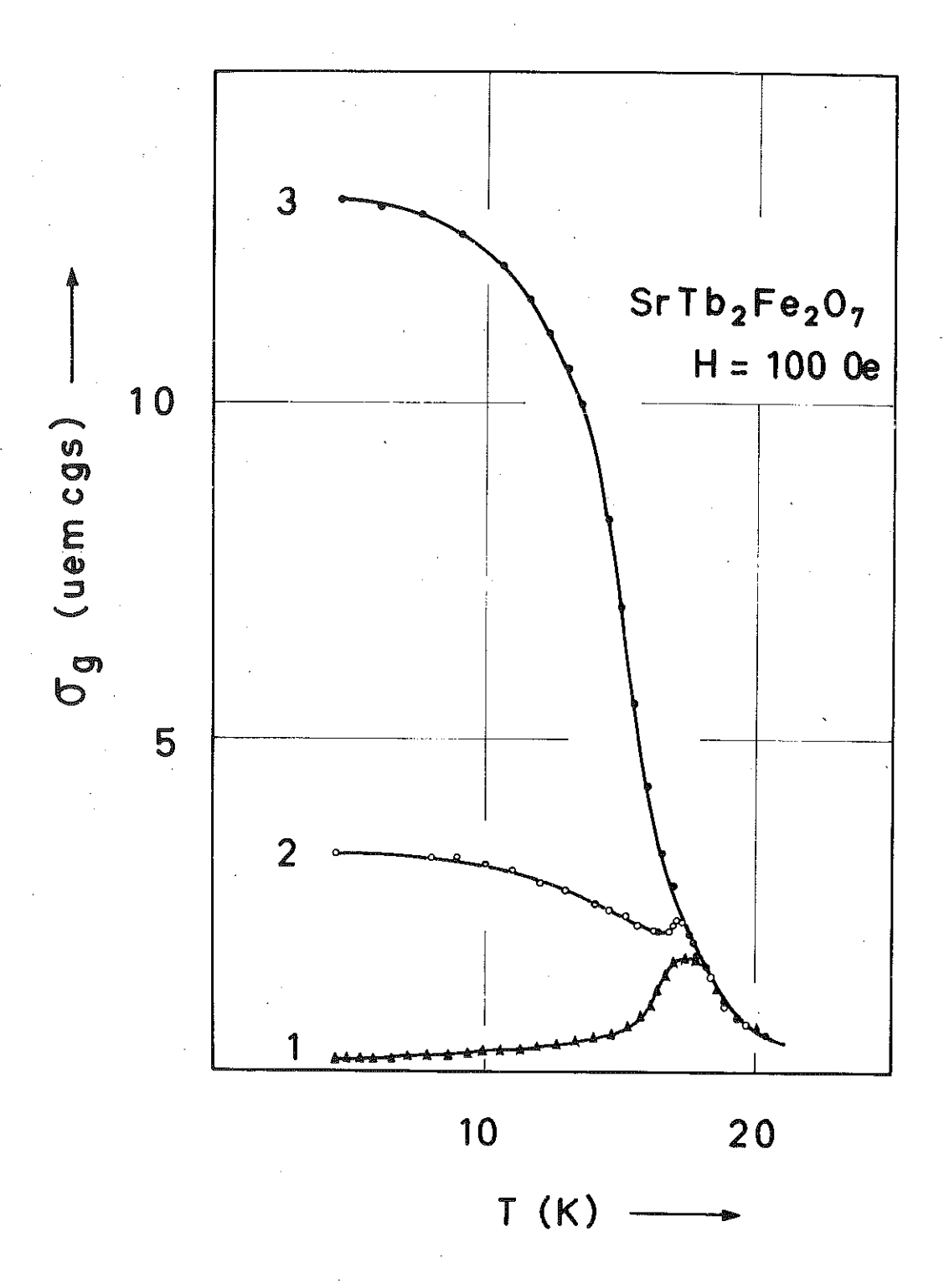


FIGURE III-9

Aimantation de SrTb₂Fe₂O₇ sous champ de 100 Oe

- 1. Echantillon refroidi en absence de champ
- 2. Echantillon refroidi sous champ de 1 KOe depuis 21 K
- 3. Echantillon aimanté auparavant sous 20 KOe à 4,2 K

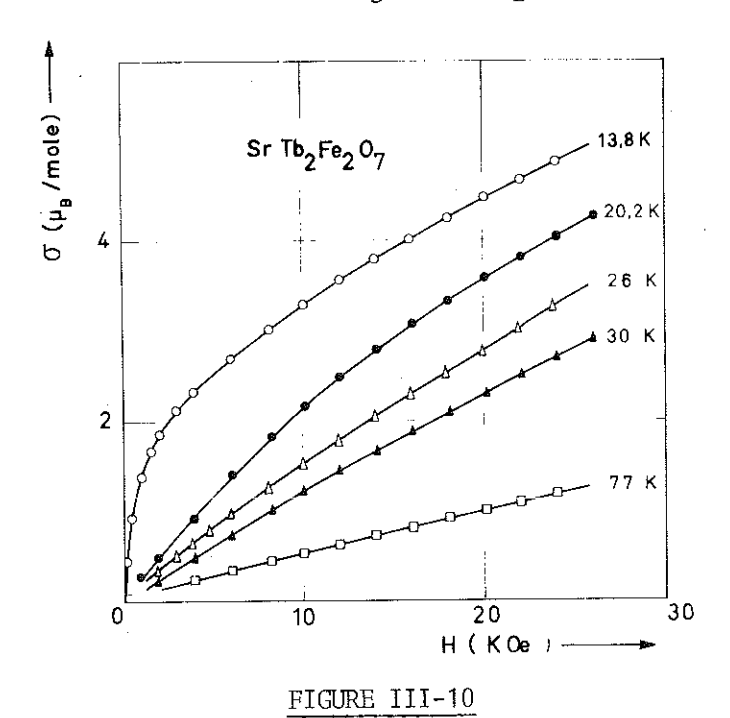
L'ion In³⁺ a un comportement paramagnétique jusqu'à des températures d'environ 30 K. Au voisinage de cette température, nous observons l'apparition d'un moment ferromagnétique, faible pour Nd, fort pour Tb, présentant des phénomènes de thermorémanence, indiquant ainsi une forte anisotropie de l'ion terre rare (figures III-8 et III-9).

Pour les composés avec Pr, Sm, Eu, Gd, aucun incident indiquant un ordre de la terre rare n'a été observé à basse température jusqu'à 4,2 K (figures III-6, III-7).

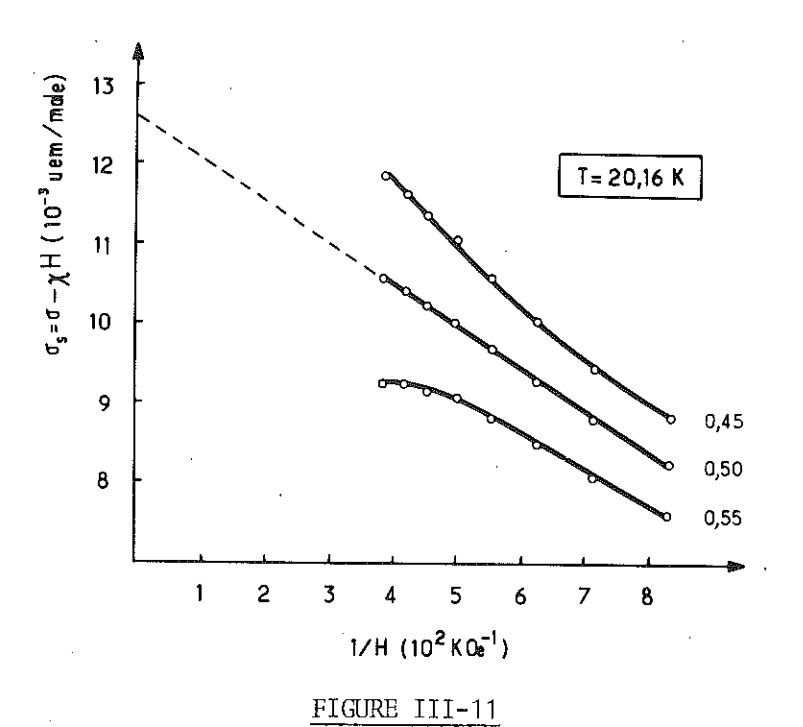
II - MESURES D'AIMANTATION SUR SRTB2FE207 (4)

Aux basses températures, entre 4,2 et 77 K,les aimantations ont été mesurées en fonction du champ au moyen d'une méthode balistique, en appliquant des champs jusqu'à 26 KOe.

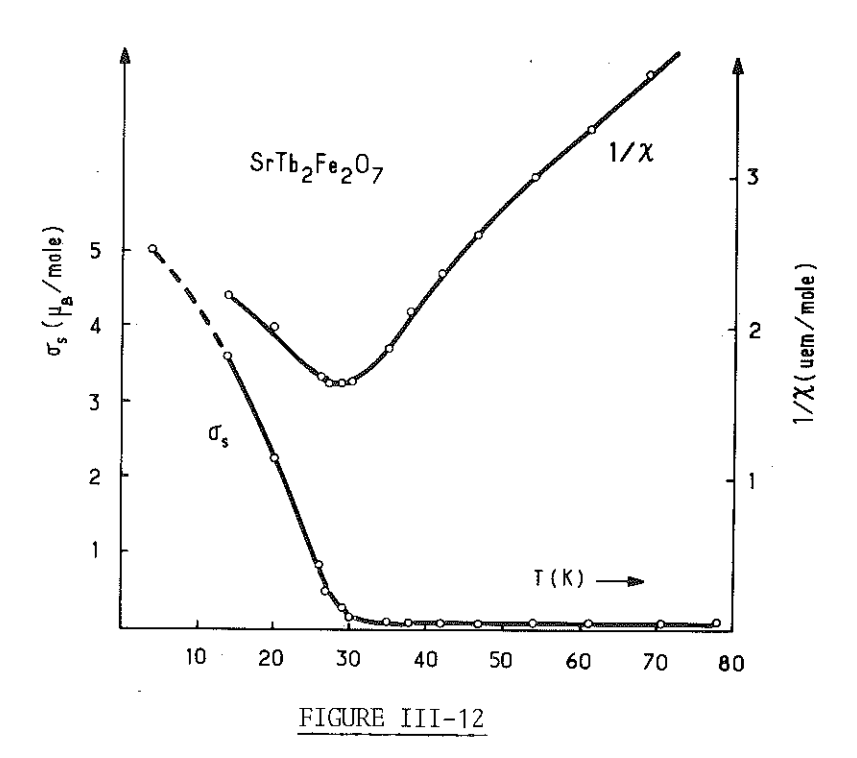
L'aimantation se décompose en un terme ferromagnétique d'aimantation spontanée σ_S et un terme linéaire avec le champ XH (figure III-10). Entre 77 et 30 K, l'aimantation spontanée ne dépasse pas $10^{-2}~\mu_B/\text{mole}$; au-dessous de 30 K, elle atteint des valeurs importantes (σ_S = 2,25 μ_B/mole à T = 20,16 K).



Aimantation de SrTb₂Fe₂O₇ en fonction du champ appliqué pour différentes températures



Détermination graphique de l'aimantation spontanée et de la susceptibilité de SrTb₂Fe₂O₇



Aimantation spontanée et inverse de la susceptibilité en fonction de la température. La valeur de σ_s à 4,2 K est celle déterminée par affinement de la structure magnétique.

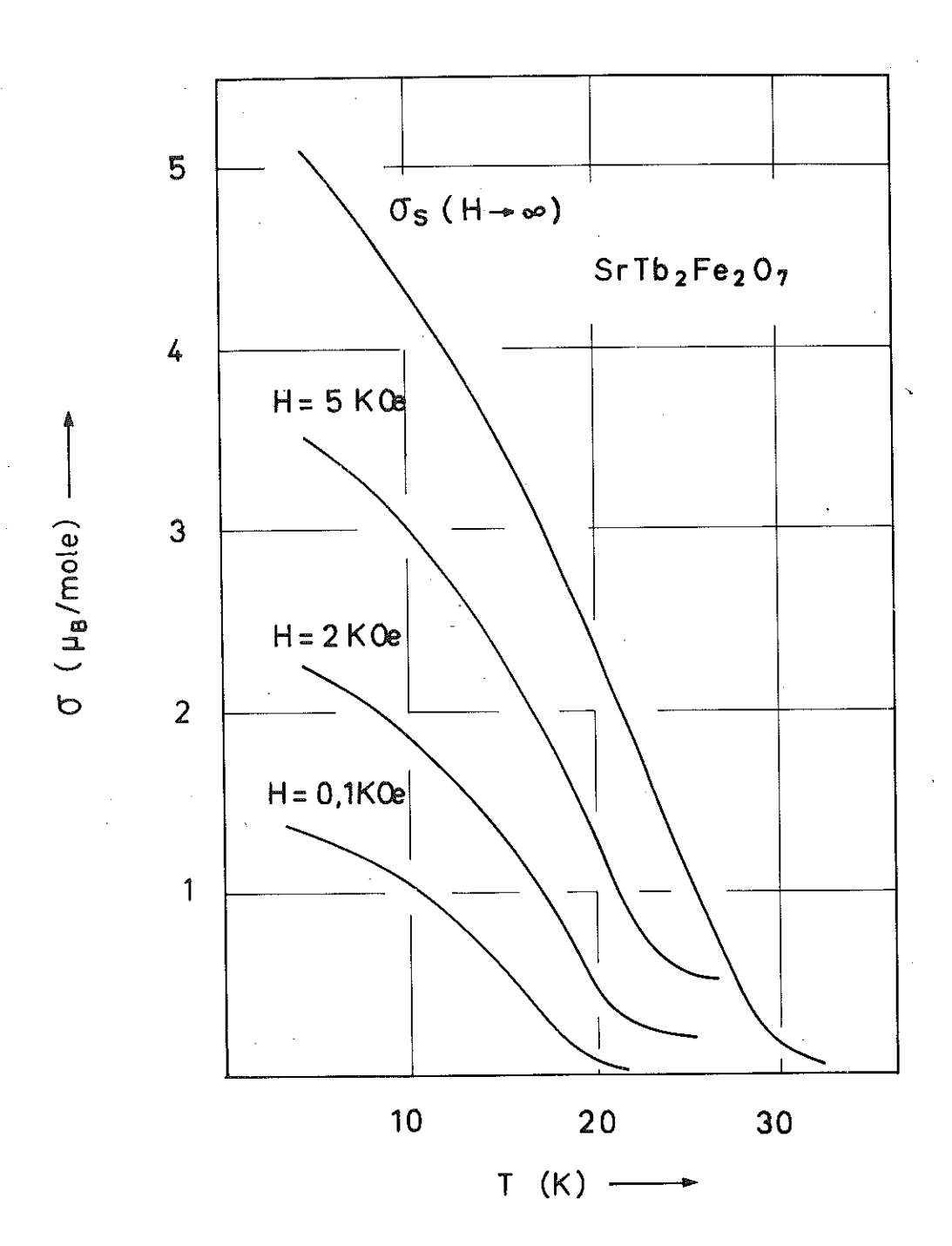


FIGURE III-13

Aimantation de SrTb₂Fe₂O₇ en fonction de la température pour différents champs de mesure

Nous avons déterminé à partir des courbes $\sigma(H)$ les quantités σ_S et χ jusqu'aux températures de l'ordre de 25 K, la saturation étant atteinte pour les champs utilisés. La saturation est atteinte pour des valeurs du champ d'autant plus élevées que la température est plus basse. Ce comportement est caractéristique d'une forte anisotropie magnétocristalline aux basses températures.

Au-dessous de 25 K, la saturation n'est pas atteinte pour les champs utilisés. Pour déterminer σ_S et χ nous avons supposé une approche de la saturation de σ_S linéaire en fonction de 1/H et nous avons recherché simultanément les valeurs de σ_S et χ par une méthode graphique. Parmi les différentes courbes σ_S = σ - χH en fonction de 1/H, avec χ comme paramètre, nous avons choisi celle correspondant à une droite et adopté pour σ_S la valeur de l'ordonnée à l'origine de la droite extrapolée (figure III-11). Les valeurs de χ et σ_S sont obtenues avec une précision de l'ordre de 10 % jusqu'à la température de 13,8 K. Sur la figure III-12, sont représentées en fonction de la température les variations de σ_S et 1/ χ . Nous remarquons une rapide augmentation de σ_S à partir de 30 K. A la même température, la courbe de l'inverse de susceptibilité présente un minimum caractéristique ; un comportement antiferromagnétique du sous-réseau Tb $^{3+}$ commence à se manifester à partir de cette température.

La température d'ordre T_{N_2} de la terre rare dépend du champ appliqué pour la mesure. Nous rapportons sur la figure III-13 les courbes $\sigma(T)$ pour différents champs. Nous avons représenté sur la même figure la courbe de $\sigma_S(T)$.

III - DISCUSSION

L'interprétation de ces résultats est classique.

L'ordre du sous-réseau du fer, dont la température est presque indépendante de la terre rare, provient des interactions d'échange entre ions ${\rm Fe}^{3+}$.

Les structures cristallines des trois séries de composés ${\rm LnFeO}_3$, ${\rm SrLnFeO}_4$ et ${\rm SrLn}_2{\rm Fe}_2{\rm O}_7$ sont étroitement liées. Elles contiennent toutes des réseaux d'octaèdres ${\rm FeO}_6$ réunis par leurs sommets. Chaque ion ${\rm Fe}^{3+}$ est ainsi couplé à 6, 5 ou 4 ions de même nature dans ${\rm LnFeO}_3$, ${\rm SrLn}_2{\rm Fe}_2{\rm O}_7$ et ${\rm SrLnFeO}_4$ respectivement.

Les températures de Néel moyennes dans ces trois séries (\sim 650 K pour LnFeO $_3$, \sim 550 K pour SrLn $_2$ Fe $_2$ O $_7$ et \sim 450 K pour SrLnFeO $_4$) sont proportionnelles

au nombre de premiers voisins Fe³⁺. Ceci traduit le rôle prépondérant de l'échange isotrope entre ions Fe³⁺. Cet échange, comme on doit s'y attendre, est toujours négatif : tous ces composés sont des antiferromagnétiques.

En ce qui concerne les composés de la série SrInFeO₄, la température d'ordre de 450 K correspond à l'ordre à 2 dimensions ⁽⁵⁾. Bien que la structure des composés SrIn₂Fe₂O₇ soit constituée aussi par des couches d'octaèdres séparées par des couches InO, nous n'avons en aucun cas observé des phénomènes laissant supposer l'existence d'un ordre bidimensionnel.

Les deux sous-réseaux sont très faiblement couplés à haute température. A basse température, dans certains cas (Nd, Tb), le couplage des deux sous-réseaux devient fort. L'ordre de la terre rare provient de ce couplage et non pas des interactions à l'intérieur du sous-réseau de la terre rare; en effet l'ordre de ce sous-réseau dépend du champ appliqué.



RÉFÉRENCES

- 1 D. SAMARAS, A. COLLOMB, J.C. JOUBERT Mat. Res. Bull., 9, 639 (1974)
- 2 L. NEEL Ann. Phys., <u>3</u>, 137 (1948)
- 3 R. ALEONARD Thèse, Grenoble (1958)
- 4 D. SAMARAS, A. COLLOMB, J.C. JOUBERT, E.F. BERTAUT J. Solid State Chem., <u>12</u>, 127 (1975)
- 5 G. OLLIVIER
 Thèse, Grenoble (1974)



CHAPITRE IV

STRUCTURES MAGNÉTIQUES

I - GÉNÉRALITÉS

Les études ont été faites sur le réacteur SILOE du C.E.N.-G., sur des échantillons polycristallins ; la longueur d'onde du faisceau de neutrons utilisé a été de 1,14 Å ou de 2,23 Å.

Dans la diffraction cohérente des neutrons, il existe deux processus élémentaires : une diffraction nucléaire, due à l'interaction noyau-neutron, et une diffraction magnétique, due à l'interaction du moment de spin du neutron et du moment magnétique électronique de l'atome. Dans l'état magnétiquement ordonné, une diffraction purement magnétique se superpose donc à la diffraction nucléaire. L'intensité globale observée pour un plan (hkl), au-dessous de la température d'ordre, affranchie des différentes corrections, s'écrit : $I = I_N + I_M$, avec :

$$\begin{split} \mathbf{I}_{\mathbf{N}} &= \mathbf{p} \; \left| \mathbf{F}_{\mathbf{N}} \right|^2 \quad \text{où} \quad \mathbf{F}_{\mathbf{N}} = \sum\limits_{\mathbf{j}} \; \mathbf{b}_{\mathbf{j}} \; \exp \; \left\{ 2 \boldsymbol{\Pi} \; i \vec{\mathbf{H}} . \vec{\mathbf{r}}_{\mathbf{j}} \right\} \\ &= \mathbf{I}_{\mathbf{M}} = \mathbf{p} \; \left\{ \vec{\mathbf{F}}_{\mathbf{M}} . \vec{\mathbf{F}}_{\mathbf{M}}^* - \mathbf{d}^2 \; \left(\mathbf{h} \mathbf{k} \mathbf{1} \right) \left(\vec{\mathbf{F}}_{\mathbf{M}} . \vec{\mathbf{H}} \right) \left(\vec{\mathbf{F}}_{\mathbf{M}}^* . \vec{\mathbf{H}} \right) \right\} \\ &= \mathbf{où} \; \vec{\mathbf{F}}_{\mathbf{M}} = 0,27 \; \mathbf{x} \; \mathbf{10}^{-12} \; \sum\limits_{\mathbf{j}} \; \vec{\mathbf{S}}_{\mathbf{j}} \; \mathbf{f}_{\mathbf{j}} \; \exp \; \left\{ 2 \boldsymbol{\Pi} \; i \vec{\mathbf{H}} . \vec{\mathbf{r}}_{\mathbf{j}} \right\} \end{split}$$

 b_j , f_j , \dot{S}_j représentent respectivement la longueur de Fermi, le facteur de forme magnétique, et le moment magnétique (exprimé en magnétons de Bohr) de l'atome j.

 \vec{H} est le vecteur de diffusion du plan (hkl) : $\vec{H} = h\vec{a}^* + k\vec{b}^* + l\vec{c}^*$.

 \vec{a}^* , \vec{b}^* , \vec{c}^* sont les paramètres du réseau réciproque, d(hkl) la distance réticulaire des plans (hkl).

II - PRINCIPE DE LA THÉORIE MACROSCOPIQUE (1)(2)

Dans les cristaux ioniques, l'hamiltonien d'interaction ${\mathcal H}$ entre spins s'écrit (en se limitant aux termes du deuxième degré) :

$$\mathcal{H} = -2 \sum_{\alpha, \beta, R, R'} A_{\alpha\beta} (R, R') \cdot S_{\alpha} (R) \cdot S_{\beta} (R')$$

$$(\alpha, \beta = x, y, z)$$

où S_{α} (R) est la composante α d'un spin localisé en R et $A_{\alpha\beta}$ (R, R') un tenseur d'ordre 2.

La théorie macroscopique de l'ordre magnétique utilise, dans le cas où les mailles magnétique et chimique sont identiques, la propriété d'invariance de l'hamiltonien \mathcal{H} , sous les opérations de symétrie du groupe d'espace G. Par conséquent, les combinaisons linéaires des spins, susceptibles de représenter la configuration observée, doivent se transformer selon une représentation irréductible du groupe G; ou encore, les combinaisons linéaires des spins sont les vecteurs de base des représentations irréductibles du groupe G. L'hamiltonien \mathcal{H} est alors une fonction quadratique de ces vecteurs de base, et les invariants d'ordre 2 de \mathcal{H} sont obtenus en formant les produits scalaires des vecteurs de base d'une même représentation.

Dans le cas où les mailles magnétique et chimique ne sont pas identiques (le vecteur de propagation \vec{k} de la structure n'est pas nul, mais à l'intérieur ou à la surface de la première zone de Brillouin), une généralisation de cette méthode montre que le groupe à considérer n'est plus le groupe cristallographique G mais le groupe G_k associé au vecteur de propagation \vec{k} . Ce dernier est obtenu à partir du groupe ponctuel G_{ok} , constitué par l'ensemble des éléments de symétrie ponctuelle du groupe d'espace G_k , qui conservent le vecteur \vec{k} à un vecteur entier du réseau réciproque près. G_k est obtenu en complétant les rotations pures $(\alpha | \, 000)$ de G_{ko} par leurs parties translatives τ_{α} , $(\alpha | \tau_{\alpha})$ étant dans G.

III - STRUCTURES MAGNÉTIQUES DE SRTB2FE207

Trois diagrammes de diffraction neutronique ont été utilisés, aux températures de 700, 300 et 4,2 K. Le diagramme à 700 K, dans la région paramagnétique, ne contient que les raies nucléaires. Les raies magnétiques présentes

dans les deux autres diagrammes ont été indexées dans une maille magnétique identique à la maille cristallographique.

Les ions ${\rm Fe}^{3+}$, ${\rm Tb}^{3+}$ en position 8j du groupe sont numérotés de 1 à 8 dans 1'ordre suivant :

(1)
$$x$$
 x z ; (2) \bar{x} \bar{x} z (3) $\frac{1}{2} + x$, $\frac{1}{2} - x$, $\frac{1}{2} + z$; (4) $\frac{1}{2} - x$, $\frac{1}{2} + x$, $\frac{1}{2} + z$ (5) x x \bar{z} ; (6) \bar{x} \bar{x} \bar{z} (7) $\frac{1}{2} + x$, $\frac{1}{2} - x$, $\frac{1}{2} - z$; (8) $\frac{1}{2} - x$, $\frac{1}{2} + x$, $\frac{1}{2} - z$

Nous avons choisi la numérotation des atomes de façon à pouvoir utiliser pour les vecteurs de base appartenant à chaque représentation (tableau IV-1) une notation proche de celle déjà décrite (F, G, C, A ⁽¹⁾) dans le cas de structures à quatre atomes magnétiques par site (cf. tableau IV-2).

Dans les représentations bidimensionnelles du tableau IV-1, les vecteurs sont équivalents par paires, une paire équivalente étant obtenue par permutation des axes x et y.

Pour la position 8j, la partie géométrique du facteur de structure magnétique s'écrit dans l'approximation $x(Fe) \simeq x(Tb) \simeq \frac{1}{4}$,

$$\vec{F}_{M} = [(\vec{S}_{1} + \vec{S}_{5}) \alpha + i \beta (\vec{S}_{1} - \vec{S}_{5})] \exp \{ 2\pi i (h + k) x \}$$

$$+ [(\vec{S}_{2} + \vec{S}_{6}) \alpha + i \beta (\vec{S}_{2} - \vec{S}_{6})] \exp \{ -2\pi i (h + k) x \}$$

$$+ (-1)^{h+k+1} [(\vec{S}_{3} + \vec{S}_{7}) \alpha + i \beta (\vec{S}_{3} - \vec{S}_{7})] \exp \{ -2\pi i (h - k) x \}$$

$$+ (-1)^{h+k+1} [(\vec{S}_{4} + \vec{S}_{8}) \alpha + i \beta (\vec{S}_{4} + \vec{S}_{8})] \exp \{ -2\pi i (h - k) x \}$$

avec $\alpha = \cos 2\pi 1z$ et $\beta = \sin 2\pi 1z$.

L'expression du facteur de structure magnétique est ainsi directement liée aux modes. Il y a une correspondance entre les réflexions magnétiques et les modes, illustrée par le tableau IV-3.

TABLEAU IV-1

Matrices Représentatives des Générateurs du Groupe $P4_2|mnm$ et Vecteurs de Base de Chaque Représentation pour la position 8(j)

	21x	2_{xx}	2_z	· I		
A_{1g}	1	1	1	1	$A_x^ G_y^-$	
A_{2g}	I	Ī	1	1	$G_{x}^{-}+A_{y}^{-}$	F_z +
B_{1g}	1	1 .	1	1	$A_x^- + G_y^-$	C_z^+
B_{2g}	Ī	1	1	1	$G_x^ A_y^-$	—
A_{1u}	1	1	1	ī	$G_{x}^{+}+A_{y}^{+}$	F_z^-
A_{2u}	1	ī	1	Ι.	$A_x^+ - G_y^+$	_
B_{1u}	1	1	1	ī	$G_x^+ - A_y^+$	_ ;
$B_{2\mu}$.	ī	1	1	ī	$A_x^+ + G_y^+$	C_x
E_{g}	$\begin{pmatrix} 1 \\ . \bar{1} \end{pmatrix}$	$\binom{\cdot 1}{1 \cdot \cdot}$	$\begin{pmatrix} 1 \\ 1 \end{pmatrix}$	$\binom{1}{1}$	$\begin{pmatrix} F_x^+ \\ F_y^+ \end{pmatrix} \begin{pmatrix} C_y^+ \\ C_x^+ \end{pmatrix}$	$\begin{pmatrix} G_z \\ A_z \end{pmatrix}$
E_u	$\binom{1}{\overline{1}}$	$\binom{\cdot 1}{1 \cdot \cdot}$	$\begin{pmatrix} I \\ . I \end{pmatrix}$	$\begin{pmatrix} I \\ I \end{pmatrix}$	$\begin{pmatrix} C_{x}^{-} \\ -C_{y}^{-} \end{pmatrix} \begin{pmatrix} -F_{y}^{-} \\ F_{x}^{-} \end{pmatrix}$	$\begin{pmatrix} A_z^+ \\ -G_z^+ \end{pmatrix}$

TABLEAU IV-2

CONFIGURATIONS MAGNÉTIQUES

$$\begin{aligned} \mathbf{F}^{\pm} &= (\mathbf{S}_1 + \mathbf{S}_2 + \mathbf{S}_3 + \mathbf{S}_4) \pm (\mathbf{S}_5 + \mathbf{S}_6 + \mathbf{S}_7 + \mathbf{S}_8) \\ \mathbf{G}^{\pm} &= (\mathbf{S}_1 - \mathbf{S}_2 + \mathbf{S}_3 - \mathbf{S}_4) \pm (\mathbf{S}_5 - \mathbf{S}_6 + \mathbf{S}_7 - \mathbf{S}_8) \\ \mathbf{C}^{\pm} &= (\mathbf{S}_1 + \mathbf{S}_2 - \mathbf{S}_3 - \mathbf{S}_4) \pm (\mathbf{S}_5 + \mathbf{S}_6 - \mathbf{S}_7 - \mathbf{S}_8) \\ \mathbf{A}^{\pm} &= (\mathbf{S}_1 - \mathbf{S}_2 - \mathbf{S}_3 + \mathbf{S}_4) \pm (\mathbf{S}_5 - \mathbf{S}_6 - \mathbf{S}_7 + \mathbf{S}_8) \end{aligned}$$

TABLEAU IV-3

Facteurs de Structure Magnétiques pour la Position 8(j) du Groupe $P4_2/mnm^a$

h k l	F+	F^{-}	G^+	G-	C^+	<i>C</i> -	A^+	A^{-}
0 0 2n	α	iβ				_		
$0\ 0\ 2n+1$					O.	$i\beta$		
1 0 2n				0			īα	— <i>β</i>
$1 \ 0 \ 2n + 1$			ια — i α	$-\beta$				
$2 \ 1 \ 2n$ $2 \ 1 \ 2n + 1$			ta	ρ			<i>— iα</i>	В

^a A titre d'exemple, le facteur de structure de la réflexion (0, 0, 2n) est $F_M(0, 0, 2n) = F^+\alpha + F^-i\beta$.

A - STRUCTURE MAGNÉTIQUE À 300 K

A la température ambiante, seuls les cations Fe^{3+} sont ordonnés. Les raies magnétiques appartiennent toutes à des modes du type A ou G. L'absence de la réflexion (105) exclut le mode G^{+} dont le coefficient α et maximum et nous oblige à retenir le mode G^{-} dont le coefficient α est nul. Une comparaison des intensités observées à celles calculées pour les modes $G_{X}^{-} \pm A_{y}^{-}$, $A_{X}^{-} \pm G_{y}^{-}$, A_{Z}^{-} , G_{Z}^{-} susceptibles d'exister permet de retenir comme seules configurations possibles les modes $(G_{X}^{-} \pm A_{y}^{-})$ qui, dans le cas de spins dirigés suivant la diagonale de base, fournissent les mêmes intensités calculées*. La figure IV-1 représente la structure dans le cas du mode $G_{X}^{-} + A_{y}^{-}$.

La valeur du moment de l'ion Fe $^{3+}$ est trouvée, après affinement, égale à 4 $\mu_{\rm B}$ avec un facteur de véracité R = 4 %. Le tableau IV-4 permet une comparaison entre intensités observées et calculées.

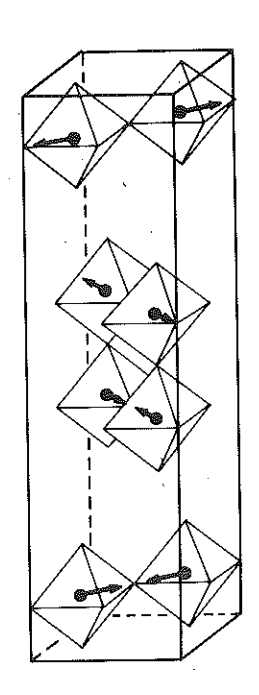


TABLEAU IV-4

Intensitiés Magnétiques Observées et Calculées de SrTb₂Fe₂O₇ à 295 K

h k l	$I_{ m obsd}$	$I_{ m calcd}$
100	0,0	0.0
101	4ª	5.3
102	170^{a}	185
103	69	73
104	64	68
105	~ 0	0.4
106	30ª	36
107	72	74
211	113	101
$213 \\ 108$	232	234

[&]quot; Intensité mal définie.

FIGURE IV-1 : Structure magnétique du fer dans $SrTb_2Fe_2O_7$ à la température ambiante ; mode $G_X^- + A_Y^-$

(phénomène observé dans BaLa₂Fe₂O₇ (chapitre V) et SrGd₂Fe₂O₇ (chapitre VI).

^{*}Une direction de spins différente de la diagonale de base peut s'exprimer par un mélange de modes α ($A_X^- \pm G_Y^-$) + β ($G_X^- \pm A_Y^-$)
Cette expression permet de décrire une rotation de spins dans le plan de base

B - STRUCTURE MAGNÉTIQUE À 4.2 K

Sur le diagramme enregistré à la température de l'hélium liquide on constate l'apparition de nouvelles raies très fortes dues à l'établissement d'un ordre sur le sous-réseau du terbium. En même temps les intensités de certaines raies du diagramme à la température ambiante, en particulier celles des réflexions (102) et (103), sont fortement modifiées : ceci implique un réarrangement de la structure magnétique du fer, car ces modifications ne peuvent pas se justifier par la seule contribution du terbium à l'intensité.

L'apparition de réflexions du type 001 est caractéristique d'un mode F lorsque 1 = 2n, et d'un mode C lorsque 1 = 2n + 1. Les résultats des mesures magnétiques, où une forte composante ferromagnétique a été observée, conduisent au mode F^{\dagger} , confirmé d'ailleurs par la nullité de la raie 004 (coefficient α de F^{\dagger} presque nul, cf. tableau IV-3). Ce mode est couplé à C^{\dagger} dans la représentation E_g bidimensionnelle (tableau IV-1).

Les raies fortes (101), (104), (211) sont toutes dues à un mode A. La très faible intensité de la raie (105) exclut le mode A^+ et ne permet que le mode A^- dont les coefficients $\beta(Fe)$ et $\beta(Tb)$ sont très petits. Ce mode est en effet couplé à F^+ et C^+ dans la représentation E_g .

La très faible intensité de la raie (102) rend nécessaire la considération d'un mode A_Z^- décrivant les structures du terbium et du fer suivant l'axe Oz. En effet l'expression du facteur de structure montre que cette raie n'est nulle que dans le cas de contributions en signes opposés de Fe $^{3+}$ et de Tb $^{3+}$ le long de cet axe.

Un affinement des composantes du moment suivant chaque axe fournit un bon accord entre intensités observées et calculées (tableau IV-5) avec un facteur de véracité R = 6,5 %. Cette structure est représentée par la figure IV-2.

Les composantes des moments magnétiques résultant de l'affinement sont :

$$\begin{array}{l} {\rm S_{_{Z}}(Fe)~=~4,9~\mu_{B}~mode~A_{_{Z}}^{-}} \\ {\rm S_{_{X}}(Tb)~=~2,6~\mu_{B}~mode~F_{_{X}}^{+}} \\ {\rm S_{_{y}}(Tb)~=~2,5~\mu_{B}~mode~C_{_{Y}}^{+}} \\ {\rm S_{_{Z}}(Tb)~=~6,5~\mu_{B}~mode~A_{_{Z}}^{-}} \end{array} \right\} \; {\rm S(Tb)~=~7,5~\mu_{B}} \\ \end{array}$$

TABLEAU IV-5

Intensités Magnétiques Observées et Calculées de $SrTb_2Fe_2O_7~\lambda~4.2~K$

h k l	$I_{ m obsd}$	$I_{ m caled}$
001	7	10
0 0 2	23	27
003	52	49
$\begin{array}{c} 1 \ 0 \ 0 \ \end{array}$	1020	1104
102 004	10 ^a	8
0057	•	
$\begin{array}{c c} 1 & 1 & 0 \\ 1 & 1 & 1 \end{array}$	185ª	129
112	506	510
104 S 113	109	120
006	1055	0.1
105	1054	91
1,067		
200 }	280^{a}	223
115	27ª	67
202	21-	67
203	_	
107		
210	4.50.5	4.604
211	1693	1691
008		
204		
212		
213		
117	228ª	181
205		
108 214	1185	1106
206	•	
215	337"	290
118)		
216		
207		
0.0.10	394ª	515
220	394"	515
221		
119		
)		

^a Intensité mal définie.

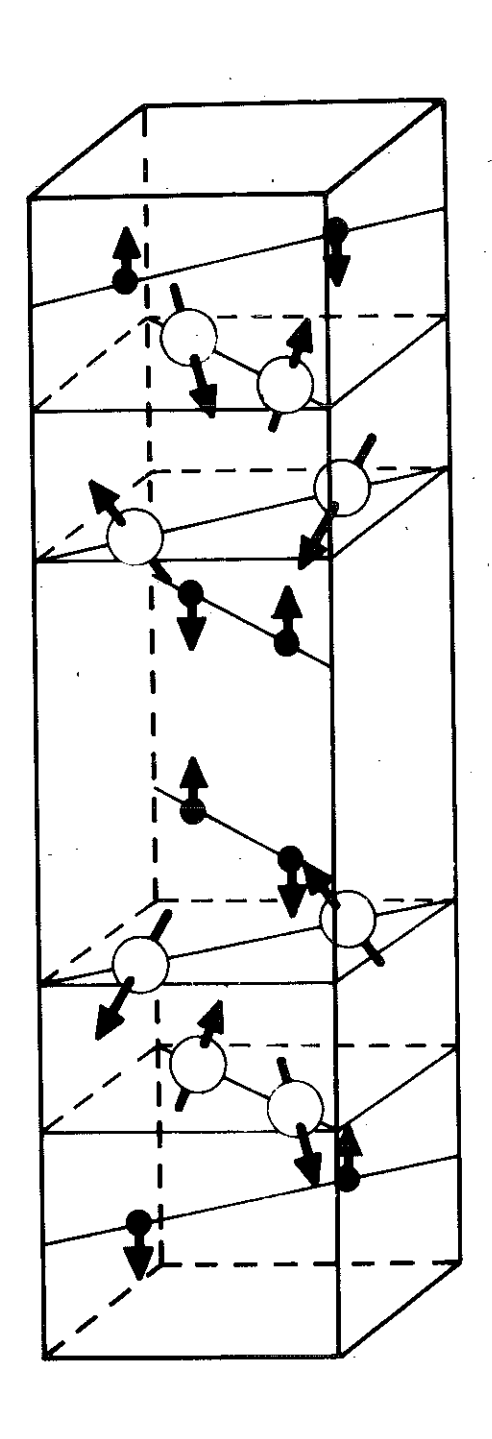


FIGURE IV-2

Structures magnétiques du fer et du terbium dans SrTb₂Fe₂O₇ à 4,2 K.

Fe: mode A_Z

Tb : modes F_X^+ , C_Y^+ , A_Z^-

Dans le cas d'une structure décrite par des modes magnétiques appartenant à une représentation unidimensionnelle réelle d'un groupe d'espace, il y a correspondance directe entre cette représentation et un groupe de Shubnikov, les éléments à caractère - 1 de la représentation étant les anti-éléments du groupe de Shubnikov ⁽²⁾. Pour les représentations irréductibles à plusieurs dimensions, la correspondance est fournie en considérant les seuls éléments de symétrie dont les matrices représentatives sont sphériques. Dans notre cas, les seules matrices sphériques sont celles représentant les éléments : identité, antiaxe de symétrie 2½ en OOz, centre de symétrie 7 en (OOO), et par conséquent l'antimiroir m' en Oxy (tableau IV-1). Le groupe de Shubnikov est donc P2'/m', monoclinique.

IV - STRUCTURES MAGNÉTIQUES DE SRND2Fe207 ET SRPR2Fe207

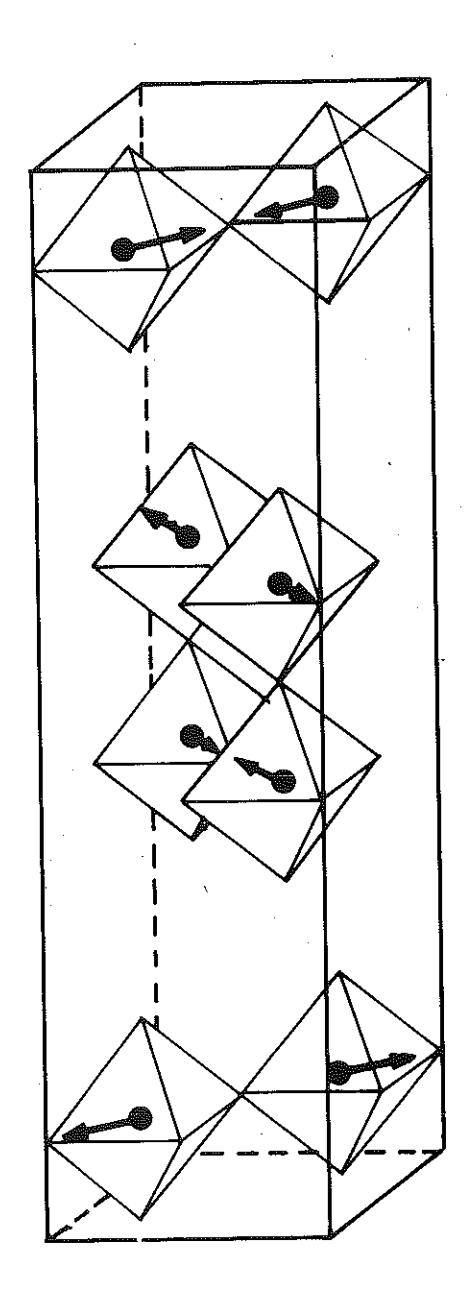
A - STRUCTURE MAGNÉTIQUE DE SRND2FE2O7 À 77 K ET 300 K

La structure est décrite par un des modes $A_X^- \pm G_Y^-$. La valeur du moment de l'ion Fe³⁺ est trouvée, après affinement, égale à 4,7 μ_B , avec un facteur de véracité R = 7 % à T = 77 K. Le tableau IV-6 permet une comparaison entre intensités observées et calculées. La figure IV-3 représente cette structure.

Une structure magnétique décrite par le mode $A_x^- + G_y^-$ (cas de $SrNd_2Fe_2O_7$ et $SrPr_2Fe_2O_7$) correspond à des interactions d'échange, entre blocs bidimensionnels, de signe opposé à celles d'une structure décrite par le mode $G_x^- + A_y^-$ (cas de $SrTb_2Fe_2O_7$).

Dans tous les cas, les moments magnétiques sont contenus soit dans le plan miroir du site (modes $G_X^- + A_y^-$, $A_X^- + G_y^-$), soit perpendiculairement à celuici (modes $G_X^- - A_y^-$, $A_X^- - G_y^-$). L'étude par spectroscopie Mössbauer (cf. chapitre VI) permet de retenir la direction dans le plan m. L'axe de la bipyramide triangulaire est également contenu dans ce plan et forme un angle très faible avec la direction des moments magnétiques.

Nous ne pouvons donc pas exclure l'hypothèse de spins quittant la diagonale [110] pour s'aligner avec l'axe de la bipyramide. La modification des intensités des réflexions magnétiques qui en résulte n'est pas observable.



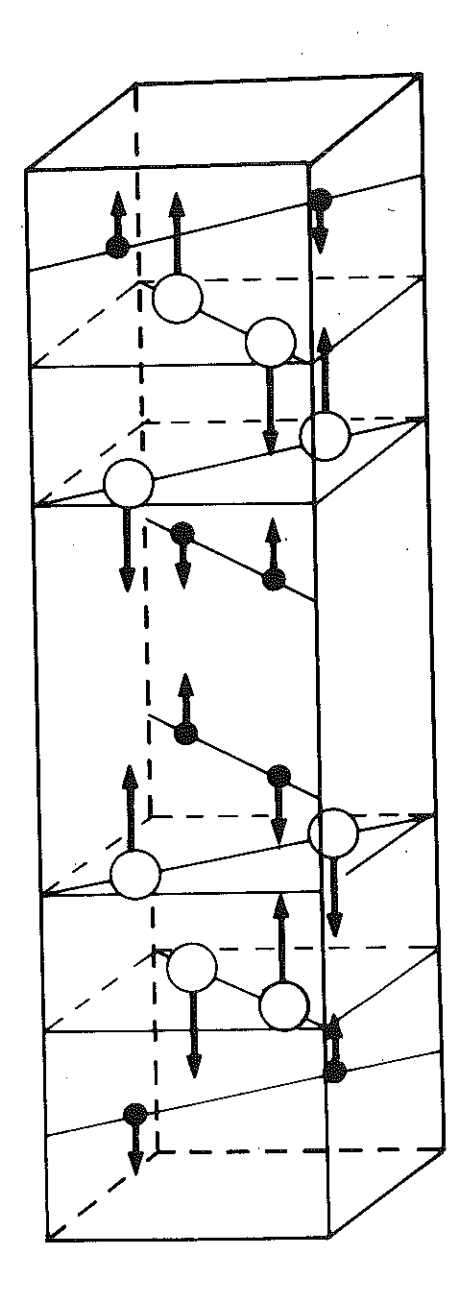


FIGURE VI-3

Structure magnétique du fer dans SrNd₂Fe₂O₇ ; mode A_x + G_v

FIGURE IV-4

Structure magnétique du fer et du néodyme dans SrNd₂Fe₂O₇

 $\frac{\text{Fe : mode } A_{Z}}{\text{Nd : mode } -A_{Z}}$

TABLEAU IV-6

Intensités magnétiques observées et calculées de SrNd₂Fe₂O₇ à 77 K

TABLEAU IV-7

Intensités magnétiques observées et calculées de SrNd₂Fe₂O₇ à 4,2 K

hk1	I _{obs} .	I _{ca1.}
1 0 1	} 72·	89
1 0 3	127	144
1 0 4	20	33
1 0 5	∿ 0	1
1 0 7	70	70
2 1 1 2 1 2	1 } 138	126
108	125	104

h k 1	I _{obs} .	I _{cal} .
101	180	217
103	109	106
104	∿ 0	∿ 0
1 0 5	∿ 0	∿ 0
107	42	. 44
2 1 1	314	290
2 1 2		
108	200	185
2 1 3		

La structure magnétique déterminée à la température ambiante est identique à celle déterminée à 77 K. Le moment magnétique du fer est de 3,7 $\mu_{\rm B}$. Cette valeur est plus faible que celle déterminée pour les autres composés. Elle est aussi inférieure à celle prévue par une courbe de Brillouin $\rm B_{5/2}$. Elle peut s'expliquer par la présence d'environ 10 % de Fe $^{4+}$ non ordonné, comme nous l'avons observé par effet Mössbauer (cf. Chapitre VI).

B - STRUCTURE MAGNÉTIQUE DE SRND, FE, O7 À 4.2 K

Le diagramme de diffraction neutronique à cette température est très différent de celui à 77 K, ce qui indique une réorientation des moments magnétiques du fer et l'établissement d'un ordre magnétique sur le sous-réseau du néodyme.

L'affinement de la structure aux rayons X a indiqué que 20 % des atomes du site 4f sont des néodymes et que 10 % des ions Nd^{3+} du site 8j sont remplacés par des Sr^{2+} . Pour la détermination de la structure magnétique nous ne tenons pas compte de ce désordre. Le désordre partiel des ions Sr^{2+} et Nd^{3+} , comme nous l'avons vérifié par le calcul, n'est pas en mesure de provoquer de grandes modifications des intensités magnétiques. Il introduit une imprécision

sur le moment magnétique de l'ion néodyme, du même ordre de grandeur que l'imprécision de l'affinement.

La comparaison entre intensités observées et calculées conduit au mode A_Z^- pour la configuration des spins du fer et au mode - A_Z^- pour les spins du néodyme. Les valeurs des moments magnétiques, après affinement, sont : $S(Fe) = 5 \mu_B$, $S(Nd) = 1,5 \mu_B$. Sur le tableau IV-7 est fournie une comparaison entre intensités observées et calculées. La structure magnétique est représentée par la figure IV-4.

<u>C - STRUCTURE MAGNÉTIQUE DE SRPR2FE2O7 À 300 K ET 4.2 K</u>

Aussi bien à 300 K qu'à 4,2 K la structure est représentée par le mode $\text{A}_{\text{X}}^- \pm \text{G}_{\text{y}}^-$ avec des moments de 5 μ_B à 4,2 K et 4 μ_B à 300 K. Aucune réorientation des moments magnétiques du fer ni un quelconque ordre de la terre rare n'a été observé.

Les intensités calculées et observées sont comparées sur le tableau IV-8.

TABLEAU IV-8

Intensités magnétiques observées et calculées

de SrPr₂Fe₂O₇ à 300 K

h k 1	^I obs.	Ical.
1 0 1	43	48
102	29	28
1 0 3	105	110
1 0 4	28	21
105	~ 0	~ 0
106	24	21

 $\frac{\text{TABLEAU IV-9}}{\text{Représentations irréductibles du groupe } G_{k} = \text{Immm } (K = \frac{1}{2}, \frac{1}{2}, 0)}$ et vecteurs de base pour la position 4(e)

****		2,	2_{xx}	Ī	Vect. de base
$\overline{\Gamma_{1g}}$	+	+ '	+	+	
Γ_{2g}	+	+	<u>.</u>	+	
Γ_{3g}^{-2}	+	- .	+ .	+	
Γ_{4g}	+			+	
Γ_{1u}	+	+	+	_	A_z
Γ_{2u}	+	. +		_	
Γ_{3u}	+	+	+	_	$A_x - A_y$
Γ_{4u}	+	wyyddiai.	_	_	$A_x + A_y$

 $\frac{\text{TABLEAU IV-10}}{\text{Comparaison des intensités magnétiques observées et calculées}}$ $\frac{\text{pour 1e mode A}_{X} + \text{A}_{Y} \text{ (T = 4,2 K)}}{\text{pour 1e mode A}_{X} + \text{A}_{Y} \text{ (T = 4,2 K)}}$

h k l	$I_{ m obs}$	$I_{ m calc}$
$\frac{1}{2} \frac{1}{2} 0$	0	0
$-\frac{1}{2}\frac{1}{2}$ 1	21*	23
$\frac{1}{3}$ $\frac{1}{3}$ 2	12	13
$\frac{\frac{1}{2}}{\frac{1}{2}}\frac{\frac{1}{2}}{\frac{1}{2}}2$	54	55
$\frac{1}{2}$ $\frac{1}{2}$ 4	*	11
$-\frac{1}{2}\frac{1}{2}5$	0	0
$\frac{1}{2} \frac{1}{2} 6$	*	9
$-\frac{1}{3}\frac{1}{3}7$	34	32
$-\frac{1}{2}\frac{1}{2}0$		
$\frac{1}{2} \frac{3}{2} 1$		
$-\frac{1}{2}\frac{3}{2}2$	100*	90
$\frac{1}{2} \frac{1}{2} 8$		
12121212121212121212121212121212121212		

^{*} Intensité mal définie.

D - STRUCTURE MAGNÉTIQUE DE BALA2FE2O7 À 4.2 K ET 77 K (4)

Les raies magnétiques ont toutes été indexées dans une maille doublée suivant \vec{a} et \vec{b} avec des indices \vec{h} et \vec{k} impairs. Le vecteur de propagation de la structure est \vec{k} = $[\frac{1}{2}\,\frac{1}{2}\,0]$. Nous avons utilisé la méthode macroscopique (1)(2) pour dénombrer les configurations possibles des spins : ce sont les vecteurs de base des représentations du groupe $\vec{G}_{\vec{k}}$ = Immm, défini comme l'ensemble des opérations de symétrie du groupe \vec{G} = I4/mmm qui laissent \vec{k} invariant.

La direction des spins \vec{S}_3 et \vec{S}_4 en $\frac{1}{2}$, $\frac{1}{2}$, $\frac{1}{2}$ + z et $\frac{1}{2}$, $\frac{1}{2}$ - z est opposée à celle des \vec{S}_1 et \vec{S}_2 en OOz et OOz, car la translation cristallographique $\vec{\tau} = [\frac{1}{2} \ \frac{1}{2} \ \frac{1}{2}]$ est une antitranslation magnétique.

Le tableau IV-9 groupe l'ensemble des représentations irréductibles de $G_{\vec{k}}$ et leurs vecteurs de base ; \vec{A} est défini comme \vec{S}_1 - \vec{S}_2 .

Pour les diagrammes à 4,2 K et 77 K une comparaison des intensités observées avec celles calculées pour les trois modes $A_X \pm A_Y$ et A_Z autorisés par le groupe G_K permet de retenir le mode $A_X + A_Y$ pour décrire la structure (tableau IV-10). C'est un mode dirigé suivant la diagonale de base*. Le facteur de véracité est R = 7,5 %. Le moment magnétique de 1'ion Fe $^{3+}$, après affinement, est trouvé égal à 4,90 μ_B et 4,75 μ_B à 4,2 et 77 K respectivement.

E - ANISOTROPIE DE L'ION FE3+

Dans tous les cas étudiés, au moins à haute température quand seul l'ion Fe $^{3+}$ est ordonné, les moments magnétiques sont situés sur le plan de base : mode A_x + A_y dans BaLa $_2$ Fe $_2$ O $_7$; G_x \pm A_y dans $SrTb_2$ Fe $_2$ O $_7$; A_x \pm G_y dans $SrNd_2$ Fe $_2$ O $_7$ et $SrPr_2$ Fe $_2$ O $_7$.

^{*}Le fait que l'on puisse déterminer la direction des spins, dans un plan perpendiculaire à l'axe c, n'est pas en contradiction avec le théorème de Shirane (5) puisque le groupe magnétique I m'mm' est orthorhombique et non pas quadratique. De plus, l'ambiguité signalée par Shirane n'existe que pour des structures collinéaires.

Nous calculons l'énergie dipolaire pour les différents modes prévus par la théorie macroscopique*

$$E_{d} (G_{x}^{-} \pm A_{y}^{-}) = 1,18 \times 10^{5} \text{ erg/cm}^{3}$$
 $E_{d} (A_{x}^{-} \pm G_{y}^{-}) = 0,95 \times 10^{5} \text{ erg/cm}^{3}$
 $E_{d} (G_{x}^{+} \pm A_{y}^{+}) = 2,95 \times 10^{5} \text{ erg/cm}^{3}$
 $E_{d} (A_{x}^{+} \pm G_{y}^{+}) = 3,18 \times 10^{5} \text{ erg/cm}^{3}$
 $E_{d}(A_{z}^{-}) = E_{d}(G_{z}^{-}) = -2,14 \times 10^{5} \text{ erg/cm}^{3}$

Les modes suivant z sont de beaucoup favorisés par l'énergie dipolaire. L'orientation observée n'a donc pas l'énergie dipolaire comme origine, mais le champ cristallin, et notamment la distorsion de la couche 3d dans le site bipyramidal ; en effet cette distorsion peut conduire à une anisotropie suffisante pour expliquer les phénomènes observés. Pour ce site, des termes axiaux apparaissent dans l'expression du champ cristallin, comparables aux termes cubiques. On démontre que dans ce cas une anisotropie non négligeable est créée (6).

En ce qui concerne la magnétoplumbite $BaFe_{12}O_{19}$, l'anisotropie est presque uniquement créée par le site bipyramidal à symétrie trigonale et la constante d'anisotropie K = 6 x 10^6 erg/cm 3 (7). Dans le cas des ferrites spinelles et grenats, où on n'observe que de petites déformations des sites cubiques, elle est de deux ordres de grandeur inférieure $^{(8)}(9)$.

L'anisotropie induite par les termes axiaux du champ cristallin pour un site bipyramidal est telle que la direction de l'aimantation est suivant l'axe de la bipyramide $^{(10)}$ (dans ${\rm BaFe}_{12}{\rm O}_{19}$ la direction de facile aimantation est l'axe c, axe de la bipyramide) qui dans le cas de ${\rm SrTb}_2{\rm Fe}_2{\rm O}_7$ est presque situé dans le plan de base de la structure.

D'après les résultats du calcul ci-dessus, nous devons admettre une anisotropie de site pour ${\rm Fe}^{3+}$ dans les composés ${\rm SrLn}_2{\rm Fe}_2{\rm O}_7$ supérieure à l'anisotropie dipolaire

$$K_s < E_d (A_2) - E_d (G_x - A_y) = -3,31 \times 10^5 \text{ erg/cm}^3$$

^{*} Les valeurs fournies ont été calculées en utilisant les paramètres de positions atomiques de $SrTb_2Fe_2O_7$ et pour la valeur du moment $S=4~\mu_B$, mais les ordres de grandeur et les valeurs relatives sont valables pour tous les composés.

valeur intermédiaire entre celle rapportée pour les ferrites spinelles et grenats et celle de ${\rm BaFe}_{12}{}^0_{19}$.

Le calcul de l'anisotropie du fer dans un site où des termes axiaux sont présents dans l'hamiltonien de champ cristallin peut se faire à l'aide des perturbations suivantes ⁽¹⁰⁾:

Il est nécessaire de pousser le calcul de la perturbation \mathcal{H}_3 au deuxième ordre.

Il est remarquable qu'il n'est pas nécessaire d'évoquer une configuration excitée, comme par exemple $3d^44s^1$; l'ion Fe $^{3+}$ reste toujours dans un état S.

Les résultats de toutes les mesures sont conformes à une configuration $3d^5$: constantes de Curie, moments magnétiques déterminés par diffraction neutronique, champs internes en spectroscopie Mössbauer (chapitre VI).



RÉFÉRENCES

- 1 E.F. BERTAUT

 "Treatise on Magnetism", G.T. Rado et H. Suhl Ed., Vol. III,

 Academic Press, New York (1963)
- 2 E.F. BERTAUT
 Acta Cryst., A 24, 217 (1968)
- 3 D. SAMARAS, A. COLLOMB, J.C. JOUBERT, E.F. BERTAUT J. Solid State Chem., 12, 127 (1975)
- 4 D. SAMARAS, A. COLLOMB Solid State Comm., <u>16</u>, 1279 (1975)
- 5 G. SHIRANE Acta Cryst., <u>12</u>, 282 (1959)
- 6 W.P. WOLF
 Phys. Rev., 108, 1152 (1957)
- 7 H.B.G. CASIMIR, J. SMIT, U. ENZ, J.F. FAST, H.P.J. WYN, E.W. GORTER, J.P. FAST, A.J.W. DRUYVESTEYN, J.J. JONG J. Phys. Rad., 20, 360 (1959)
- 8 K. YOSIDA, M. TACHIKI
 Progr. Theor. Phys., <u>17</u>, 331 (1957)
- 9 G.P. RODRIGUE, H. MEYER, R.V. JONES J. Appl. Phys., <u>31</u>, 376 (1960)
- 10 J. FUCHIKAMI J. Phys. Soc. Japan, 20, 760 (1965)



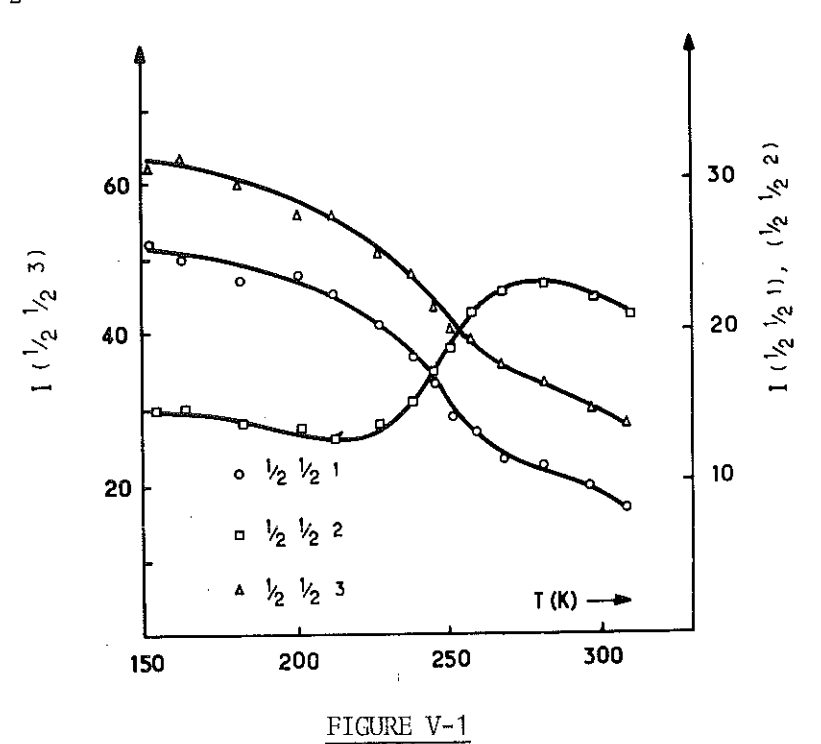
CHAPITRE V

RÉORIENTATIONS DES MOMENTS MAGNÉTIQUES

I - ROTATION DES MOMENTS MAGNÉTIQUES DANS BALA₂FE₂O₇

A - ÉTUDE PAR DIFFRACTION NEUTRONIQUE

Nous avons suivi, entre la température de l'azote liquide et 700 K, la variation de l'intensité intégrée de trois raies magnétiques à indices $(\frac{1}{2}, \frac{1}{2}, \frac{1}{2})$, $(\frac{1}{2}, \frac{1}{2}, \frac{1}{2})$ et $(\frac{1}{2}, \frac{1}{2}, \frac{1}{2})$.



Intensité mesurée (points expérimentaux) et calculée (trait plein) pour le modèle αA_X + βA_Y ; variation en fonction de la température.

Les enregistrements ont été effectués à la longueur d'onde λ = 2,2 Å. La variation de la température pendant la durée d'une expérience ainsi que le gradient de température (estimé par l'insertion d'un deuxième thermocouple) à l'intérieur de l'échantillon étaient inférieurs à 0,5 degré.

On observe (figure V-1) une diminution continue des intensités des trois raies, due à la diminution du moment magnétique en fonction de la température jusqu'à 235 K. Entre 235 K et la température ambiante, la diminution est beaucoup plus rapide pour les raies $(\frac{1}{2}, \frac{1}{2}, 1)$ et $(\frac{1}{2}, \frac{1}{2}, 3)$, tandis que la raie $(\frac{1}{2}, \frac{1}{2}, 2)$ double son intensité.

Nous avons envisagé deux modèles pour expliquer cette variation d'intensités :

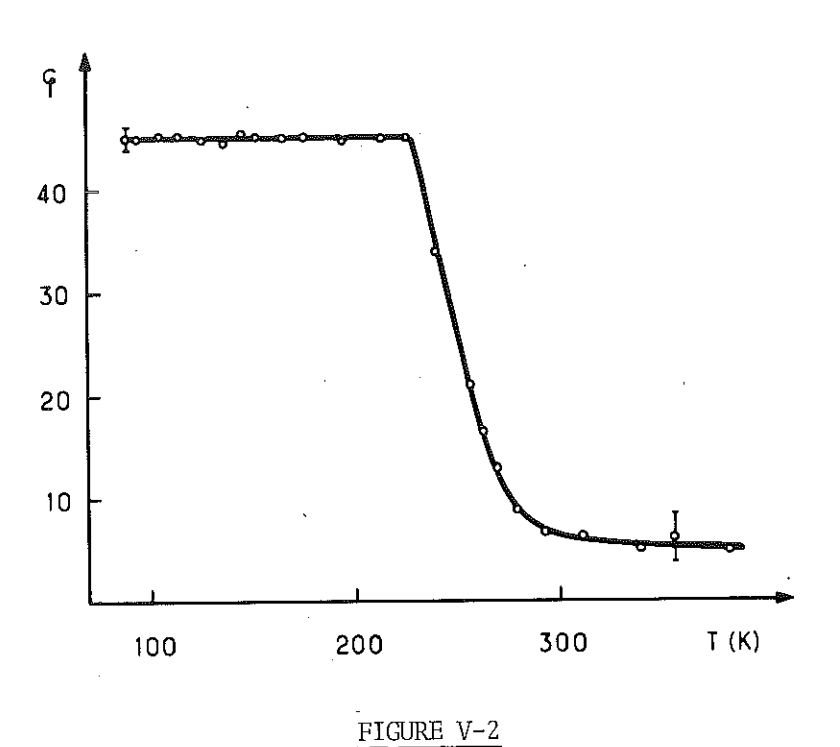
- 1 Rotation des spins dans le plan bissecteur xxz ; cette rotation mélange les modes ${\bf A_X}$ + ${\bf A_V}$ et ${\bf A_Z}$.
- 2 Rotation des spins dans le plan de base xy0 ; la configuration des spins est décrite par αA_x + βA_y , avec tg ϕ = $\frac{\beta}{a}$, ϕ étant l'angle de la direction des spins avec l'axe \dot{a} .

L'accord entre intensités observées et calculées est sensiblement meilleur dans l'hypothèse de rotation dans le plan xy0. Une comparaison de ce modèle avec les intensités observées est donnée sur la figure V-1. La dernière valeur de ϕ correctement mesurable est ϕ = 6° à la température T = 400 K. Audessus de cette température, nous pouvons affirmer que ϕ n'excède pas 6°. La variation de ϕ avec la température est représentée par la figure V-2.

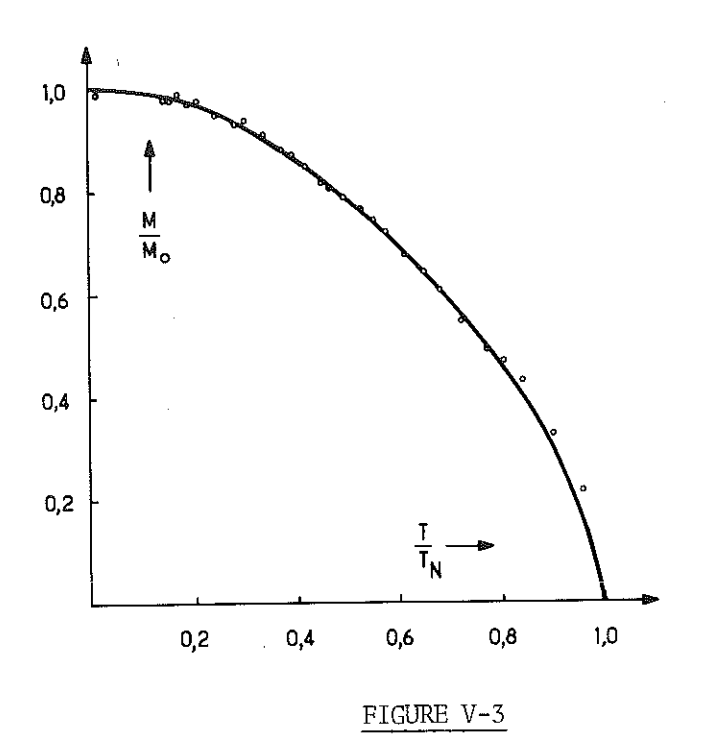
Nous n'avons pas envisagé un modèle de rotation simultanée en longitude et latitude par rapport à l'axe \vec{c} en raison du nombre insuffisant d'intensités mesurées.

Le modèle de rotation des spins à l'intérieur du plan de base a été confirmé par spectrométrie Mössbauer (voir chapitre VI).

La variation du moment magnétique en fonction de la température (figure V-3) pour le modèle de rotation dans le plan xyO suit bien une courbe de Brillouin $B_{5/2}$; on n'observe aucune anomalie de variation à la température T_1 de début de rotation.



Variation de l'angle de rotation avec la température

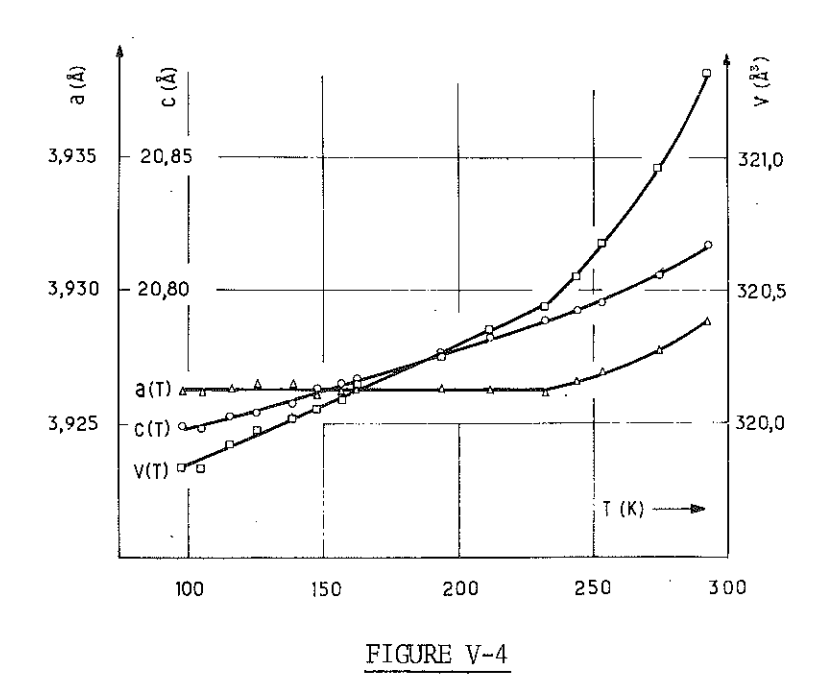


Comparaison du moment magnétique réduit, calculé pour le modèle αA_{χ} + βA_{y} , avec une courbe de Brillouin $B_{5/2}$

Pour décrire la structure magnétique pendant la rotation nous considérons un mode du type αA_{χ} + βA_{γ} . Un tel mode n'est pas autorisé par le groupe Immm. Nous devons donc envisager un abaissement de symétrie vers un sous groupe de Immm, autorisant une telle combinaison linéaire : c'est le groupe P2/m, engendré par les générateurs ϵ , 2z, $\bar{1}$. Dans la représentation Γ_{2u} (+--) de ce groupe (groupe de Shubnikov P2'/m'), les vecteurs de base sont A_{χ} et A_{γ} et une combinaison linéaire des deux est une configuration autorisée.

B - ÉTUDE DILATOMÉTRIQUE AUX RAYONS X

L'étude de la dilatation de la maille a été faite à l'aide d'un diffractomètre à la radiation CuK α . Un monochromateur de carbone placé dans le faisceau diffracté a permis d'éliminer la fluorescence des atomes de fer de l'échantillon. Les raies (3 1 12), (2 1 17) et (4 0 0), situées aux environs de 50° Θ , ont été suivies en fonction de la température, entre 100 K et la température ambiante, avec comptage de l'intensité diffractée par pas de 0,01° Θ . La position angulaire de la raie est définie comme le barycentre des composantes $K\alpha_1$ et $K\alpha_2$; on détermine le zéro du goniomètre à chaque température. La précision est de l'ordre de 10^{-4} sur $\Delta 1/1$. La mesure de la température se fait à l'aide d'un thermocouple Cu-Constantan plongé dans la masse du porte échantillon en cuivre. Le rayonnement thermique de la surface de l'échantillon est diminué par deux écrans en feuille d'aluminium d'épaisseur $10~\mu$.



Variation des paramètres et du volume de la maille de BaLa₂Fe₂O₇ en fonction de la température

La figure V-4 montre la variation des paramètres et du volume de la maille. On observe une anomalie de dilatation à 235 K correspondant au début de la rotation des spins. Cet incident est dû à la variation anormale du paramètre α , la courbe de variation du paramètre α ne présentant pas de point anguleux.

C - CONSIDÉRATIONS DE SYMÉTRIE

L'anomalie de dilatation observée à la température de début de rotation indique une transition du deuxième ordre. D'après la théorie des transitions du deuxième ordre de Landau (2), il y a obligatoirement réduction de symétrie, et les groupes décrivant les deux phases avant et après le début de rotation sont l'un sous groupe de l'autre. C'est effectivement ce qui ressort de l'étude par diffraction neutronique : la rotation des spins ne peut être décrite que dans le sous groupe P2/m du groupe initial Immm, résultant par la suppression d'un élément de symétrie binaire, l'axe $2_{\rm XX}$. La théorie de Landau dans ce cas prévoit la possibilité d'une transition du deuxième ordre. L'angle φ que forment les spins avec l'axe Ox varie de façon continue de $\frac{\Pi}{A}$ jusqu'à une valeur proche de zéro (figure V-2). On peut considérer le paramètre d'ordre de la théorie de Landau $\eta = \frac{\Pi}{4}$ - ϕ pour le début de rotation ; lorsque $\phi = \frac{\Pi}{4}$, la symétrie s'élève brusquement. La jonction entre le groupe paramagnétique I4/mmm et le groupe Immm se fait par l'intermédiaire d'un sous groupe commun, le groupe monoclinique P2/m. Cependant, lors de l'étude de la dilatation, nous n'avons observé aucun dédoublement ou même élargissement de raies indiquant un abaissement de symétrie, comme il a été observé dans les grenats des terres rares.

D - MODÈLE DE LA RÉORIENTATION

Pour décrire le phénomène de réorientation, nous écrivons l'énergie libre des spins en fonction de leur direction par rapport à Ox dans le plan quadratique sous la forme :

$$F = K_0 + K_2 \sin^2 2\phi + K_4 \sin^4 2\phi + \dots$$

 K_2 et K_4 sont des constantes d'anisotropie dépendant de la température ; $K_2 < 0$. En minimisant F par rapport à ϕ on trouve, pour des valeurs positives de K_4^* , qu'une rotation continue commence à la température T_1 , telle que $K_2(T_1) = -2K_4(T_1)$, et se termine à la température T_2 , où $K_2(T_2) = 0$. On a $\phi = \frac{\Pi}{4}$ pour $T < T_1$ et $\phi = 0$ pour $T > T_2$. Dans la région de réorientation, $\sin^2 2\phi = -K_2/2K_4$.

^{*}Pour des valeurs négatives de K4, les deux transitions du deuxième ordre sont confondues en une seule transition du premier ordre.

La valeur ϕ = 0 n'a pas été observée ; on peut donc considérer que T_2 = T_N . Ceci est par ailleurs justifié si on considère l'origine de l'anisotropie ; comme l'anisotropie d'origine dipolaire est nulle dans le plan xyO, nous devons envisager une anisotropie de champ cristallin. Une telle anisotropie s'annule à la température d'ordre sans jamais changer de signe. Un changement de signe peut résulter seulement comme un effet combiné de l'anisotropie de champ cristallin et d'une anisotropie d'origine "à deux ions".

Les phénomènes observés peuvent s'expliquer par une variation des constantes d'anisotropie ${\rm K_2}$ et ${\rm K_4}$ comme sur le schéma de la figure V-5. En considérant comme dans ⁽³⁾ une variation linéaire de ${\rm K_2}$ au voisinage de ${\rm T_1}$,

$$K_2 = 2K_4 (T - T_N) / (T_N - T_1)$$

le saut de chaleur spécifique à ${\bf T}_1$ est donné par :

$$\Delta C_1 = 2K_4 T_1 / (T_N - T_1)^2$$

qu'on peut majorer en remplaçant K_4 par K_2 . L'anisotropie envisagée ici est celle dans le plan xyO; elle ne peut excéder 10^4 erg/cm³, la valeur habituelle de la constante d'anisotropie pour les sites à symétrie cubique déformée ⁽⁴⁾. Avec une telle valeur de K_2 , on obtient un saut de chaleur spécifique de l'ordre de 10^{-2} J/mole K: c'est un effet au moins cent fois plus petit que la chaleur spécifique de réseau à T_1 et peut par conséquent échapper à l'observation. En effet, l'expérience que nous avons réalisée sur calorimètre Perkin-Elmer n'a pas été concluante.

L'environnement sous forme de pyramide de l'ion ${\rm Fe}^{3+}$ conduit à une distorsion de la couche 3d par rapport à la symétrie sphérique. Dans ce cas, l'interaction intraatomique entre spins dépend de la direction du moment magnétique atomique. Le nuage électronique anisotrope suit le moment magnétique dans sa rotation ce qui perturbe l'énergie électrostatique locale et conduit à des déplacements des oxygènes environnants. La dilatation anormale du paramètre a de la maille pendant la rotation est ainsi justifiée. La rotation, dans le plan (001), est sans effet sur la dilatation du paramètre c.

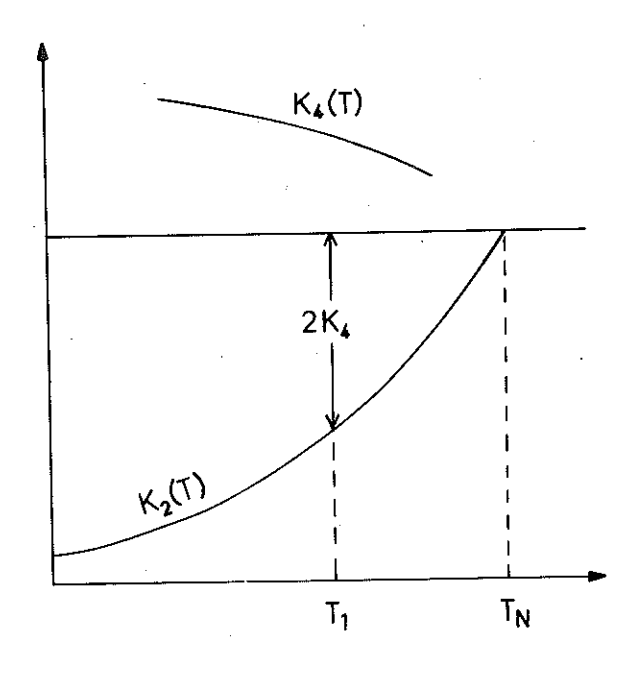


FIGURE V-5

Variation schématique des constantes d'anisotropie K2 et K4 avec la température

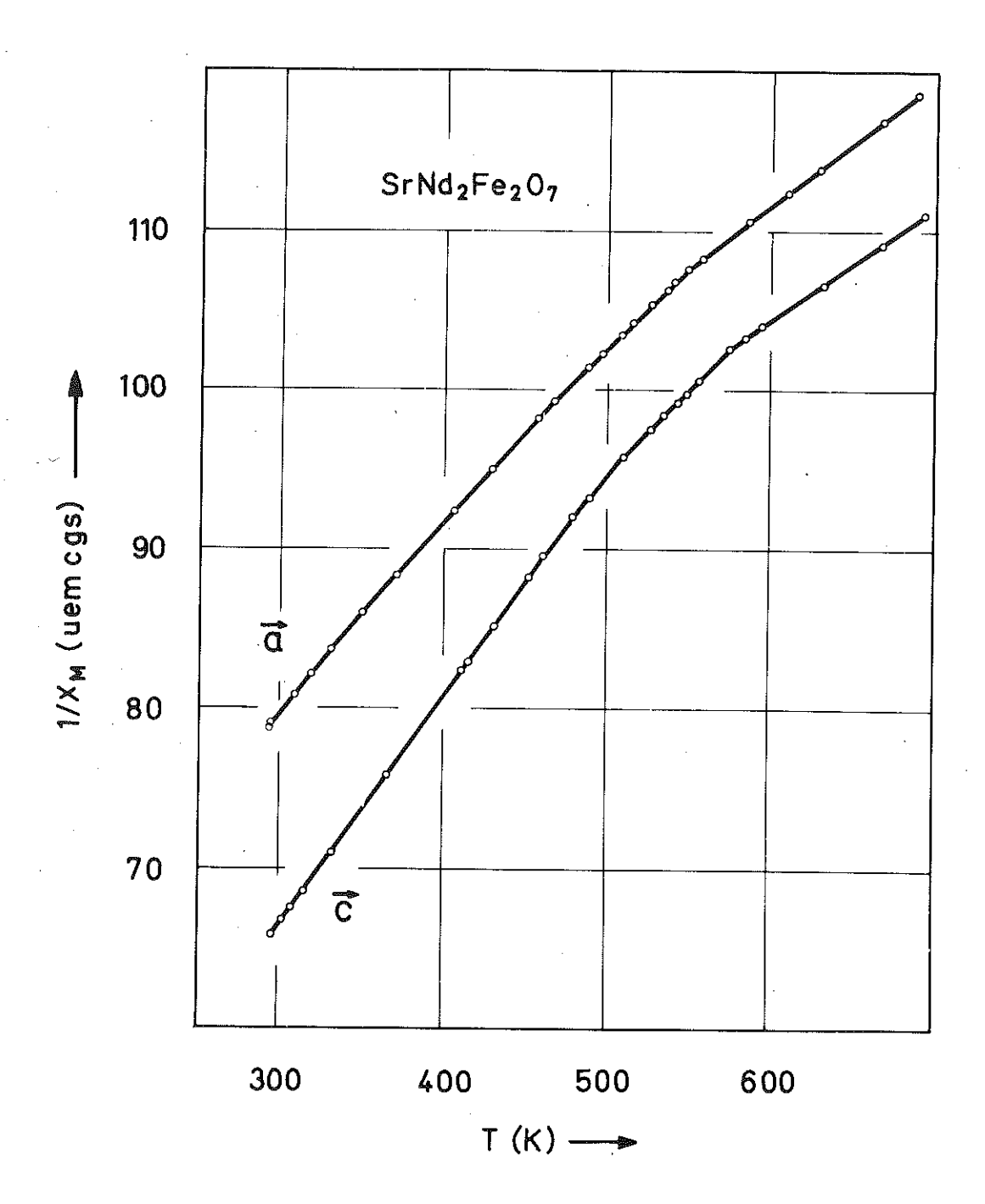
II - ROTATION DES MOMENTS MAGNÉTIQUES DANS SRTB2FE2O7 ET SRND2FE2O7

A - ÉTUDE PAR MESURES MAGNÉTIQUES SUR MONOCRISTAL DE SRND2FE207

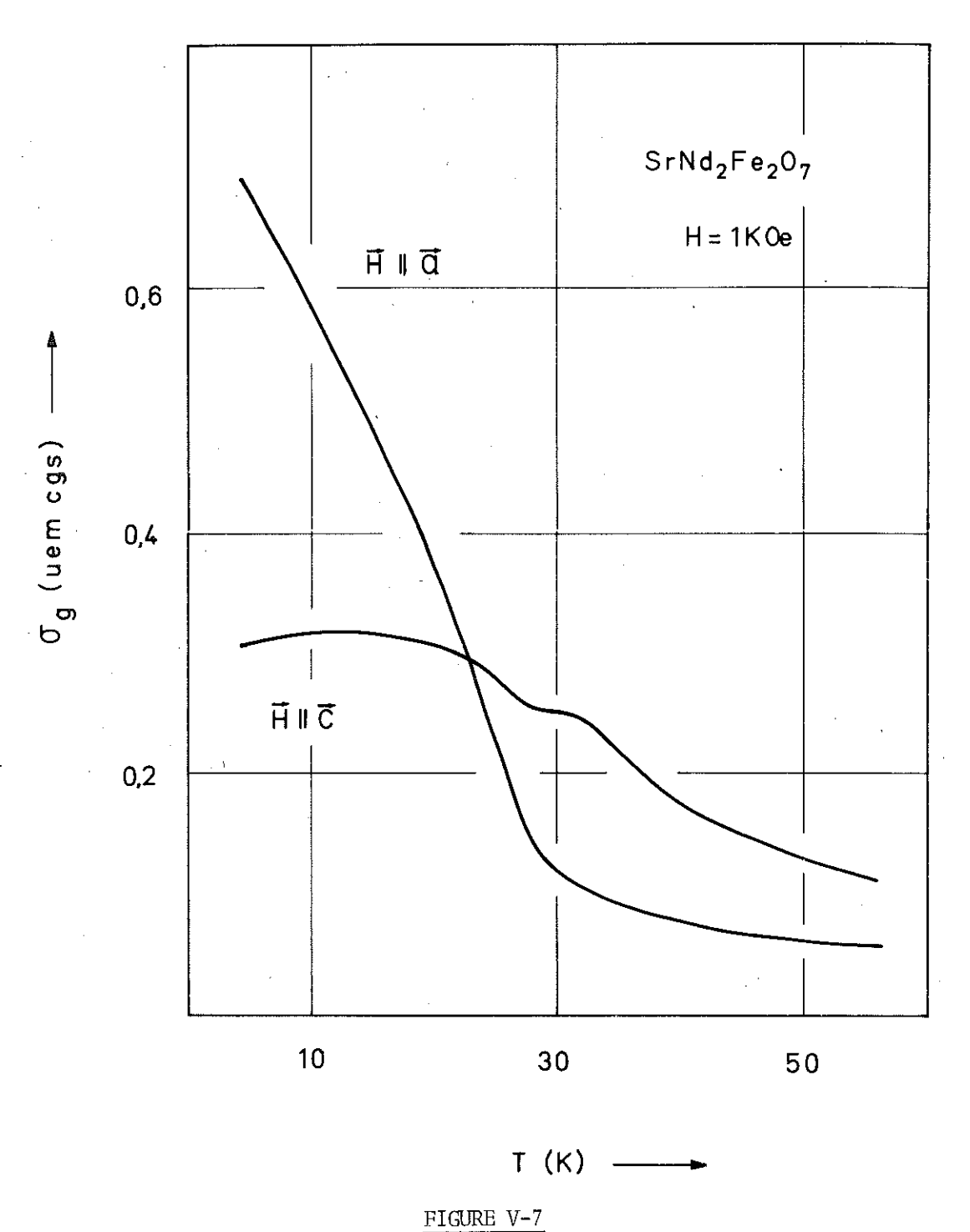
Les courbes de susceptibilités magnétiques sont représentées sur la figure V-6. On observe un grand écart entre $\chi_{_{\hbox{\scriptsize C}}}$ et $\chi_{_{\hbox{\scriptsize a}}}$ aussi bien au-dessous qu'au dessus de la température de Néel avec $\chi_{_{\hbox{\scriptsize C}}} > \chi_{_{\hbox{\scriptsize a}}}$.

Cette anisotropie indique que les doublets, issus de la décomposition du fondamental de Nd^{3+} par le champ cristallin, ne sont pas encore également peuplés. Ceci laisse conclure à un fort champ cristallin provoquant une large décomposition du terme fondamental. Signalons que la décomposition totale du fondamental de Nd^{3+} dans $\mathrm{YAlO}_3^{(5)}$ à structure pérovskite est de 960 K. Quant à l'anisotropie du fer, comme nous l'avons déjà indiqué, elle favorise les directions du plan de base.

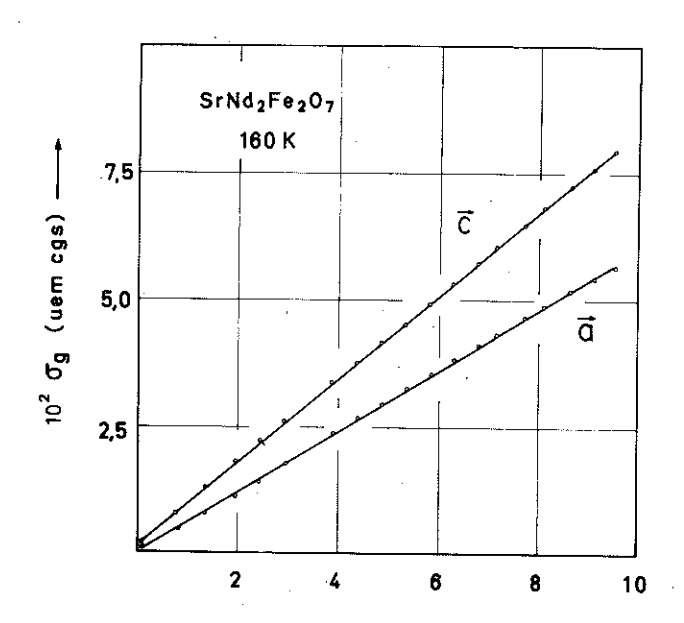
Au-dessous de T_N , la direction d'antiferromagnétisme du fer est dans le plan de base. La contribution du fer dans χ_c est une susceptibilité perpendiculaire à la direction d'antiferromagnétisme $(\chi_{\underline{L}})$, ce qui explique la croissance plus rapide de χ_c .



 $\frac{\text{FIGURE V-6}}{\text{Susceptibilité magnétique de SrNd}_2\text{Fe}_2\text{O}_7}$ suivant les directions des axes cristallographiques à et $\vec{\text{c}}$



Variation thermique de l'aimantation de SrNd₂Fe₂O₇ suivant les directions à et c



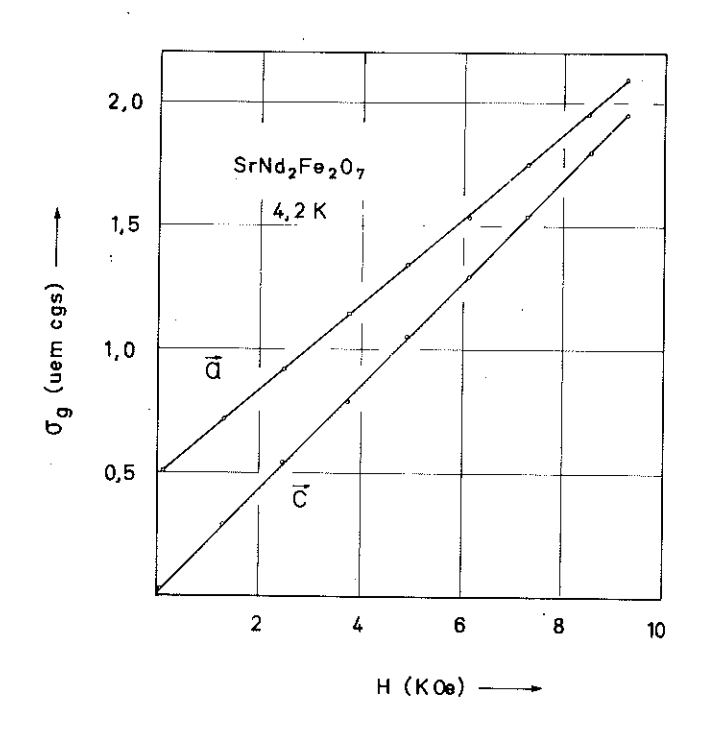


FIGURE V-8

Aimantation de SrNd₂Fe₂O₇ en fonction du champ appliqué

a. T = 160 K; avant la réorientation

b. T = 4,2 K; après la réorientation

A la température de 29 K, une faible aimantation spontanée apparaı̂t (figure V-7) suivant l'axe a, atteignant la valeur de 0,05 $\mu_B/mole$ à 4,2 K.

Comme l'indique l'analyse des configurations possibles des spins, ce moment ferromagnétique est décrit par le mode F_X^+ associé à A_Z^- dans la représentation bidimensionnelle E_g^- .

L'apparition du moment ferromagnétique confirme les résultats de l'étude par diffraction neutronique, où nous trouvons une configuration $\overline{A_z}$ pour les deux sous-réseaux Fe $^{3+}$ et Nd $^{3+}$. La réorientation de la structure magnétique du fer est ainsi mise en évidence.

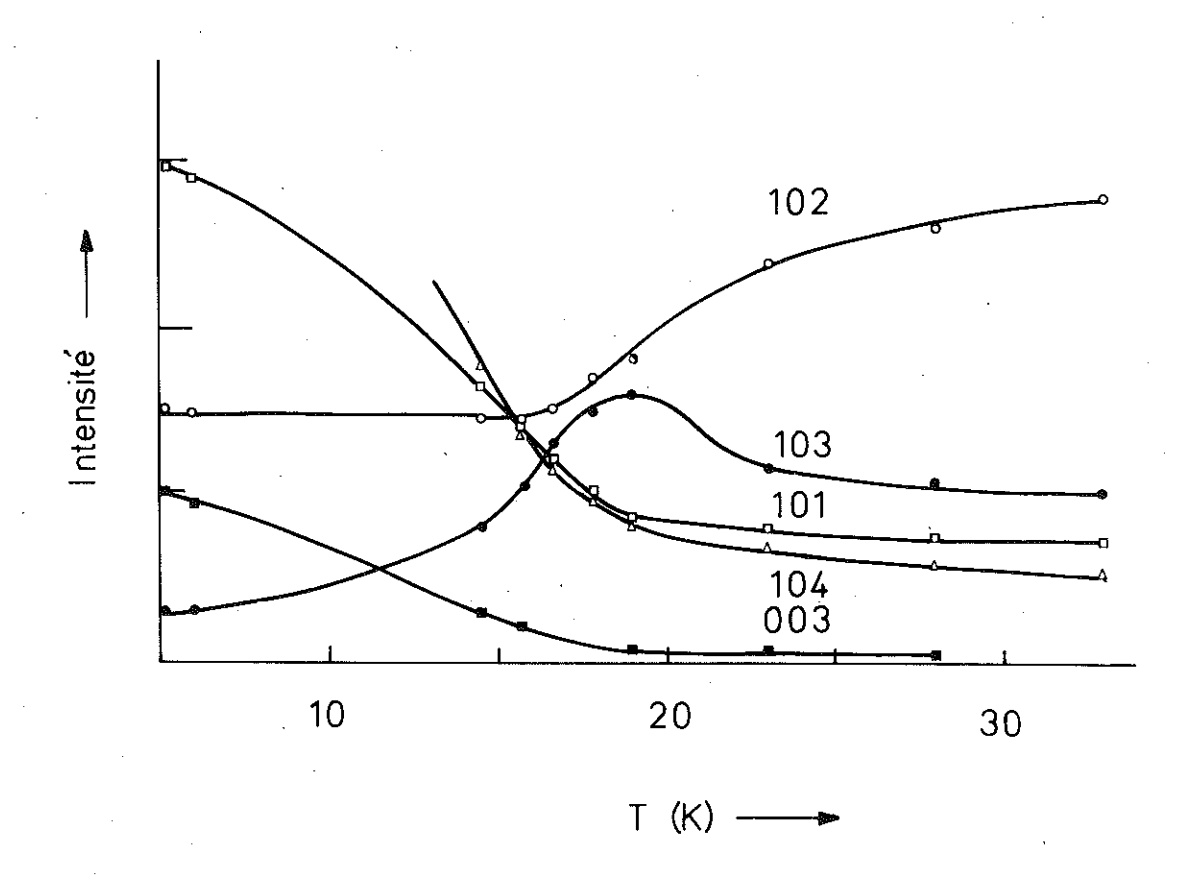
Aucune inversion de susceptibilité ne se produit à basse température : la disposition $\chi_C > \chi_a$ reste toujours valable (figures V-8, a, b). A priori, on doit s'attendre à une inversion de susceptibilité. En effet, la χ_C doit diminuer puisqu'elle devient une susceptibilité parallèle $(\chi_{//})$, aussi bien pour le fer que pour le néodyme.

Ce résultat indique que l'ordre à 29 K n'est pas un ordre coopératif. Le néodyme continue à se comporter comme un ion paramagnétique.

B - ÉTUDE PAR DIFFRACTION NEUTRONIQUE À T VARIABLE DE SRTB2FE207

La figure V-9 représente la variation thermique de quelques réflexions ou purement magnétiques (003 et 101) ou à forte contribution magnétique (102, 103, 104). Sur le tableau V-1, nous avons porté le sens de variation des intensités magnétiques de ces réflexions pour une réorientation du fer à partir du mode $G_X^- \pm A_Y^-$ vers le mode A_Z^- . Sur le même tableau, nous avons porté le signe relatif de la contribution du terbium dans le facteur de structure magnétique. A l'aide de ce tableau, nous interprétons les résultats expérimentaux.

- (101) et (104) : elles augmentent aussi bien à cause de la rotation de la structure magnétique du fer qu'à cause de la contribution du terbium.
 - (102) : elle diminue pour des raisons identiques.
- (103) : elle augmente à cause de la rotation des spins du fer jusqu'à ce que la contribution négative du terbium dans le facteur de structure



 $\frac{\text{FIGURE V-9}}{\text{Variation thermique de 1'intensit\'e de certaines r\'eflexions magn\'etiques de}}$ $\frac{\text{SrTb}_2 \text{Fe}_2 \text{O}_7}{\text{Fe}_2 \text{O}_7}$

TABLEAU V-1

h k 1	Fer $(G_X^- \pm A_y^-) \rightarrow A_Z^-$	Tb Contribution dans $F_{\overline{M}}$
1 0 1	. 1	+
1 0 2	•	-
1 0 3	/	-
104	A	+

magnétique devienne suffisamment forte pour freiner l'augmentation et par la suite provoquer une diminution de l'intensité.

- (003) : elle est due au mode $\boldsymbol{C}_{\boldsymbol{y}}^{\!+}$ du terbium.

La diminution de l'intensité de la raie (102) commence à être sensible à des températures relativement élevées (77 K); ceci indique que l'ordre du terbium ou (et) la rotation des moments magnétiques du fer commencent à haute température. Dans ce cas, le faible moment ferromagnétique observé au-dessus de 30 K (voir chapitre III) pourrait être décrit par F_X^+ associé au mode A_Z^- soit du terbium soit du fer et non pas par F_Z^+ associé au mode G_X^- + A_Z^- du fer observé à haute température.

Ces résultats, en cours d'exploitation conjointement à ceux obtenus par l'étude de la réorientation en spectroscopie Mössbauer (chapitre VI), permettrontune meilleure compréhension des deux phénomènes -réorientation des moments magnétiques du fer et ordre du terbium- et de leur dépendance.



RÉFÉRENCES

- 2 L. LANDAU, E. LIFCHITZ Physique Statistique, pp. 517-547, Ed. MIR, Moscou (1967)
- 3 H. HORNER, C.M. VARMA
 Phys. Rev. Letters, 20, 845 (1968)
- 4 K. YOSIDA, M. TACHIKI
 Progr. Theor. Phys., <u>17</u>, 331 (1957)
- 5 M.J. WEBER, T.E. VARITIMOS J. Appl. Phys., <u>42</u>, 4996 (1971)



CHAPITRE VI

ÉTUDE DES RÉORIENTATIONS DES MOMENTS MAGNÉTIQUES PAR SPECTROSCOPIE MÖSSBAUER

I - effet mössbauer et structures hyperfines du 57 Fe $^{(1)}$

L'énergie des photons γ émis lors de la désexcitation d'un noyau est inférieure à la différence d'énergie des niveaux entre lesquels se fait la transition ; une partie de cette énergie est en effet transmise au noyau sous forme d'énergie cinétique de recul. Comme un phénomène identique se produit sur le noyau absorbeur, il ne peut y avoir absorption résonnante. Le caractère fondamental de l'effet Mössbauer est de communiquer intégralement à une fraction de photons γ l'énergie de transition exacte, en emprisonnant le noyau émetteur dans un réseau cristallin.

Les structures hyperfines, observées par spectroscopie Mössbauer, traduisent les interactions entre les grandeurs caractéristiques (électriques ou magnétiques) du noyau et de son environnement.

Il existe deux types d'interactions électriques :

- entre le noyau et les électrons des couches internes : c'est le déplacement isomérique ;
- entre le moment quadrupolaire du noyau et le gradient de champ électrique dans lequel le noyau est plongé : c'est l'interaction quadrupolaire.

Du point de vue magnétique, il y a interaction entre le moment magnétique du noyau et le champ magnétique auquel il est soumis : c'est l'interaction magnétique hyperfine.

A - DÉPLACEMENT ISOMÉRIQUE

Il est dû au fait que le noyau n'est pas ponctuel et que certains électrons (les électrons s) ont une probabilité non nulle de se trouver dans son voisinage immédiat ou d'y pénétrer, ce qui modifie le potentiel électrostatique nucléaire vu par les électrons et déplace les niveaux d'énergie du noyau. Une comparaison entre les déplacements isomériques observés dans différents absorbeurs fournit donc des informations sur la densité des électrons s au niveau du noyau. L'évaluation du déplacement isomérique permet donc de distinguer les différents états de valence du fer et d'apprécier le degré de remplissage éventuel des orbitales 4s du cation par les électrons des ligandes dans le cas de liaison covalentes.

B - INTERACTION QUADRUPOLAIRE

L'interaction d'un noyau de moment quadrupolaire $\mathbb Q$ avec un champ électrique de potentiel V(x,y,z) décale les niveaux d'énergie du noyau d'une quantité :

$$E_{Q} = \frac{e^{2}qQ}{4} \cdot \frac{3m_{I}^{2} - I (I + 1)}{I (2I - 1)} \cdot \left(1 + \frac{\eta^{2}}{3}\right)^{1/2}$$
VI-1

 $q = \frac{\partial^2 V}{\partial z^2}$: composante principale du gradient de champ électrique (G.C.E.)

I : spin nucléaire

 $\mathbf{m}_{\tilde{\mathbf{I}}}$: nombre quantique magnétique

$$\eta = \left(\frac{\partial^2 V}{\partial x^2} - \frac{\partial^2 V}{\partial y^2}\right) / \frac{\partial^2 V}{\partial z^2} = (q_{xx} - q_{yy}) / q_{zz} : \text{ paramètre d'asymétrie du G.C.E.}$$

$$\textbf{q}_{\chi\chi}$$
 + \textbf{q}_{yy} + \textbf{q}_{zz} = 0 ; par convention $|\textbf{q}_{zz}|$ > $|\textbf{q}_{yy}|$ > $|\textbf{q}_{\chi\chi}|$, ainsi, 0 < η < 1.

Dans le cas du 57 Fe (niveau fondamental $I_f = \frac{1}{2}$; niveau excité $I_e = \frac{3}{2}$) on obtient deux transitions séparées par l'énergie (figure VI-1) :

$$\Delta E = \frac{e^2 qQ}{2} \left(1 + \frac{\eta^2}{3} \right)^{1/2}$$
 VI-2

Dans le cas d'un monocristal, si θ et ϕ sont les angles repérant la direction des photons γ dans le trièdre des axes principaux du G.C.E., les intensités des deux raies du doublet sont proportionnelles aux expressions :

I
$$(\pm \frac{3}{2} + \pm \frac{1}{2}) = (1 + \frac{1}{3} A^2) (1 + \cos^2 \theta) + \frac{4}{3} A^2 \sin^2 \theta$$

VI-3a
$$+ \frac{2A}{\sqrt{3}} \sin^2 \theta \cos^2 \theta$$

I
$$(\pm \frac{1}{2} \rightarrow \pm \frac{1}{2}) = (A^2 + \frac{1}{3})(1 + \cos^2\theta) + \frac{4}{3}\sin^2\theta$$

$$-\frac{2A}{\sqrt{3}}\sin^2\theta \cos 2\phi$$
VI-3b

avec

$$A = \frac{\eta}{\sqrt{3}} \left[1 + \left(1 + \frac{\eta^2}{3} \right)^{1/2} \right] - 1$$
 VI-3c

Dans le cas d'une symétrie axiale (η = 0), la dépendance de l'angle φ disparaît.

Il est donc possible, à partir du spectre paramagnétique d'un monocristal, de déterminer le signe de l'interaction quadrupolaire et le paramètre d'asymétrie n.

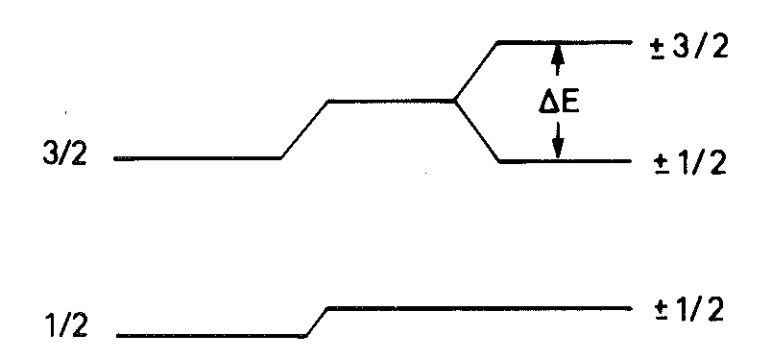


FIGURE VI-1

Déplacement isomère et couplage quadrupolaire sur le noyau Fe⁵⁷

C - STRUCTURE HYPERFINE MAGNÉTIQUE

Le moment dipolaire du noyau $\vec{\mu}=g\mu_N\vec{l}$ (g = rapport gyromagnétique ; μ_N = magnéton nucléaire) interagit avec le champ magnétique agissant au niveau du noyau. Cette interaction est de la forme $\mathcal{H}=-g\mu_N\vec{l}.\vec{H}$ et elle lève la dégénérescence des niveaux nucléaires. Le déplacement des niveaux est $\Delta E_m=-g\mu_Nm_IH$. Dans le cas de 57 Fe, le fondamental $I=\frac{1}{2}$ est dédoublé, le niveau excité $I=\frac{3}{2}$ est décomposé en quatre sous-réseaux, et il y a six transitions possibles avec

 $\Delta m = 0$, ± 1 (figure VI-2).

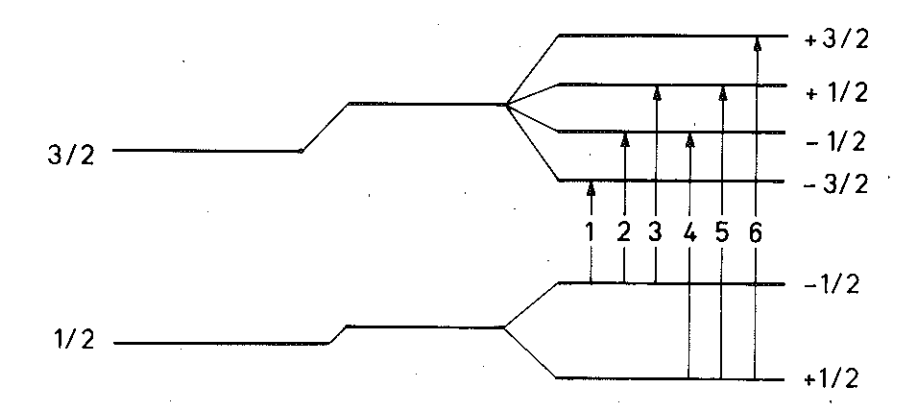


FIGURE VI-2

Transitions magnétiques hyperfines du noyau ⁵⁷Fe

Ces transitions donnent naissance à un spectre à six raies dont les intensités sont dans un rapport :

I
$$(\Delta m = -1)$$
 : I $(\Delta m = 0)$: I $(\Delta m = 1) = 3$: $\left(\frac{4 \sin^2 \alpha}{1 + \cos^2 \alpha}\right)$: 1 VI-4

où α est l'angle entre la direction des photons γ et la direction du champ interne.

D - COEXISTENCE D'INTERACTION QUADRUPOLAIRE ÉLECTRIQUE ET DIPOLAIRE MAGNÉTIQUE

On considère dans ce cas (chaque fois que ceci est possible) l'interaction quadrupolaire comme une perturbation sur les niveaux issus de l'interaction dipolaire magnétique. Cette perturbation est sans effet sur les sous-niveaux issus du fondamental I = $\frac{1}{2}$, m_I = \pm $\frac{1}{2}$. Le déplacement des sous-niveaux issus du niveau excité I = $\frac{3}{2}$, m_I = \pm $\frac{1}{2}$, \pm $\frac{3}{2}$ est donné par

$$\varepsilon_{\rm m} = (-1)^{|{\rm m}| + \frac{1}{2}} \frac{{\rm e}^2 {\rm q} {\rm Q}}{8} (3 \cos^2 \Theta - 1 + \eta \sin^2 \Theta \cos 2\phi)$$
 VI-5

Les angles θ et ϕ repèrent le champ interne \vec{H} dans le trièdre du G.C.E. L'interaction quadrupolaire est mesurée comme (figure VI-3) :

$$|4_{\epsilon_{m}}| = (E_{6} - E_{5}) - (E_{2} - E_{1})$$

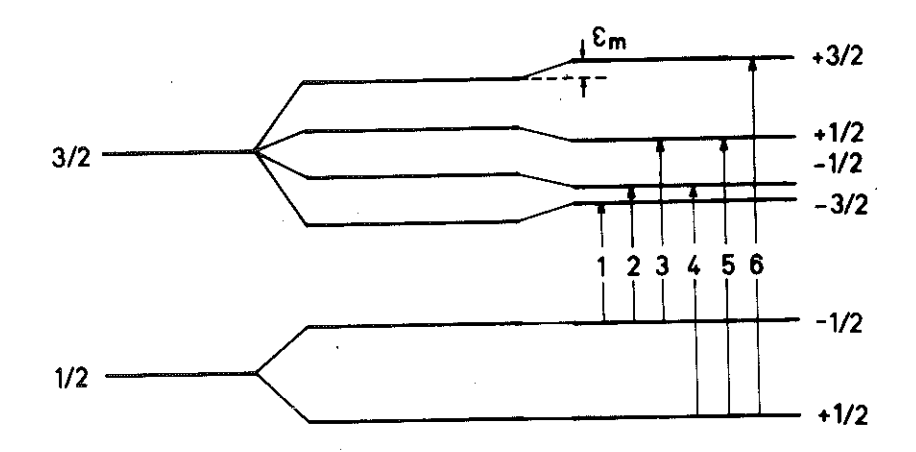


FIGURE VI-3

Coexistence de l'interaction magnétique hyperfine et du couplage quadrupolaire du noyau ⁵⁷Fe

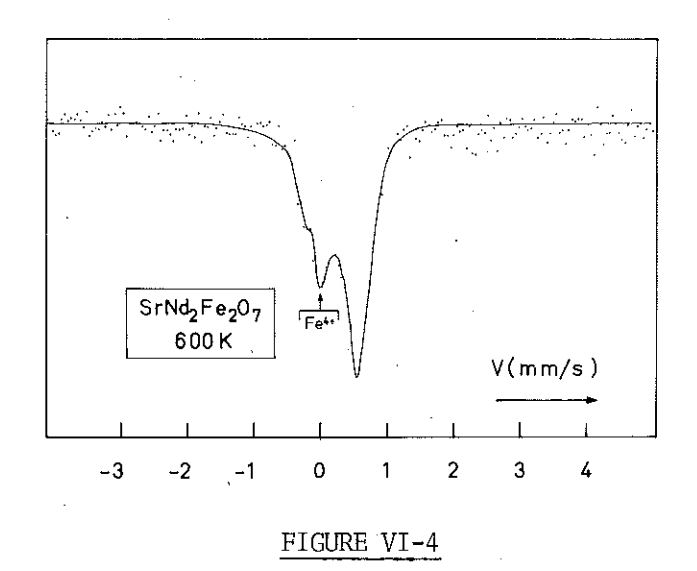
Il est possible, à l'aide de l'effet Mössbauer, d'observer une réorientation de spins. D'après VI-4, la réorientation modifie les intensités des raies Δm = 0 du spectre Mössbauer d'un monocristal, tandis que d'après VI-5, la réorientation se manifeste par un changement du couplage quadrupolaire mesuré.

II - ÉTUDE DE LA RÉORIENTATION SUR MONOCRISTAL DE SRND2FE207

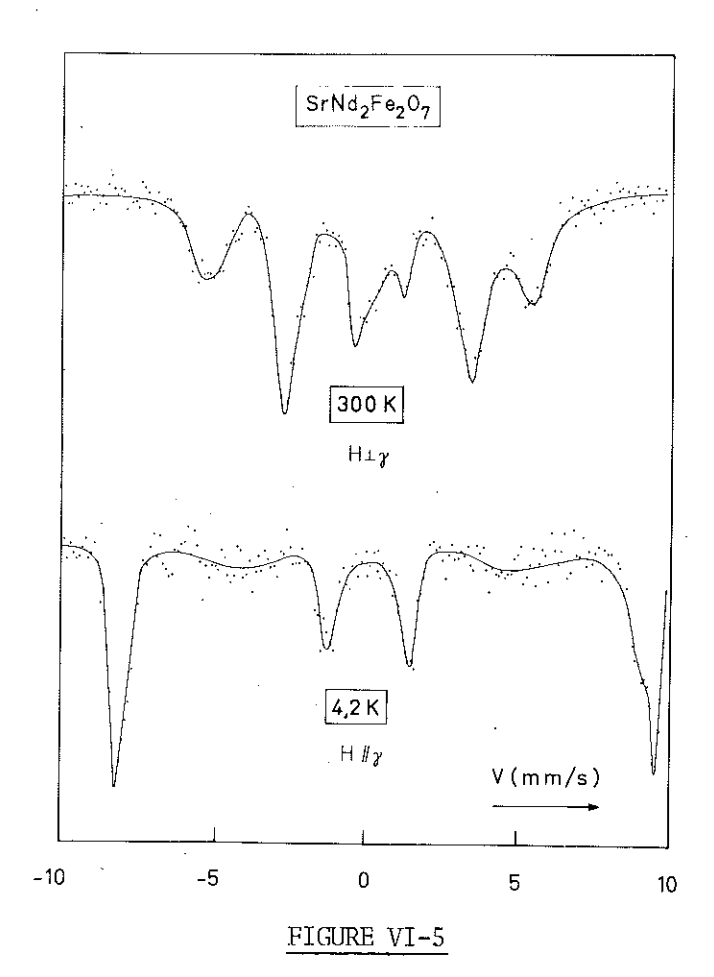
La plaquette monocristalline de $SrNd_2Fe_2O_7$, d'une épaisseur de 0,2 mm, a été montée perpendiculairement à la direction des photons γ incidents. L'axe \vec{c} de la structure est ainsi parallèle au faisceau. Trois spectres ont été enregistrés, aux températures de 600 K (domaine paramagnétique), 300 K et 4,2 K (avant et après la réorientation).

A - SPECTRE À L'ÉTAT PARAMAGNÉTIQUE

Il est formé d'un doublet quadrupolaire dissymétrique (figure III-4). La dissymétrie apparente est atténuée par la présence de Fe $^{4+}$.



Spectre Mössbauer d'un monocristal de SrNd₂Fe₂O₇ dans le domaine paramagnétique



Spectres Mössbauer d'un monocristal de $SrNd_2Fe_2O_7$ dans le domaine ordonné avant et après la réorientation des moments

Nous affinons sur ordinateur la largeur et l'intensité des trois raies. La valeur du couplage quadrupolaire, mesurée sur le spectre, est de 0,7 mm/s ; elle n'a pas été affinée.

L'affinement fournit ainsi le rapport d'intensités des deux raies du doublet du Fe³⁺ (R = 2,5), et la quantité de Fe⁴⁺ contenue dans l'échantillon : $x \approx 15 \%$.

Il est possible, à partir du rapport d'intensités déterminé, de préciser la direction de l'axe majeur du G.C.E. et le paramètre d'asymétrie, d'après les formules VI-3. Nous obtenons les valeurs : θ = 14° ± 3°, η = 0,40 ± 0,15.

Dans la suite, nous utiliserons ces valeurs déterminées expérimentalement, plus fiables que les valeurs calculées.

Le rapport d'intensités trouvé indique que la transition $\pm \frac{3}{2} \rightarrow \pm \frac{1}{2}$ se situe aux énergies positives ; ceci nous permet de préciser le signe du couplage quadrupolaire : $e^2qQ > 0$.

B - RÉORIENTATION DES MOMENTS MAGNÉTIQUES

On observe une grande modification des raies $\Delta m=0$ entre 300 K et 4,2 K (figure VI-5). D'après la formule VI-4, pour un angle entre photons incidents et champ interne $\alpha=0$ (moments magnétiques suivant \vec{c}), ces raies s'annulent. Par contre, pour $\alpha\simeq\frac{11}{2}$ (moments magnétiques perpendiculaires à \vec{c}) ces raies sont les plus fortes du diagramme : les trois paires de raies sont dans un rapport d'intensités : 3:4:1.

Nous sommes donc en présence d'une réorientation des moments magnétiques : à 4,2 K, ils sont dirigés suivant l'axe \vec{c} , tandis qu'à 300 K ils sont contenus dans le plan de base de la structure quadratique.

III - ÉTUDE SUR DES ÉCHANTILLONS POLYCRISTALLINS

Toute la série des composés a été étudiée sur des échantillons polycristallins. Trois spectres ont été enregistrés pour chaque composé aux températures de 600 K (650 K pour ${\rm SrTb}_2{\rm Fe}_2{\rm O}_7$), 300 K et 4,2 K (77 K pour ${\rm BaLa}_2{\rm Fe}_2{\rm O}_7$). Leurs paramètres -champ interne, déplacement isomérique et couplage quadrupolaire-

sont répertoriés sur le tableau VI-1.

<u>TABLEAU VI-1</u>

Paramètres des spectres Mössbauer des composés de la série ALn₂Fe₂O₇

Composés	H _i (300 K) kOe	H _i (4,2 K) kOe	ΔE _Q b mm/s	ε _m (300 K)	ε _m (4,2.K)	δ mm/s
BaLa ₂ Fe ₂ O ₇	454	531 ^a	0,604	- 0,212	- 0,211 ^a	0,174
SrPr ₂ Fe ₂ O ₇	457	552	0,697	- 0,217	- 0,193	0,151
SrNd ₂ Fe ₂ O ₇	410 ^C	557	0,697	- 0,217 ^C	+ 0,333	0,105
SrSm ₂ Fe ₂ O ₇	440	555	0,646	- 0,217	- 0,225	0,117
SrEu ₂ Fe ₂ O ₇	457	557	0,627	- 0,232	- 0,215	0,232
SrGd ₂ Fe ₂ O ₇	454	554	0,611	- 0,208	- 0,103	0,117
SrTb ₂ Fe ₂ O ₇	465	559	0,604	- 0,220	+ 0,288	0,151

a : spectre enregistré à 77 K

b : signes par analogie à celui déterminé sur monocristal de $SrNd_2Fe_2O_7$

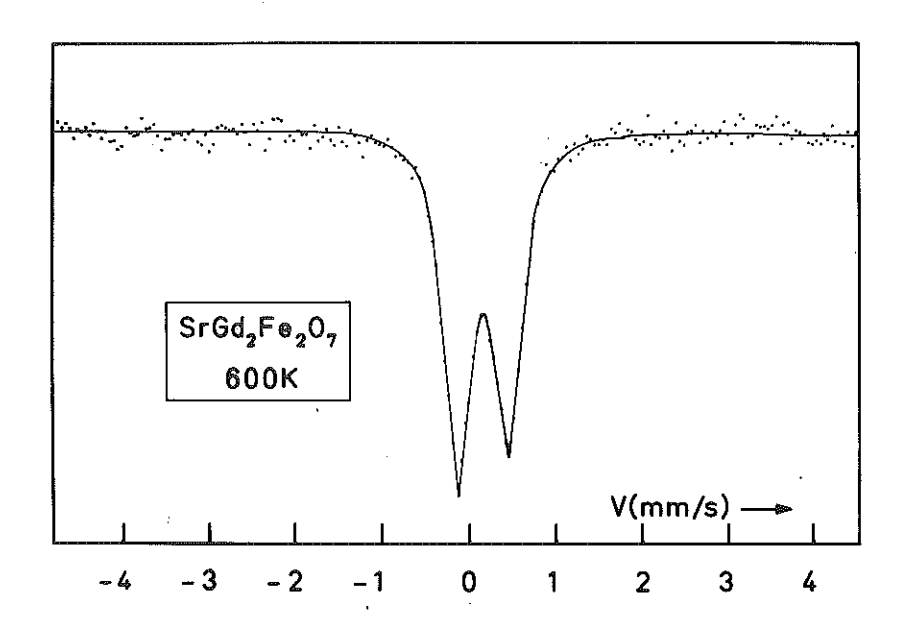
c : moyenne sur le spectre multiple

A - SPECTRES À L'ÉTAT PARAMAGNÉTIQUE

Ils sont formés, pour tous les composés de la série, d'un doublet quadrupolaire (figure VI-7, a, b). La légère dissymétrie observée pour certains est due à la faible quantité de Fe⁴⁺ incorporé dans les produits.

Le déplacement isomérique, presque constant pour tous les composés, est caractéristique de l'ion fer trivalent. Le taux de covalence, estimé d'après les abaques de Walker ⁽²⁾ est de l'ordre de 15 %.

La valeur du couplage quadrupolaire, relativement importante, confirme 1'environnement très déformé du fer. Dans YMnO $_3$ doppé au fer, où le polyèdre de coordination est une bipyramide triangulaire parfaite (symétrie locale d'ordre 3), le couplage quadrupolaire est beaucoup plus important : $\Delta E = 2,03$ mm/s $^{(3)}$. Dans un site octaédrique, même déformé, un ion sphérique tel que Fe $^{3+}$ présente en général des valeurs de couplage quadrupolaire plus faibles. Ainsi, dans les orthoferrites des terres rares, $\Delta E \simeq 0,3$ mm/s $^{(4)}$.



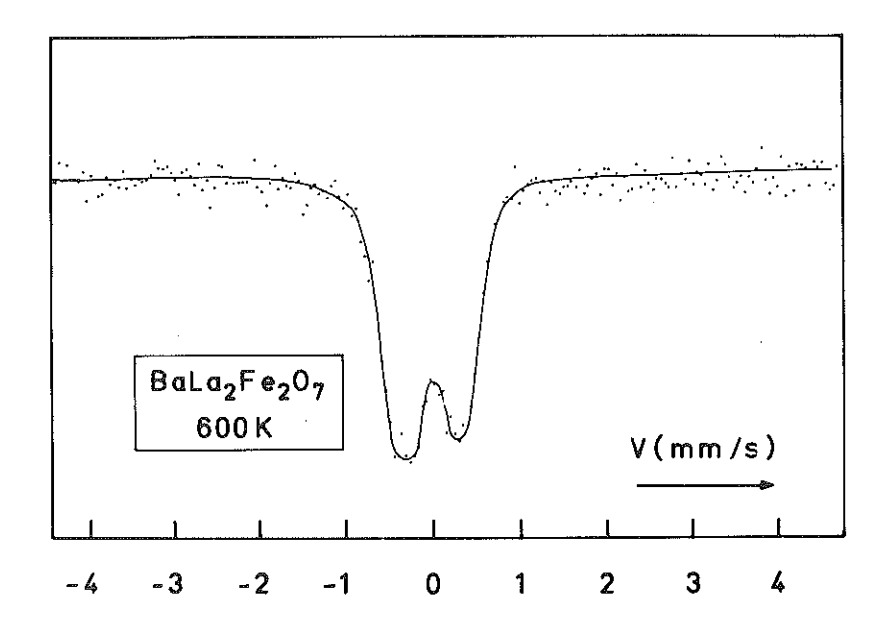


FIGURE VI-7
Spectres Mössbauer dans le domaine paramagnétique

Si l'on suppose un corps parfaitement ionique, en appliquant un modèle de charges ponctuelles, on peut calculer le G.C.E. à partir des positions cristallographiques. En négligeant les déformations possibles par liaisons covalentes, la contribution dans le G.C.E. des électrons de Fe³⁺, à symétrie sphérique, est nulle.

Nous calculons les cinq composantes indépendantes non nulles du tenseur de G.C.E. à partir des positions atomiques déterminées au chapitre II. Leur expression est :

$$q_{\alpha\beta} = \sum_{i} \frac{e_{i}}{r_{i}^{5}} (3r_{\alpha}r_{\beta} - r_{i}^{2} \delta_{\alpha\beta})_{i}$$
; α , $\beta = x$, y , z .

Nous effectuons la sommation à l'intérieur d'une sphère de rayon 80 Å centrée autour de l'ion fer en $\frac{1}{4}$, $\frac{1}{4}$, 0,4. La convergence ainsi obtenue est de l'ordre de 10⁻³. Cependant, la justesse du résultat de ce calcul est inférieure : la valeur des $q_{\alpha\beta}$ est très sensible aux positions atomiques ⁽⁵⁾.

La diagonalisation du tenseur permet de déterminer la direction de son axe majeur et le paramètre d'asymétrie. Les résultats de ces calculs pour les trois composés ${\rm BaLa_2Fe_2O_7}$, ${\rm SrNd_2Fe_2O_7}$ et ${\rm SrTb_2Fe_2O_7}$, sur lesquels nous disposons de données cristallographiques, sont consignés sur le tableau VI-2.

Résultats du calcul du gradient de champ électrique

TABLEAU VI-2

Composés	q_{zz}^{α}	q_{XX}^{β}	q _{yy}	c,q _{zz}	ŋ
BaLa ₂ Fe ₂ O ₇	0,123	- 0,062	- 0,062	0	0
SrNd ₂ Fe ₂ O ₇	0,155	- 0,064	- 0,091	. 10°	0,17
SrTb ₂ Fe ₂ O ₇	0,130	- 0,037	- 0,094	3°	0,43

 β : \boldsymbol{q}_{xx} est dirigé suivant la diagonale [1 $\overline{1}$ 0]

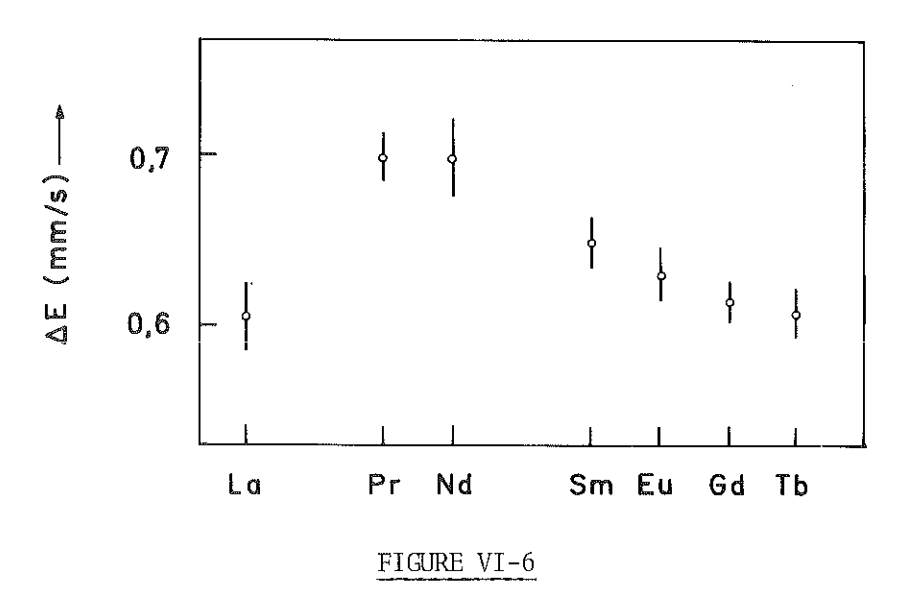
 α : en unités $10^{-24}~\text{cm}^{-3}$

A partir des valeurs de q_{ZZ} calculées, nous pouvons, d'après la formule VI-2, estimer la valeur du couplage quadrupolaire. La valeur de q_{ZZ} doit auparavant être corrigée du facteur d'antiécran de Sternheimer ⁽⁶⁾ qui rend compte de la déformation des couches électroniques pleines : $q=(1-\gamma_{\infty})$ q_{ZZ} . En utilisant la valeur $\gamma_{\infty}=-9$,14 et pour le moment quadrupolaire du noyau, la valeur Q=0,29 x 10^{-24} cm² ⁽⁷⁾, nous obtenons pour le couplage quadrupolaire (en mm/s)

	ΔE(cal.)	ΔE(obs.)
BaLa ₂ Fe ₂ O ₇	0,539	0,604
$\mathrm{SrNd}_{2}\mathrm{Fe}_{2}\mathrm{O}_{7}$	0,695	0,697
SrTb ₂ Fe ₂ O ₇	0,586	0,604

L'accord entre les valeurs calculées et observées est très bon. Nous concluons que la contribution des électrons de valence dans le G.C.E. est faible, malgré la déformation du polyèdre de coordination et le taux de covalence non négligeable (\sim 15 %).

Les variations du couplage quadrupolaire en fonction de la terre rare (figure VI-6) peuvent ainsi s'expliquer par la seule variation de la composante q_{ZZ} du G.C.E.. Le paramètre d'asymétrie η ne peut être responsable de variations aussi importantes. On ne peut non plus envisager une diminution de la dissymétrie du site du fer quand on passe du Pr au Tb ; les affinements de la structure indiquent le contraire.



Variation du couplage quadrupolaire en fonction de la terre rare

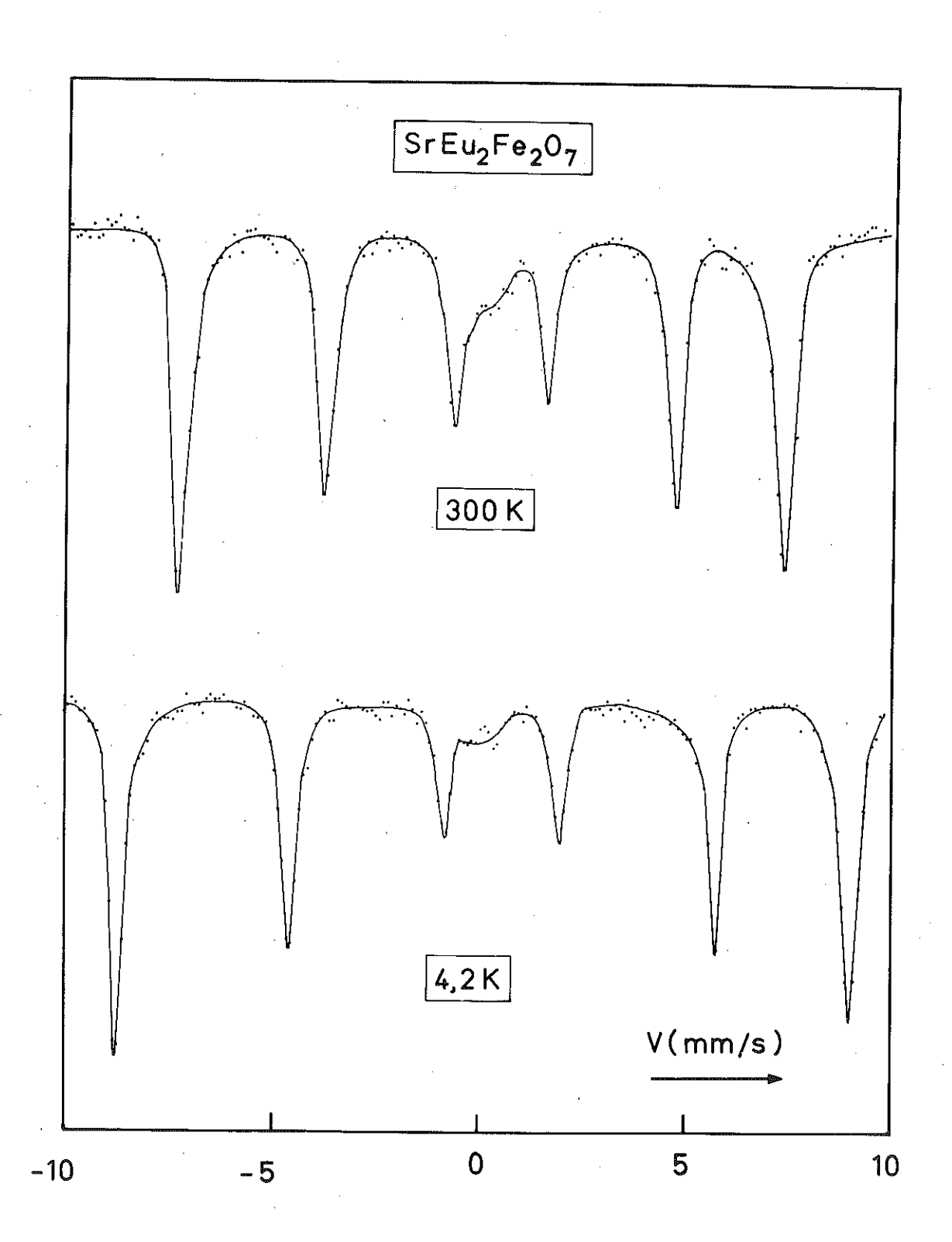


FIGURE VI-8

Spectres Mössbauer de SrEu₂Fe₂O₇ dans le domaine ordonné

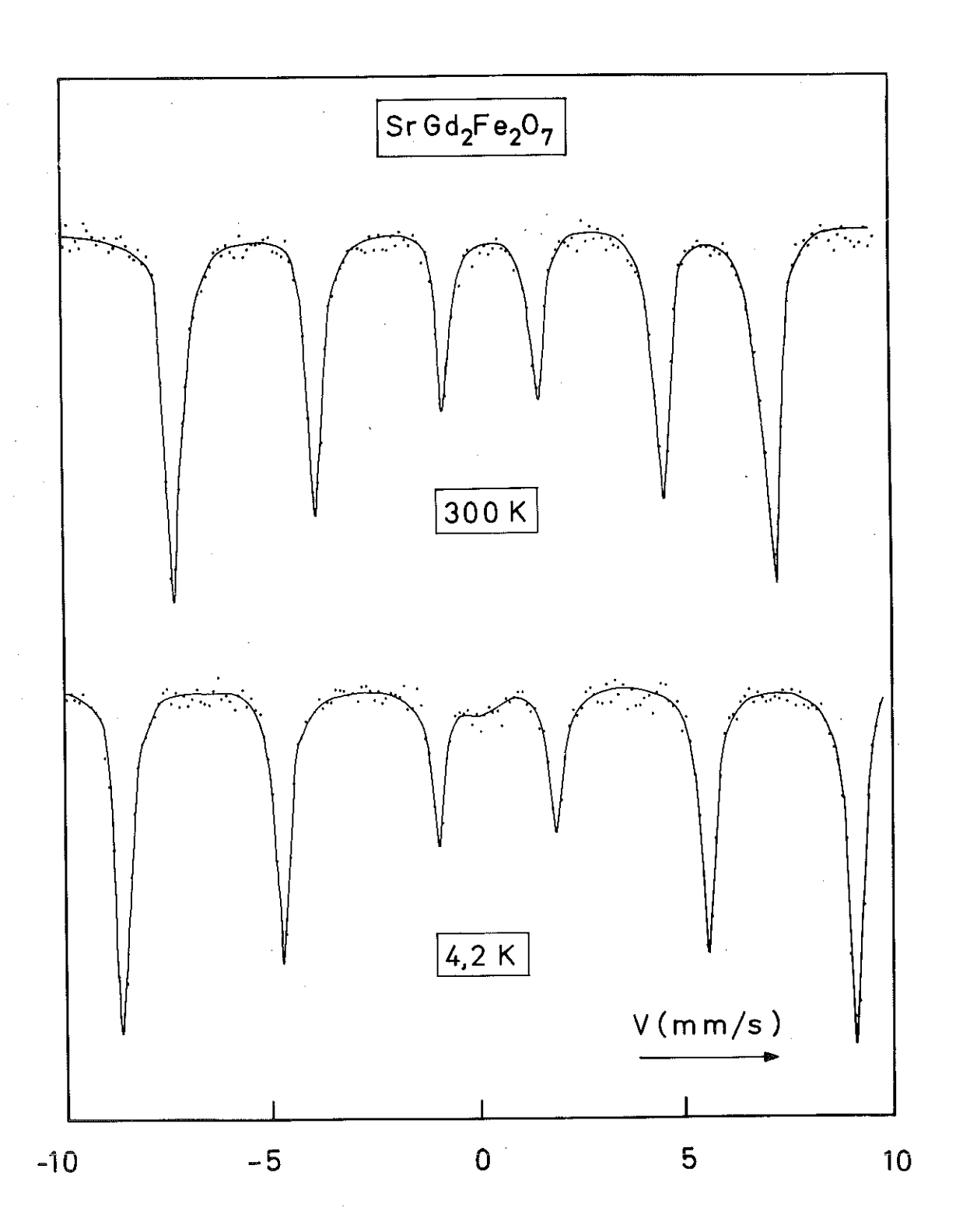


FIGURE VI-9
Spectres Mössbauer de SrGd₂Fe₂O₇ dans le domaine ordonné

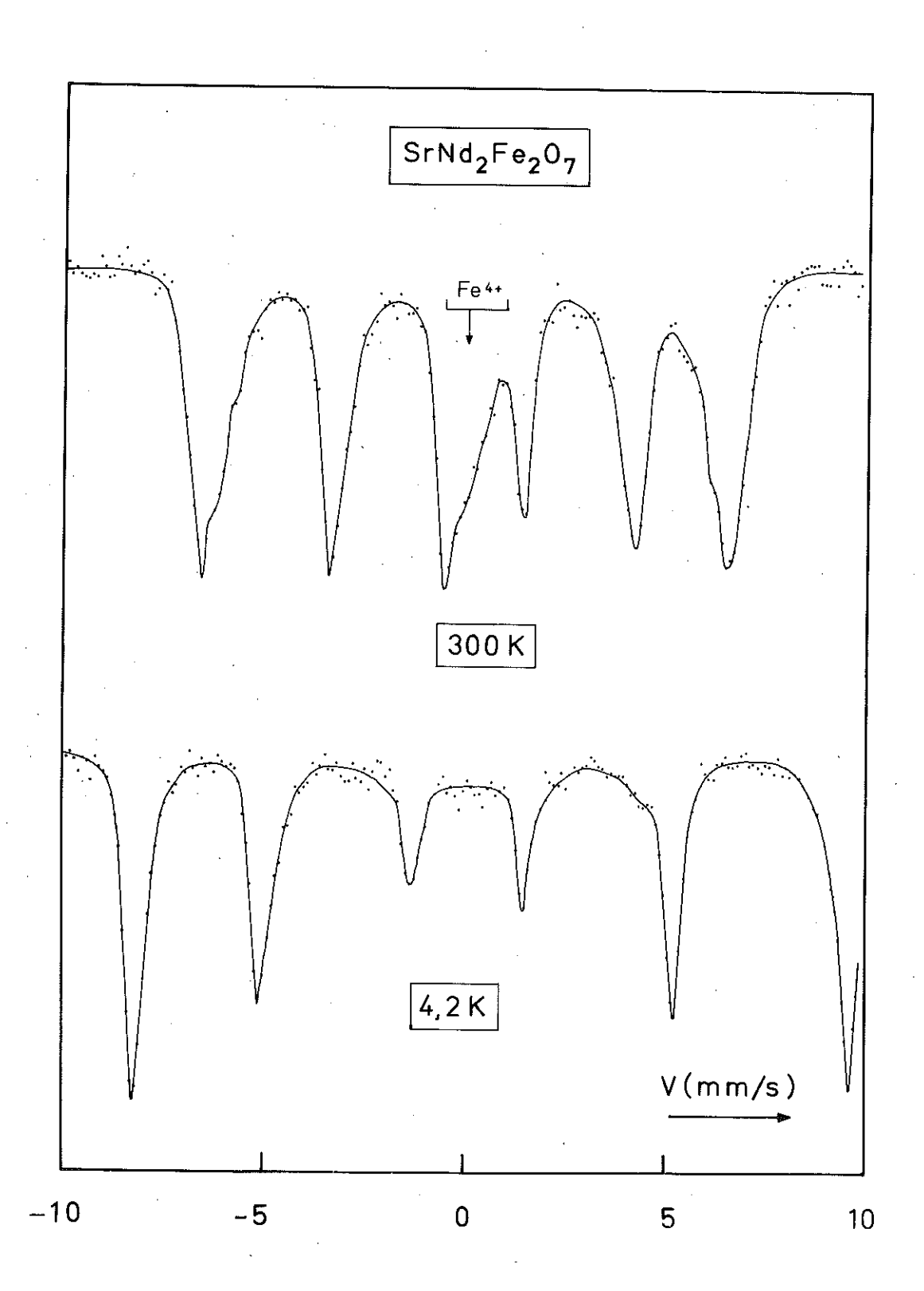


FIGURE VI-10

Spectres Mössbauer de SrNd₂Fe₂O₇ dans le domaine ordonné

B - SPECTRES À LA TEMPÉRATURE AMBIANTE

Ce sont des sextuplets caractéristiques d'un état magnétiquement ordonné du fer (figures VI-8 à VI-10). Dans certains, on observe une très faible raie centrale due au Fe⁴⁺ paramagnétique ; elle est plus intense dans SrNd₂Fe₂O₇, où aussi les raies du sextuplet sont multiples.

La multiplicité du sextuplet ordonné de $\mathrm{SrNd_2Fe_2O_7}$ peut aisément s'expliquer par la présence du Fe^{4+} paramagnétique : le composé se comporte comme une solution solide d'atomes magnétiquement ordonnés et d'atomes paramagnétiques. La présence de voisins paramagnétiques autour d'un ion Fe^{3+} provoque un abaissement du champ interne moyen. Il y a autant de valeurs de champ interne que d'environnements possibles de Fe^{3+} . La probabilité de présence des différents environnements est fournie par la formule du binôme :

$$P_5^n = \frac{5!}{n! (5-n)!} x^n (1-x)^{5-n}$$

où P_5^n est la probabilité d'avoir n voisins paramagnétiques parmi les 5 qui entourent l'ion Fe $^{3+}$.

D'après la figure VI-11, représentant les P_5^n en fonction de la concentration x de Fe⁴⁺, on obtient un assez bon accord des intensités des composantes du multiplet expérimental avec les P_5^n pour des concentrations de l'ordre de 18 %. Cette valeur est à comparer à celle déterminée par affinement de la structure aux rayons X (10 %) et à celle déterminée par l'étude par spectroscopie Mössbauer sur monocristal (15 %). Il faut cependant noter que les trois échantillons sont issus de préparations différentes.

Ce même phénomène de multiplicité des raies du sextuplet a été observé par Gallagher et al. $^{(8)}$ sur les composés $\mathrm{Sr_3Fe_2O_{7-X}}$ à mélange de Fe^{3+} et de Fe $^{4+}$. Ces auteurs proposent comme explication un mécanisme selon lequel les lacunes créeraient une multitude de couplages quadrupolaires. Cependant, les différences du couplage quadrupolaire nécessaires pour rendre compte de cet effet sont anormalement grandes.

Le champ interne, à la température ambiante, mesuré comme une moyenne sur tous les sextuplets présents sur le spectre de SrNd₂Fe₂O₇ fournit une valeur nettement plus faible que le champ interne dans les autres composés de la série (cf. tableau VI-1). Cette valeur, ainsi obtenue, est directement comparable au

moment magnétique déterminé par affinement de la structure magnétique. Là aussi, le moment magnétique déterminé pour $\text{SrNd}_2\text{Fe}_2\text{O}_7$ (M = 3,7 μ_B) est nettement plus faible que pour les autres composés (M = 4 μ_B). Cette réduction apparente du moment est donc due à la présence de Fe⁴⁺ paramagnétique en quantité considérable dans ce composé.

C - STRUCTURES MAGNÉTIQUES À 300 K

Dans tous les composés étudiés par diffraction neutronique, les moments magnétiques du fer, à la température ambiante, sont situés dans le plan de base de la structure quadratique :

L'angle Θ , entre l'axe majeur du G.C.E. et la direction des spins est, pour tous ces composés, proche de $\frac{\mathbb{II}}{2}$ (tableau VI-1; figure VI-12). L'angle ϕ , la longitude de la direction des moments magnétiques, est égal à 0 pour les modes A_{X}^{-} - G_{Y}^{-} ou G_{X}^{-} - A_{Y}^{-} et égal à $\frac{\mathbb{II}}{2}$ pour les modes A_{X}^{-} + G_{Y}^{-} et G_{X}^{-} + A_{Y}^{-} . La formule VI-5 relie la valeur du couplage quadrupolaire dans l'état ordonné aux angles Θ et Φ ; elle peut donc d'une part confirmer la valeur de Φ déterminée par diffraction neutronique et d'autre part fournir la valeur de Φ . Compte-tenu de VI-2, et en négligeant la quantité $(1+\frac{n^2}{3})^{1/2}$, très proche de l'unité, la formule VI-5 devient :

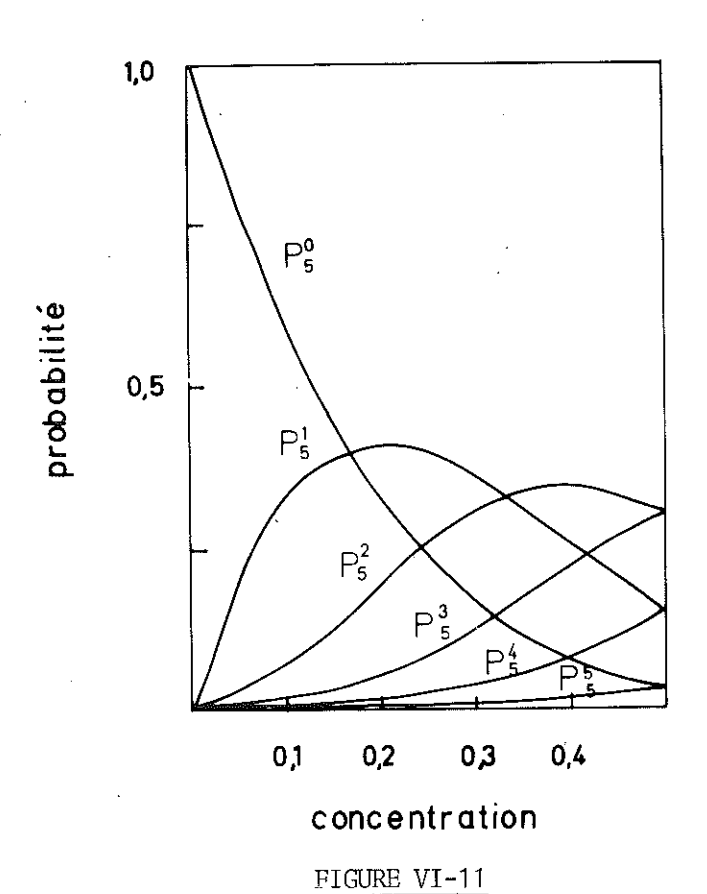
$$4\varepsilon_{\rm m} = \Delta E (3 \cos^2 \Theta - 1 + \eta \sin^2 \Theta \cos 2\phi)$$

 $\underline{\text{SrNd}}_2\underline{\text{Fe}}_2\underline{\text{O}}_7$

Les moments magnétiques sont perpendiculaires à l'axe \dot{c} ; comme il a été déterminé par l'étude sur monocristal, θ = 76°, η = 0,4.

Pour
$$\phi$$
 = 0 : $4\varepsilon_m$ = ΔE (-0,824 + 0,376) = -0,448 ΔE
Pour ϕ = $\frac{H}{2}$: $4\varepsilon_m$ = ΔE (-0,824 - 0,376) = -1,200 ΔE
C'est la valeur ϕ = $\frac{H}{2}$ qui fournit un bon accord avec l'expérience :

$$4εm$$
 (obs.) = - 1,15 ΔΕ



Probabilité de présence du spectre de chaque environnement de Fe³⁺
en fonction de la concentration en Fe⁴⁺

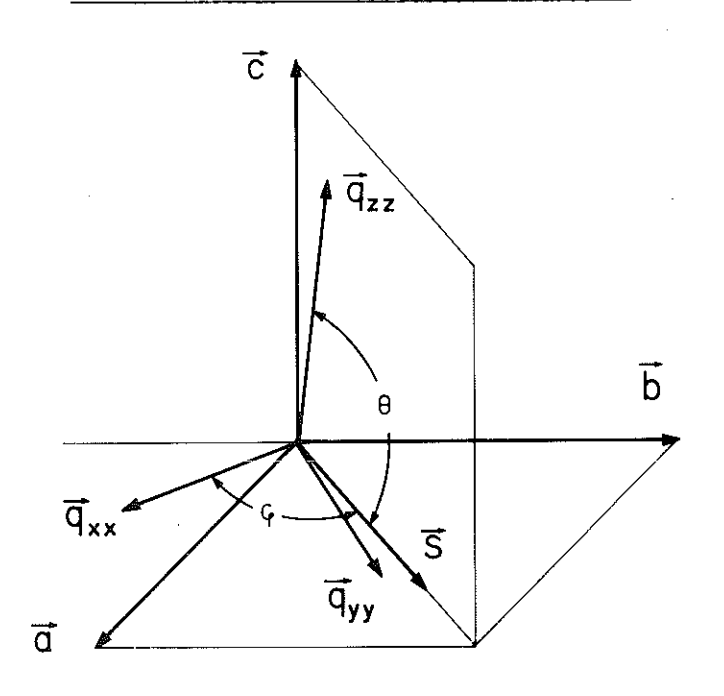


FIGURE VI-12

Orientation des axes principaux du gradient de champ électrique et des moments magnétiques à la température ambiante

$$\Theta \simeq 0$$
, $\eta = 0.43$ (tableau VI-1); $\phi = 0$ ou $\frac{II}{2}$
$$\varepsilon_{\rm m} = \frac{\Delta E}{4} (-1 \pm 0.43)$$

et l'accord avec l'expérience est encore fourni pour $\phi = \frac{\mathbb{I}}{2}$.

$$4\varepsilon_{\rm m}$$
 (obs.) = -1,44 ΔE ; $4\varepsilon_{\rm m}$ (cal.) = -1,43 ΔE

BaLa₂Fe₂O₇

 θ = $\frac{II}{2}$ et η = 0 ; l'accord entre le calcul est l'expérience est médiocre.

$$4\varepsilon_{\rm m}$$
 (obs.) = -1,42 ΔE ; $4\varepsilon_{\rm m}$ (cal.) = - ΔE

L'effet Mössbauer nous fournit une information supplémentaire par rapport à la diffraction neutronique : il nous oblige à retenir le mode $A_x^- + G_y^-$ pour $SrNd_2Fe_2O_7$ et $SrPr_2Fe_2O_7$ et le mode $G_x^- + A_y^-$ pour $SrTb_2Fe_2O_7$.

Pour les autres composés, les valeurs du couplage quadrupolaire, très voisines (ou même identiques dans certains cas) de $\varepsilon_{\rm m}$ dans ${\rm SrNd}_2{\rm Fe}_2{}^0{}_7$ et ${\rm SrTb}_2{\rm Fe}_2{}^0{}_7$ nous obligent à considérer des structures magnétiques analogues, suivant la diagonale [110].

Les modes $A_X^- + G_Y^-$ et $G_X^- + A_Y^-$ correspondent à des spins contenus dans le plan m du site; ce plan contient aussi l'axe de la bipyramide triangulaire.

<u>D - RÉORIENTATION DES MOMENTS MAGNÉTIQUES</u>

La valeur du champ interne, constante pour tous les composés, correspond à un ion fer saturé à 4,2 K.

Les valeurs du couplage quadrupolaire sont fortement modifiées pour certains de ces composés : changement de signe dans $SrNd_2Fe_2O_7$ et $SrTb_2Fe_2O_7$, forte réduction sans changement de signe pour $SrGd_2Fe_2O_7$ (figure VI-13).

Le changement de signe observé dans $SrNd_2Fe_2O_7$ et $SrTb_2Fe_2O_7$ rend compte de la réorientation des moments magnétiques observée par diffraction neutronique : $SrNd_2Fe_2O_7$, réorientation $A_X^- + G_Y^- \to A_Z^-$; $SrTb_2Fe_2O_7$: $G_X^- + A_Y^- \to A_Z^-$

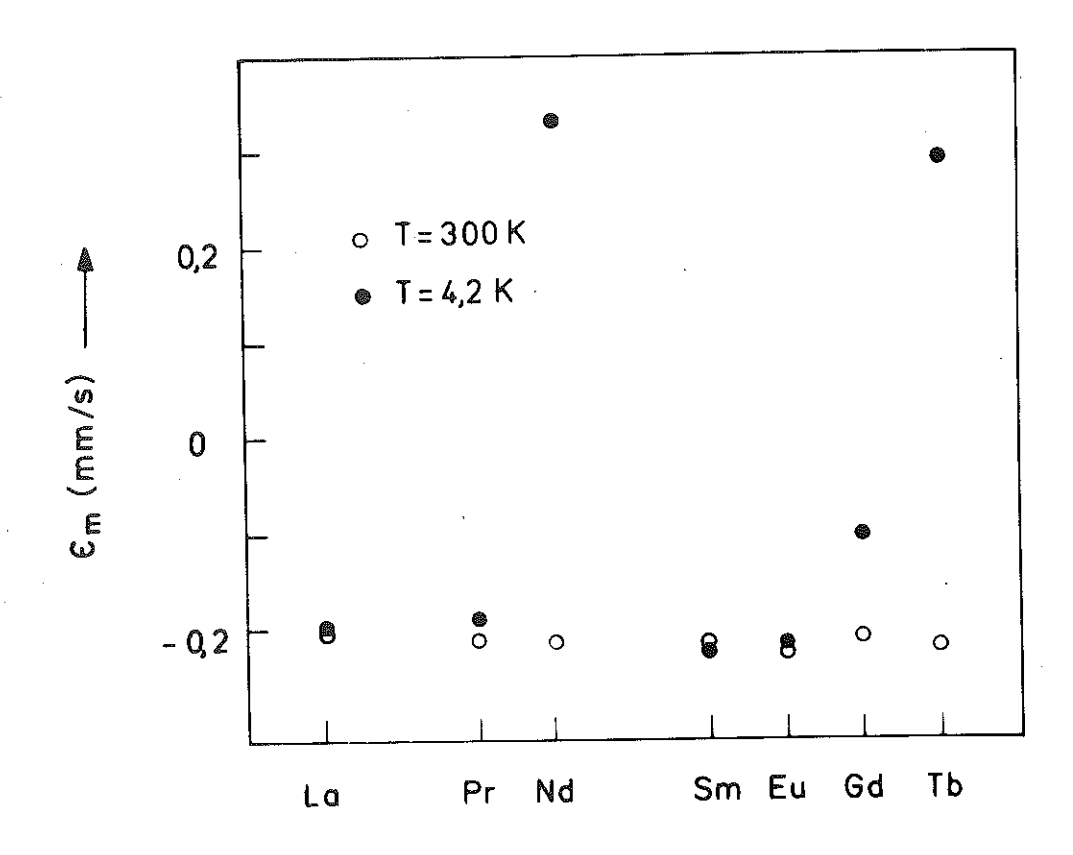


FIGURE VI-13

Couplage quadrupolaire à la température ambiante et à 4,2 K

pour les composés de la série SrLn₂Fe₂O₇

En effet, pour des spins dirigés suivant l'axe c, l'angle 0 entre la direction du champ interne (qui est essentiellement créé par les moments magnétiques) et l'axe principal du G.C.E. (qui est très proche de c) est presque nul. La formule VI-5 dans ce cas donne un bon accord entre valeurs calculées et observées.

$$\begin{array}{l} \underline{\text{SrNd}}_2\underline{\text{Fe}}_2\underline{\text{O}}_7 \ : \ \Theta = \ 14^\circ \ , \ \varphi = \frac{\Pi}{2} \ , \ \eta = \ 0,40 \\ \\ 4\varepsilon_{\text{m}} \ (\text{obs.}) \ = \ 1,77 \ \Delta E \qquad ; \qquad 4\varepsilon_{\text{m}} \ (\text{cal.}) \ = \ 1,80 \ \Delta E \\ \\ \underline{\text{SrTb}}_2\underline{\text{Fe}}_2\underline{\text{O}}_7 \ : \ \Theta \simeq \ 0 \ , \ \varphi = \frac{\Pi}{2} \ , \ \eta = \ 0,43 \\ \\ 4\varepsilon_{\text{m}} \ (\text{obs.}) \ = \ 1,88 \ \Delta E \qquad ; \qquad 4\varepsilon_{\text{m}} \ (\text{cal.}) \simeq \ 2 \ E \end{array}$$

Dans ${\rm BaLa_2Fe_2O_7}$, où nous avons mis en évidence par diffraction neutronique une rotation des moments magnétiques dans le plan de base (cf. chapitre V), le couplage quadrupolaire reste constant entre 77 K et l'ambiante. Dans

ce composé, du fait de la symétrie locale élevée autour de l'ion ${\rm Fe}^{3+}$ (4 mm), le paramètre d'asymétrie n est nul et la valeur du couplage quadrupolaire est indépendante de la direction des moments magnétiques dans le plan de base.

Pour les autres composés, où la symétrie locale du fer est (m),le paramètre η n'est pas nul. Nous pouvons considérer pour le composé du gadolinium un paramètre d'asymétrie sensiblement égal à celui du néodyme et du terbium. Une valeur η = 0,35 rend parfaitement compte d'une rotation des moments magnétiques dans le plan de base. En effet, pour $\theta \simeq \frac{\Pi}{2}$, on obtient :

$$\phi = \frac{\Pi}{2} : 4\epsilon_{\rm m}/\Delta E = -1,35$$

$$\phi = 0 : 4\epsilon_{\rm m}/\Delta E = -0.65$$

Ces valeurs sont à comparer aux valeurs expérimentales :

$$\frac{4\varepsilon_{\rm m}}{\Delta E} (300 \text{ K}) = -1,40 \qquad ; \qquad \frac{4\varepsilon_{\rm m}}{\Delta E} (4,2 \text{ K}) = -0,70$$

Dans $SrGd_2Fe_2O_7$, on assiste donc à une réorientation des spins dans le plan de base. Les moments magnétiques à 300 K sont dirigés suivant la diagonale [110] tandis qu'à 4,2 K leur direction est celle de la diagonale [1 $\overline{1}$ 0].

TABLEAU VI-3

Composés	T = 300 K	T = 4,2 K	Angle de Rotation
SrNd ₂ Fe ₂ O ₇ SrTb ₂ Fe ₂ O ₇	$A_{X}^{-} + G_{y}^{-}$ $G_{X}^{-} + A_{y}$	A _z	<u>II</u> 2
BaLa ₂ Fe ₂ O ₇ SrGd ₂ Fe ₂ O ₇	A _x [110]	A _x + A _y [110]	П 4 П 2
SrPr ₂ Fe ₂ O ₇	A _x + G _y		pas
SrSm ₂ Fe ₂ O ₇ SrEu ₂ Fe ₂ O ₇			de rotation

L'angle de rotation est de $\frac{\mathbb{II}}{2}$ dans le plan de base, alors que dans $\mathrm{BaLa_2Fe_2O_7}$, cette rotation est de $\frac{\mathbb{II}}{4}$. Mais la symétrie locale du fer dans $\mathrm{BaLa_2Fe_2O_7}$ est 4 mm tandis que dans $\mathrm{SrGd_2Fe_2O_7}$, elle est m. Cette symétrie se trouve répercutée sur l'anisotropie.

Le tableau VI-3 résume les résultats de cette étude.

E - ÉTUDE DE LA RÉORIENTATION EN FONCTION DE LA TEMPÉRATURE

La figure VI-14 représente la variation du couplage quadrupolaire apparent en fonction de la température.

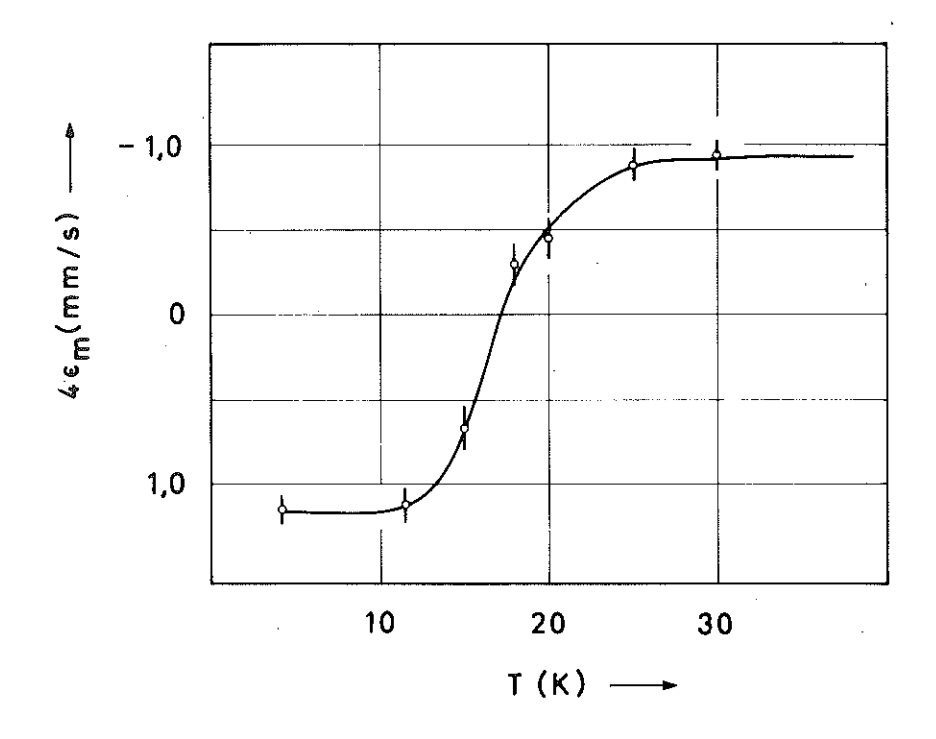


FIGURE VI-14

La rotation est continue, lente au début, très rapide aux alentours de 17 K. Les résultats de la diffraction neutronique sont ainsi confirmés : l'ordre de la terre rare accompagne la réorientation des moments magnétiques du fer.

F - AUTRES MÉTHODES D'OBSERVATION DE LA RÉORIENTATION

On peut également étudier le phénomène de réorientation par :

- 1 Mesures de R.M.N. $^{(8)}$ sur monocristal, ou de résonance antiferromagnétique $^{(9)}$.
 - 2 Etude du cycle d'hystérésis ⁽¹⁰⁾ ou mesures de couple de torsion ⁽¹¹⁾.
- 3 Mesures des constantes élastiques aussi bien sur monocristal $^{(12)}$ que sur poudre $^{(13)}$. L'expérience que nous avons réalisée en collaboration avec A. Waintal sur barreau fritté de BaLa $_2$ Fe $_2$ O $_7$ n'a pas été concluante, vraisemblablement en raison de mauvais contacts entre les grains. La taille des cristaux de SrNd $_2$ Fe $_2$ O $_7$ disponibles ne nous a pas permis d'étudier le phénomène sur monocristal.

Les méthodes précédentes font intervenir les phénomènes dus au fer. En fait, comme la réorientation des moments magnétiques du fer est liée à l'apparition d'un ordre sur la terre rare, on peut réaliser des expériences de chaleur spécifique $^{(14)}$ ou d'absorption optique $^{(15)}$. Une étude par effet Mössbauer du composé $\mathrm{SrTb}_2\mathrm{Fe}_2\mathrm{O}_7$ dopé au Dy est en cours.

RÉFÉRENCES

- 1 G.K. WERTHEIM

 Mössbauer effect, Principles and Applications, Academic Press, New York (1964)
- 2 R.L. WALKER, G.K. WERTHEIM, V. JACARINO Phys. Rev. Letters, 6, 98 (1961)
- 3 J. CHAPPERT
 J. de Physique, <u>28</u>, 81 (1967)
- 4 M. EIBSCHÜTZ, S. STRIKMAN, D. TREVES Phys. Rev., <u>156</u>, 562 (1967)
- 5 J. CHAPPERT Thèse, Grenoble (1966)
- 6 R.M. STERNHEIMER
 Phys. Rev., 130, 1423 (1963)
- 7 R. INGALLS
 Phys. Rev., <u>133</u>, A 787 (1964)
- 8 R.W. HOUGTON, W. WEYHMANN Phys. Rev. Letters, <u>20</u>, 842 (1968)
- 9 R.C. LE GRAW, R. WOLFE, E.M. GYORGY, F.B. HAGEDORN, J.C. HENSEL, J.P. REMEIKA J. Appl. Phys., 39, 1019 (1968)
- 10 R. WOLFE, R.D. PIERCE, S.E. HAZKO, J.P. REMEIKA Appl. Phys. Letters, <u>11</u>, 245 (1967)
- 11 E.M. GYORGY, J.P. REMEIKA, F.B. HAGEDORN J. Appl. Phys., <u>39</u>, 1369 (1968)

- 12 K.P. BELOV, A.M. KADOMISEVA, S.A. MEDVEDEV, V.V. USKOV, A.Y. CHERVONENKIS Soviet Physics, JETP, 30, 613 (1970)
- 13 K.P. BELOV, A.M. KADOMTSEVA, I.B. KRINETSKII, T.L. OVCHINNICOVA, V.A. TIMOFEEVA, L.M. POMIRCHI, A.V. CHEVRONENKIS

 Soviet Physics, JETP, 36, 1136 (1976)
- 14 J. PEYRARD, J. SIVARDIERE
 Solid State Communications, 7, 605 (1969)
- 15 D.L. WOOD, L.M. HOLMES, J.P. REMEIKA Phys. Rev., 185, 689 (1969)

CHAPITRE VII

LE CHAMP CRISTALLIN SUR LA TERRE RARE ET LES INTERACTIONS FER-TERRE RARE

I - LE CHAMP CRISTALLIN SUR LA TERRE RARE

La direction des moments magnétiques dans le domaine ordonné peut être dictée aussi bien par le tenseur \bar{g} , dont l'anisotropie provient du champ cristallin agissant au niveau de la terre rare, que par l'anisotropie du tenseur d'échange $\bar{\bar{G}}$. En réalité, les deux causes d'anisotropie sont présentes simultanément et la direction des moments magnétiques est imposée par le produit des deux tenseurs (1).

En général, les axes principaux de $\bar{\bar{G}}$ sont supposés être les mêmes que ceux de $\bar{\bar{g}}$; seule la valeur relative des composantes principales diffère. L'influence de $\bar{\bar{G}}$ a donc comme conséquence une déviation des moments magnétiques de la direction imposée par $\bar{\bar{g}}$.

Dans ce qui suit, nous calculons, à l'aide du champ cristallin, la valeur du moment magnétique de la terre rare et sa direction et les comparons aux valeurs expérimentales.

A - SRTB2FE207

L'ion ${\rm Tb}^{3+}$ est un ion à nombre pair d'électrons. La dégénérescence du fondamental $^7{\rm F}_6$ dans un site d'aussi basse symétrie que ${\rm C_S}({\rm m})$ est donc complètement levée par le champ cristallin $^{(2)}$, ce qui donne naissance à 13 singulets non dégénérés. Cependant, comme l'indique le moment magnétique relativement élevé que nous avons déterminé, la séparation des deux singulets les plus bas est très faible : le fondamental est un 'pseudo-doublet'. Dans ce cas, les deux représen-

tations décrivant le doublet étant de dimension 1 (il n'y a que des représentations unidimensionnelles dans C_s), leur produit est également de dimension 1 et, par conséquent, les moments seront dirigés selon une direction déterminée par ce produit : le tenseur \bar{g} se réduit à un vecteur \bar{g} (modèle d'Ising). Ce vecteur est soit dans le plan m du site, soit perpendiculaire à celui-ci ⁽⁴⁾. Effectivement, à l'erreur expérimentale près, on a $S_x \simeq S_y$ et le moment magnétique du terbium se trouve dans le plan m (x x z) pour les atomes 1, 2, 5, 6 et dans le plan m (x \bar{x} z) pour les atomes 3, 4, 7, 8.

L'hamiltonien de champ cristallin s'écrit :

$$H_c = \alpha \ (V_2^0 O_2^0 + V_2^2 O_2^2 + V_2^{-2} O_2^{-2}) + \beta \ x \text{ termes d'ordre 4}$$

+ $\gamma \ x \text{ termes d'ordre 6}$

où les V_{ℓ}^m sont les coefficients de champ cristallin, O_{ℓ}^m les opérateurs équivalents de Stevens ⁽⁵⁾, et α , β , γ les coefficients de Stevens.

L'axe de quantification Oz est pris perpendiculaire au plan m, suivant [1 $\overline{1}0$]. L'axe cristallographique \overline{c} est confondu avec 1'axe Oy du trièdre de quantification. Dans le groupe C_s il y a deux représentations irréductibles Γ_1 (S_z) et Γ_2 (S_x , S_y). Si les deux singulets appartiennent à la même représentation, les moments seront dirigés suivant 1'axe Oz, s'ils appartiennent à deux représentations différentes, ils seront dirigés suivant une droite du plan m mais on ne peut pas prévoir cette direction à priori car S_x et S_y se transforment suivant la même représentation Γ_2 . Par contre, la détermination de cette direction est possible dans le groupe C_{2V} où S_x , S_y , S_z se transforment suivant des représentations différentes. En effet, ce qui différencie le groupe C_s du groupe C_{2V} , est la présence dans \mathcal{H}_c de termes supplémentaires V_{ℓ}^{-m} O_{ℓ}^{-m} imaginaires. Si un terme de ce type est prépondérant, on peut le rendre nul par une rotation autour de Oz d'un angle θ tel que tgm θ = V_{ℓ}^{-m} / V_{ℓ}^{m} . Dans le nouveau système d'axes, \mathcal{H}_c est pratiquement réel, donc invariant dans C_{2V} , et par conséquent les moments magnétiques sont dirigés obligatoirement selon les nouveaux axes

Les coefficients
$$V_{\ell}^{m}$$
 sont fournis par l'expression $V_{\ell}^{m} = A_{\ell}^{m} < r^{\ell} > A_{\ell}^{m} = \sum_{j} \frac{4\pi}{2\ell + 1} \frac{Z_{j}e^{2}}{R_{j}(\ell + 1)} (-1)^{m} Y_{\ell}^{m}(\vec{R})$

où Z_j e est la charge de l'ion en position \vec{R}_j .

Nous calculons les coefficients A_{ℓ}^m en effectuant une sommation à l'intérieur d'une sphère de 30 Å. En appliquant un coefficient d'écrantage σ = 0,5 pour les termes d'ordre 2 et en utilisant les valeurs de < r^{ℓ} > fournies par Freeman et Watson (7) nous obtenons les coefficients V_{ℓ}^m de champ cristallin. Les termes V_2^2 = 2100 cm⁻¹ et V_2^{-2} = 160 cm⁻¹ sont prépondérants.

L'angle de rotation qui doit permettre d'annuler les termes imaginaires est ainsi déterminé égal à 2° *. Le calcul des V_{ϱ}^{m} dans le nouveau système d'axes fournit des termes imaginaires d'ordre quatre inférieurs au terme V_{2}^{2} mais pas négligeables : V_{4}^{-2} = 230 cm⁻¹, V_{4}^{-4} = 430 cm⁻¹. Nous ne pouvons donc pas accorder une grande confiance à l'angle de rotation (direction des moments magnétiques) ainsi déterminé.

Ce résultat indique que les fonctions d'onde de ${\rm Tb}^{3+}$ possèdent une symétrie qui n'est que très approximativement celle du groupe ${\rm C}_{2{\rm V}}$. Le calcul complet des états d'énergie de l'hamiltonien de champ cristallin et des fonctions d'onde correspondantes est donc nécessaire.

La matrice de l'hamiltonien peut s'écrire à l'aide des éléments de matrice des opérateurs équivalents 0^{m}_{ℓ} calculés d'après les tableaux de Hutchings (8). Les niveaux d'énergie de ${\cal H}$ sont obtenus par diagonalisation.

Nous trouvons ainsi, comme prévu, deux singulets distants de 2,8 cm⁻¹ formant un pseudodoublet fondamental ; le premier niveau excité est à 72 cm⁻¹ et la décomposition totale du terme fondamental est de 230 cm⁻¹.

Le calcul de l'élément de matrice des opérateurs 'moment magnétique' entre les deux fonctions d'onde du doublet fournit la valeur du moment : M = 8,2 μ_B , valeur comparable à celle fournie par l'expérience (7,5 μ_B). Sa direction pour l'atome en $\frac{1}{4},\,\frac{1}{4},\,0$,18 fait un angle de - 4° avec l'axe [110]. Il est remarquable que la méthode simplifiée, malgré les approximations faites, fournit sensiblement le même résultat. La différence entre le calcul et l'expérience, où nous trouvons un angle de 62° avec [110], est trop grande pour être attribuée à l'approximation des charges ponctuelles ou à l'imprécision des paramètres de position atomiques.

^{*}La direction du moment magnétique est, dans ce cas, proche de 1'axe [110] (Ox du trièdre de quantification). En effet, le coefficient αV_2^2 de 1'opérateur de Stevens $O_2^2 \propto J_X^2 - J_y^2$ est négatif et 1'état fondamental correspond à Ox.

$B - SRND_2FE_2O_7$

Pour les ions Kramers, on peut opérer de la même manière que pour les ions à nombre pair d'électrons et déterminer un angle de rotation autour de l'axe de quantification qui permet d'annuler les termes imaginaires. Mais, pour le groupe double associé à C_{2v} décrivant les ions de Kramers, il n'y a qu'une seule représentation irréductible, de dimension deux. Dans ce cas, la théorie des groupes ne peut prévoir aucune direction des moments : on obtient seulement la direction des axes principaux du tenseur \bar{g} . Seule la connaissance de la fonction d'onde du doublet fondamental peut indiquer la grandeur respective des composantes g_x , g_y , g_y et donc la direction de facile aimantation.

Nous faisons le calcul complet des états d'énergie de l'hamiltonien de champ cristallin et des fonctions d'onde associées. Nous obtenons ainsi le schéma d'énergie des niveaux issus du terme fondamental $J=\frac{9}{2}$. Ils présentent une décomposition totale de 270 cm⁻¹. Le premier niveau excité se situe à 68 cm⁻¹ du doublet fondamental. Le moment magnétique, calculé à partir du seul doublet fondamental, est égal à 2,1 μ_B , faisant un angle de - 11,6° avec l'axe [110]. Or, par affinement de la structure magnétique, nous trouvons que les moments magnétiques sont dirigés selon l'axe \dot{c} .

Le champ cristallin ne peut pas rendre compte de la direction observée des moments magnétiques de la terre rare. Il est donc possible que cette direction soit le résultat d'un compromis entre l'anisotropie du champ cristallin et l'anisotropie de l'échange.

II - ORDRE DU SOUS-RÉSEAU DE LA TERRE RARE

Les résultats obtenus au cours de la présente étude se trouvent rassemblés sur le tableau VII-1.

Plusieurs arguments plaident en faveur d'un ordre induit sur le sousréseau de la terre rare par le champ effectif des interactions fer-terre rare.

1°) Température d'ordre élevée : $T_{\rm N_2}$ (Tb) \simeq 17 K (en l'absence de champ magnétique).

Dans d'autres pérovskites de terre rare, 1'ordre coopératif sur celle-

ci, provenant des interactions (essentiellement dipolaires) entre ions de terre rare, ne s'établit qu'à des températures beaucoup plus basses (2-3 K). A titre de comparaison, pour l'orthoferrite TbFeO $_3$, la température d'ordre induit de Tb est de 8,4 K, tandis que l'ordre coopératif ne s'établit qu'à 3,1 K $^{(9)}$. Dans le cas des ferrites grenats, jusqu'à 1,5 K $^{(10)}$, la terre rare ne s'ordonne pas coopérativement.

TABLEAU VII-1

Composés	Ordre T.R.	Réorientation
SrTb ₂ Fe ₂ O ₇ SrNd ₂ Fe ₂ O ₇	oui	<u> </u> c → c
SrEu ₂ Fe ₂ O ₇ SrSm ₂ Fe ₂ O ₇ SrPr ₂ Fe ₂ O ₇	non	non
SrGd ₂ Fe ₂ O ₇ BaLa ₂ Fe ₂ O ₇	non -	réorientation C

- 2°) Déplacement de la température d'ordre avec le champ appliqué : l'action d'un champ extérieur renforce le champ d'échange agissant au niveau de la terre rare.
- 3°) Au-dessous de la température d'ordre, la susceptibilité de l'ion Nd³⁺ n'est pas celle d'un ion ordonné coopérativement, mais présente un caractère paramagnétique.
- 4°) L'ion porteur du faible moment ferromagnétique, observé sur $\rm SrTb_2Fe_2O_7$ déjà au-dessus de $\rm T_{N_2}$ et sur $\rm SrNd_2Fe_2O_7$ à partir de $\rm T_{N_2}$, n'a pu être déterminé par diffraction de neutrons non polarisés, vu sa faible valeur (\sim 10 $^{-2}$ $\mu_B/mole$).

D'après le tableau des représentations du groupe P4₂/mnm (tableau IV-1) le mode $G_X^- + A_y^-$ du fer, observé à haute température dans $SrTb_2Fe_2O_7$, peut être couplé à F_Z^+ dans la représentation A_{2g} . De même un ferromagnétisme décrit par le

mode F_X^+ peut être associé au mode A_Z^- observé à basse température dans la représentation E_g^- .

En ce qui concerne $\mathrm{SrNd}_2\mathrm{Fe}_2\mathrm{O}_7$, le ferromagnétisme, observé par mesures magnétiques sur monocristal, est décrit par le mode $\mathrm{F}_{\mathrm{X}}^+$ associé à $\mathrm{A}_{\mathrm{Z}}^-$. Mais les configurations des moments magnétiques, aussi bien du fer que du néodyme, sont représentées par $\mathrm{A}_{\mathrm{Z}}^-$ et il y a ambiguîté quant à l'ion porteur du faible ferromagnétisme.

Dans les deux cas, d'après la théorie macroscopique, la présence d'un moment ferromagnétique sur le sous-réseau du fer ne peut pas être exclue. Il est donc plausible d'envisager un mécanisme de polarisation de la terre rare.

Ce faible ferromagnétisme sur le sous-réseau du fer pourrait avoir deux origines possibles : le champ cristallin (cas de NiF_2) ou le couplage antisymétrique de Dzialoshinski-Moriya (cas de Fe_2O_3 - α , LnFeO_3). Or, dans les deux cas, le phénomène est lié à la déformation du site du fer qui est sensiblement la même dans tous les composés de la série. On voit mal pourquoi dans les composés autres que ceux de Tb et Nd on n'aurait pas de faible ferromagnétisme sur le fer. Cette considération nous amène (en attendant les résultats de l'étude par neutrons polarisés) à considérer l'ion de terre rare comme porteur du faible moment ferromagnétique. Cela équivaut à envisager un mécanisme d'induction d'un ordre sur la terre rare par les interactions d'échange.

En effet, la terre rare s'ordonne dans les cas où on peut prévoir des interactions Fe-Ln fortes.

Pour les ions de Kramers, l'action du champ cristallin de symétrie $\mathbf{C_S}$ (m) aboutit à la création de doublets de Kramers, qui peuvent avoir une forte interaction avec le sous-réseau du fer. C'est ce qui se passe vraisemblablement pour Nd^{3+} .

L'ion ${\rm Tb}^{3+}$ possède un nombre pair d'électrons. Cependant, son fondamental est un ''doublet accidentel''. Cette disposition a été souvent observée pour ${\rm Tb}^{3+}$ (TbFeO $_3$, TbIG).

L'interaction d'échange est proportionnelle à $(g_J$ - 1) / g_J . Cette quantité est positive pour Tb, négative pour Nd. En effet, nous observons les modes A_z^- (Tb) et A_z^- (Fe) dans ${\rm SrTb}_2{\rm Fe}_2{\rm O}_7$ alors que dans ${\rm SrNd}_2{\rm Fe}_2{\rm O}_7$ les modes sont

- A_z^- (Nd) et A_z^- (Fe).

Dans \Pr^{3+} , la levée de dégénérescence est totale ; on n'a manifestement que des singulets, non magnétiques, bien séparés, comme l'indique l'absence d'ordre jusqu'à 4,2 K. C'est aussi le cas de Eu^{3+} , dont le fondamental est un singulet (J=0).

L'absence d'ordre sur Gd³⁺ laisse conclure à la très faible valeur de l'échange isotrope. En effet, l'ion Gd³⁺ se trouvant dans un état S, l'échange anisotrope est négligeable. Seul l'échange isotrope pourrait rendre compte de l'interaction Fe-Gd.

Dans GdFeO_3 et GdIG , le gadolinium est ordonné par les interactions d'échange isotropes dues au ferromagnétisme du sous-réseau du fer. Ceci pourrait aussi expliquer le cas de Sm^{3+} qui s'ordonne dans SmFeO_3 et pas dans $\mathrm{SrSm}_2\mathrm{Fe}_2\mathrm{O}_7$.

Les interactions d'échange anisotropes entre sous-réseaux de fer et de terre rare peuvent rendre compte de l'établissement ou de l'absence d'un ordre sur la terre rare. Les interactions d'échange isotropes sont presque nulles.

III - RÉORIENTATION DES MOMENTS MAGNÉTIQUES DU FER

Les réorientations observées des moments magnétiques ou l'absence de réorientation peuvent également être attribuées aux interactions d'échange anisotropes.

En effet, on n'observe la réorientation $\bot\vec{C}$ → $||\vec{C}|$ que lorsque les interactions fer-terre rare sont fortes : c'est le cas de $SrTb_2Fe_2O_7$ et $SrNd_2Fe_2O_7$.

Dans $\mathrm{BaLa_2Fe_2O_7}$, les moments magnétiques du fer, libres de toute contrainte d'anisotropie de la part de la terre rare, tournent dans le plan de base de la structure quadratique, par suite d'une variation thermique de la faible constante d'anisotropie dans ce plan.

La situation dans ${\rm SrGd_2Fe_2O_7}$, où l'interaction d'échange entre deux ions se trouvant dans des états S ne présente aucune anisotropie, est vraisemblablement la même que dans ${\rm BaLa_2Fe_2O_7}$.

Pour les autres composés, $SrPr_2Fe_2O_7$, $SrSm_2Fe_2O_7$ et $SrEu_2Fe_2O_7^*$, où l'ion de terre rare n'est pas ordonné jusqu'à 4,2 K, les interactions d'échange sont manifestement faibles. L'anisotropie qui en résulte est trop faible pour provoquer -dans le cas où l'axe \vec{c} est privilégié par l'échange- une réorientation des moments magnétiques du fer vers cet axe. Elle peut cependant être suffisante pour surmonter la faible anisotropie de champ cristallin du fer dans le plan de base. Nous avons estimé que la différence d'énergie d'anisotropie du fer entre l'axe \vec{c} et le plan de base est $\Delta E_a \simeq 3.10^5 \ erg/cm^3$. L'anisotropie dans le plan de base est certainement bien inférieure. Une faible anisotropie d'échange Fe-Ln serait alors suffisante pour empêcher la rotation des moments magnétiques du fer dans le plan de base.

Le caractère anisotrope de l'échange Fe-In dans les composés ${\rm SrIn}_2{\rm Fe}_2{\rm O}_7$ est très marqué. Contrairement au cas des grenats, l'échange isotrope est presque nul (voir le cas de ${\rm Sm}^{3+}$ et ${\rm Gd}^{3+}$ qui ne s'ordonnent pas). Dans les orthoferrites l'échange isotrope est faible mais pas nul. Ceci est dû à la présence de la faible composante ferromagnétique. Cependant, le rôle principal est joué par l'échange anisotrope. C'est lui qui, à basse température, avec l'anisotropie de la terre rare, entraîne la rotation des moments magnétiques du fer. Dans les grenats, au contraire, l'anisotropie de l'échange entre les deux sous-réseaux stabilise les moments du fer selon [111]. Un compromis a lieu à toute température entre les tenseurs \bar{g} de la terre rare et \bar{G} d'échange anisotrope, et les moments magnétiques de la terre rare tournent graduellement à basse température (ouverture du parapluie) vers une direction imposée par \bar{g} .

A - MODÈLE DE RÉORIENTATION

Pour décrire la réorientation comme conséquence de l'interaction d'échange anisotrope ⁽¹¹⁾⁽¹²⁾, on peut écrire l'énergie de couplage dans les deux phases, avant et après la réorientation :

$$\Delta_z = 2 \mu_z H_z$$
 et $\Delta_{xy} = 2 \mu_{xy} H_{xy}$

où μ_z et μ_{xy} sont les moments à saturation dans la direction de l'axe c et dans le plan de base respectivement.

^{*}A T > 0, l'ion Eu^{3^+} n'est plus décrit par J = 0 à cause de la proximité des états excités.

Au moment de la réorientation, le moment m* induit sur la terre rare est faible ; on est loin des conditions de saturation et on peut écrire :

$$\frac{m_{\alpha}}{\mu_{\alpha}} = \frac{\Delta_{\alpha}}{2KT} \qquad (\alpha = z, xy)$$

Pendant la réorientation, si Θ est l'angle des moments magnétiques du fer avec l'axe \vec{c} , les composantes du champ d'échange sont H_{XY} sin Θ et H_Z cos Θ .

Les moments induits sur la terre rare dans les deux directions sont :

$$\mathbf{m}_{\mathbf{x}\mathbf{y}} = \frac{\mu_{\mathbf{x}\mathbf{y}}^2 \quad \mathbf{H}_{\mathbf{x}} \sin \Theta}{kT} \qquad \qquad ; \qquad \qquad \mathbf{m}_{\mathbf{z}} = \frac{\mu_{\mathbf{z}}^2 \quad \mathbf{H}_{\mathbf{z}} \cos \Theta}{kT}$$

et l'énergie de couplage :

$$-\vec{m} \cdot \vec{H} = -\frac{\mu_{xy}^2 H_{xy}^2 \sin^2\theta + \mu_z^2 H_z^2 \cos^2\theta}{kT}$$

En écrivant l'énergie d'anisotropie du fer :

$$E_a = K_1 \sin^2 \Theta + K_2 \sin^4 \Theta$$
 $(K_1 < 0)$

et l'entropie :

$$S = K \left\{ log 2 - \frac{1}{2} \left| \left(\frac{m_{xy}}{u_{xy}} \right)^2 + \left(\frac{m_z}{u_z} \right)^2 \right| \right\}$$

l'énergie libre est :

$$F = U - TS = E_a - \overrightarrow{m} \overrightarrow{H} - TS$$

On obtient les solutions stables en minimisant F par rapport à Θ . L'équation $\frac{\partial F}{\partial \Theta}$ = 0 admet les solutions :

$$\Theta = 0 \pmod{A_7}$$
 pour T < T₁

$$\Theta = \frac{\Pi}{2} \text{ (mode } G_X^- + A_y^- \text{ ou } A_X^- + G_y^-) \text{ pour } T > T_2$$

$$m_{a} = \frac{H_{\alpha}G_{\alpha}g_{\alpha}}{\left[\sum_{\alpha}H_{\alpha}^{2}G_{\alpha}^{2}\right]^{1/2}}$$

L'expression du moment induit sur le sous-réseau de la terre rare par le champ d'échange suivant une direction $\alpha(x, y, z)$ est :

$$\sin^2 \Theta = \frac{\frac{\Delta_{xy}^2 - \Delta_z^2}{kT} - 8 K_1}{16 K_2}$$
 pour $T_1 < T < T_2$

Les températures \mathbf{T}_1 et \mathbf{T}_2 de début et de fin de la réorientation sont données par :

$$kT_1 = \frac{\Delta_{xy}^2 - \Delta_z^2}{8 K_1}$$
; $kT_2 = \frac{\Delta_{xy}^2 - \Delta_z^2}{8 (K_1 + 2K_2)}$

La température à laquelle la réorientation a lieu dépend des valeurs respectives de l'anisotropie propre du fer et de l'anisotropie du couplage ferterre rare.

La réorientation a toujours lieu à condition que $\Delta_{_Z}>\Delta_{_{\mbox{Xy}}}$; sinon $T_1,\,T_2<0$ et il n'y a pas de réorientation.

La largeur du domaine de réorientation

$$\frac{T_2 - T_1}{T_2} = \frac{2 K_2}{K_1}$$

dépend uniquement du fer. La transition est d'autant plus large qu'elle a lieu à plus haute température.

Entre T_1 et T_2 , l'anisotropie globale diminue :

$$K_1 = K_1 \left(1 - \frac{\Delta_{xy}^2 - \Delta_z^2}{8 \text{ kT}} \right)$$

ce qui explique les pics de susceptibilité observés aussi bien sur ${\rm SrTb_2Fe_2O_7}$ (figure III-9, figure III-12) que sur ${\rm SrNd_2Fe_2O_7}$ (figure V+8)

Nous avons considéré dans le calcul précédent que $\mathrm{K}_2\neq 0.$ Si on néglige $\mathrm{K}_2,$ on a :

$$F = K_1 \sin^2 \Theta - \frac{\Delta_{xy}^2}{8kT} \sin^2 \Theta - \frac{\Delta_{z}^2}{8kT} \cos^2 \Theta - kT \log 2$$

et la minimisation de F par rapport à θ fournit les deux solutions :

$$\Theta = 0 \pmod{A_Z}$$
 pour T < T_R

$$\Theta = \frac{\pi}{2} \text{ (mode } G_X^- + A_y^- \text{ ou } A_X^- + G_y^-) \text{ pour } T > T_R$$

avec

$$kT_{R} = \frac{\Delta_{xy}^{2} - \Delta_{z}^{2}}{8 K_{1}}$$

La transition à T_R est du premier ordre : les fonctions F, S et U sont discontinues à T_R , en raison de la discontinuité de 0. Or selon l'expérience, aucune discontinuité de la variation thermique des intensités magnétiques n'a été observée, pas plus que du couplage quadrupolaire en effet Mössbauer. Le cas $K_2 \neq 0$ rend bien compte de la réalité expérimentale puisque dans ce cas θ varie de façon continue ; les deux transitions à T_1 et T_2 sont du deuxième ordre.

Selon la théorie de Bertaut, les modes $G_X^- + A_y^-$ (ou $A_X^- + G_y^-$) et A_Z^- appartienment à deux représentations irréductibles différentes du groupe d'espace et ne sont pas couplés par une énergie d'ordre deux. Le couplage existe dans une expression d'énergie d'ordre 4, ce dont rend compte le terme $K_2^- \sin^4\theta$.



RÉFÉRENCES

- 1 W.P. WOLF
 Proc. Phys. Soc., 74, 665 (1959)
- 2 M. TINKHAM
 ''Group Theory and Quantum Mechanics'', McGraw-Hill, New-York (1964)
- 3 J.S. GRIFFITH
 Phys. Rev., <u>132</u>, 316 (1963)
- 4 A.P. MALOZEMOFF, R.L. WHITE Solid State Comm., <u>8</u>, 665 (1970)
- 5 K.W.H. STEVENS Proc. Phys. Soc., <u>A 65</u>, 209 (1952)
- 6 J. ROSSAT-MICNOD, F. TCHEOU Journal de Physique, <u>33</u>, 423 (1972)
- 7 A.J. FREEMAN, R.E. WATSON Phys. Rev., <u>127</u>, 2058 (1962)
- 8 M.T. HUTCHINGS Solid State Phys., <u>16</u>, 277 (1964)
- 9 E.F. BERTAUT, J. CHAPPERT, J. MARESCHAL, J.P. REBOUILLAT, J. SIVARDIERE Solid State Comm., <u>5</u>, 293 (1967)
- 10 F. TCHEOU Thèse, Grenoble (1972)
- 11 J. SIVARDIERE Solid State Comm., <u>7</u>, 1555 (1969)
- 12 J. SIVARDIERE, F. TCHEOU Solid State Comm., 9, 877 (1971)



RESUME ET CONCLUSION

Au cours de ce travail, nous avons mis en évidence une nouvelle série de ferrites mixtes de terre rare et d'alcalinoterreux, et étudié les propriétés structurales et magnétiques des composés de cette série. Dans ce but, nous avons utilisé des techniques expérimentales variées et complémentaires : diffraction de rayons X et de neutrons à différentes températures, mesures de susceptibilité et d'aimantation sur poudre et monocristaux, spectroscopie Mössbauer.

La série $ALn_2Fe_2O_7$ a été mise en évidence par des méthodes de synthèse de matériaux variées. En vue de la préparation, par la méthode du flux, d'échantillons monocristallins destinés aux mesures physiques, nous avons établi le diagramme de phases $NdFeO_3$ - $SrO-Bi_2O_3$. Nous avons ainsi pu élaborer des monocristaux d'une taille suffisante (\sim 1 cm). L'établissement du diagramme de phases nous a permis de déterminer les conditions d'élaboration d'autres composés, tels que $SrLnFeO_4$, $Sr_XLn_{1-x}FeO_{3-\delta}$, $Sr(Ln_XBi_{3-x})O_5$,5. L'étude structurale et physique de ces composés présente un intérêt certain.

Les structures cristallographiques de trois membres représentatifs de cette série ont été déterminées à l'aide de la diffraction de rayons X et de neutrons sur poudre et monocristal. De cette étude se dégagent les éléments suivants :

- Les composés de cette série se classent en deux types structuraux distincts, à maille centrée (I4/mmm) ou primitive (P4₂/mmm). Leur structure est constituée par l'empilement de blocs bidimensionnels de type pérovskite et de couches de type NaC1.
- Dans les deux types structuraux, l'environnement du fer est un octaèdre très déformé, avec cinq proches voisins oxygène et un sixième nettement éloigné. Le polyèdre de coordination, dans les composés ayant la symétrie du groupe spatial P4₂/mnm, possède des analogies avec une bipyramide triangulaire. La forme de ce polyèdre nous a permis d'expliquer les propriétés d'anisotropie de l'ion fer trivalent.

- Réduction du nombre de premiers voisins de la terre rare en fonction de son rayon ionique.
- Non stoechiométrie du composé SrNd₂Fe₂O₇, ce qui a permis d'expliquer les spectres Mössbauer de ce composé.

L'étude des propriétés magnétiques des composés de la série, par mesures de susceptibilité et d'aimantation, nous a fourni les renseignements suivants :

- L'ordre antiferromagnétique du sous-réseau du fer s'établit à des températures de l'ordre de 550 K, comme une conséquence des interactions d'échange isotropes entre proches voisins Fe³⁺.
- Les deux sous-réseaux, de fer et de terre rare, sont faiblement couplés à haute température. A basse température, dans certains cas (Tb, Nd), le couplage devient assez fort pour provoquer l'ordre de la terre rare. La température d'ordre de celle-ci dépend du champ appliqué pour la mesure.

La détermination des structures magnétiques par diffraction neutronique a montré, qu'à haute température, quand les interactions des deux sous-réseaux sont faibles, la configuration antiferromagnétique du fer est décrite par le mode $G_{x}^{-} \pm A_{y}^{-}$ dans $SrTb_{2}Fe_{2}O_{7}$, $A_{x}^{-} \pm G_{y}^{-}$ dans $SrNd_{2}Fe_{2}O_{7}$ et $SrPr_{2}Fe_{2}O_{7}$ et $\alpha A_{x}^{-} + \beta A_{y}^{-}$ dans $BaLa_{2}Fe_{2}O_{7}$. Dans tous les cas les spins sont dirigés perpendiculairement à l'axe \dot{c} . Cette direction a comme origine le champ cristallin dans le site bipyramidal du fer.

L'étude par spectroscopie Mössbauer a permis de lever l'ambiguîté laissée par la diffraction neutronique quant à la direction des spins suivant la diagonale de base [110] ou [110]. Nous avons pu établir ainsi qu'ils sont dirigés suivant [110].

La spectroscopie Mössbauer a également permis de déterminer la structure magnétique du fer dans les composés qu'il est impossible d'étudier par diffraction neutronique en raison de la grande absorption de la terre rare.

A basse température, nous avons déterminé par diffraction neutronique la structure magnétique de la terre rare dans les composés du terbium et du néodyme. Dans ${\rm SrTb}_2{\rm Fe}_2{\rm O}_7$ elle est décrite par les modes ${\rm F}_{\rm X}^+,\,{\rm C}_{\rm y}^+,\,{\rm A}_{\rm z}^-$: c'est une configuration ferromagnétique – antiferromagnétique complexe. Dans ${\rm SrNd}_2{\rm Fe}_2{\rm O}_7$ le mode magnétique est – ${\rm A}_{\rm z}^-$. Nous avons pu mettre en évidence par mesures magnétiques sur

monocristal la présence d'un faible ferromagnétisme ($\sim 10^{-2}~\mu_B/mole$) décrit par le mode F_X^+ . Cependant, il reste à préciser par diffraction de neutrons polarisés, si le faible ferromagnétisme est porté par la terre rare ou par le fer. Dans le dernier cas, on aurait un mécanisme possible de polarisation de la terre rare.

L'étude par diffraction neutronique à basse température, complétée par la spectroscopie Mössbauer et les mesures de susceptibilité et d'aimantation sur monocristaux, a permis la mise en évidence de réorientations des moments magnétiques du fer. Ainsi, dans $SrTb_2Fe_2O_7$ et $SrNd_2Fe_2O_7$, les spins se réorientent vers l'axe \vec{c} à basse température. Dans $SrGd_2Fe_2O_7$ et $BaLa_2Fe_2O_7$, il s'agit d'une rotation des moments magnétiques dans le plan (001). Dans tous les cas, on est en présence d'une rotation continue, décrite par deux transitions du deuxième ordre, en accord avec la théorie de Landau.

Nous interprétons la rotation des moments magnétiques dans $BaLa_2Fe_2O_7$ et $SrGd_2Fe_2O_7$ comme une conséquence de la variation thermique de l'anisotropie du fer dans le plan (001).

Dans SrTb₂Fe₂O₇ et SrNd₂Fe₂O₇, les deux phénomènes - réorientation des moments magnétiques du fer et établissement d'un ordre sur le sous-réseau de la terre rare - sont liés. Nous avons démontré que la direction des moments magnétiques de la terre rare ne correspond pas à la direction de facile aimantation prévue par les calculs de champ cristallin. Les résultats du dépouillement des expériences en diffraction neutronique et spectroscopie Mössbauer à température variable permettront de préciser si, dans le domaine d'ordre de la terre rare, les moments magnétiques de celle-ci sont figés dans une direction ou bien s'il y a rotation des spins de la terre rare vers sa direction de facile aimantation.

Nous proposons une interprétation de la réorientation rencontrée dans ${\rm SrTb}_2{\rm Fe}_2{\rm O}_7$ et ${\rm SrNd}_2{\rm Fe}_2{\rm O}_7$ comme une conséquence du couplage fer-terre rare : l'augmentation de l'énergie d'anisotropie du fer est compensée par la diminution de l'énergie du couplage entre les deux sous-réseaux.

Nous avons pu établir, grâce à une confrontation des résultats obtenus par les différentes études, que l'ordre de la terre rare est induit par le couplage des deux sous-réseaux. Il serait intéressant, pour pouvoir estimer l'importance du couplage fer-terre rare, d'étudier les systèmes dilués ${\rm SrLn_2}^B{}_X{}^F{\rm e_{2-X}}{}^O{}_7$, où B est un ion non magnétique (ex. Al³⁺, Ga³⁺, ...) pouvant se substituer au fer sans distorsion importante de la structure et donc sans modification notable des effets de champ cristallin. On pourrait ainsi suivre éventuellement l'évolution de la

température d'ordre et de la direction des moments magnétiques de la terre rare, en fonction de la valeur de l'interaction d'échange. Le cas du gallate ou aluminate pur est, de ce point de vue, particulièrement intéressant.

Le travail que nous avons effectué peut être élargi dans plusieurs directions intéressantes pour la meilleure compréhension des phénomènes :

- Etude de l'établissement de l'ordre sur la terre rare et de la réorientation par mesures de chaleur spécifique.
- Etude par diffraction neutronique sous champ. Cette étude permettrait en particulier de préciser la direction de facile aimantation de la terre rare. Le métamagnétisme, prévisible dans le cas de SrTb₂Fe₂O₇, est en cours d'étude.
- Etude des propriétés magnétiques sur monocristaux. Cette étude permettrait de faire la part des différentes interactions et d'obtenir des renseignements quantitatifs.